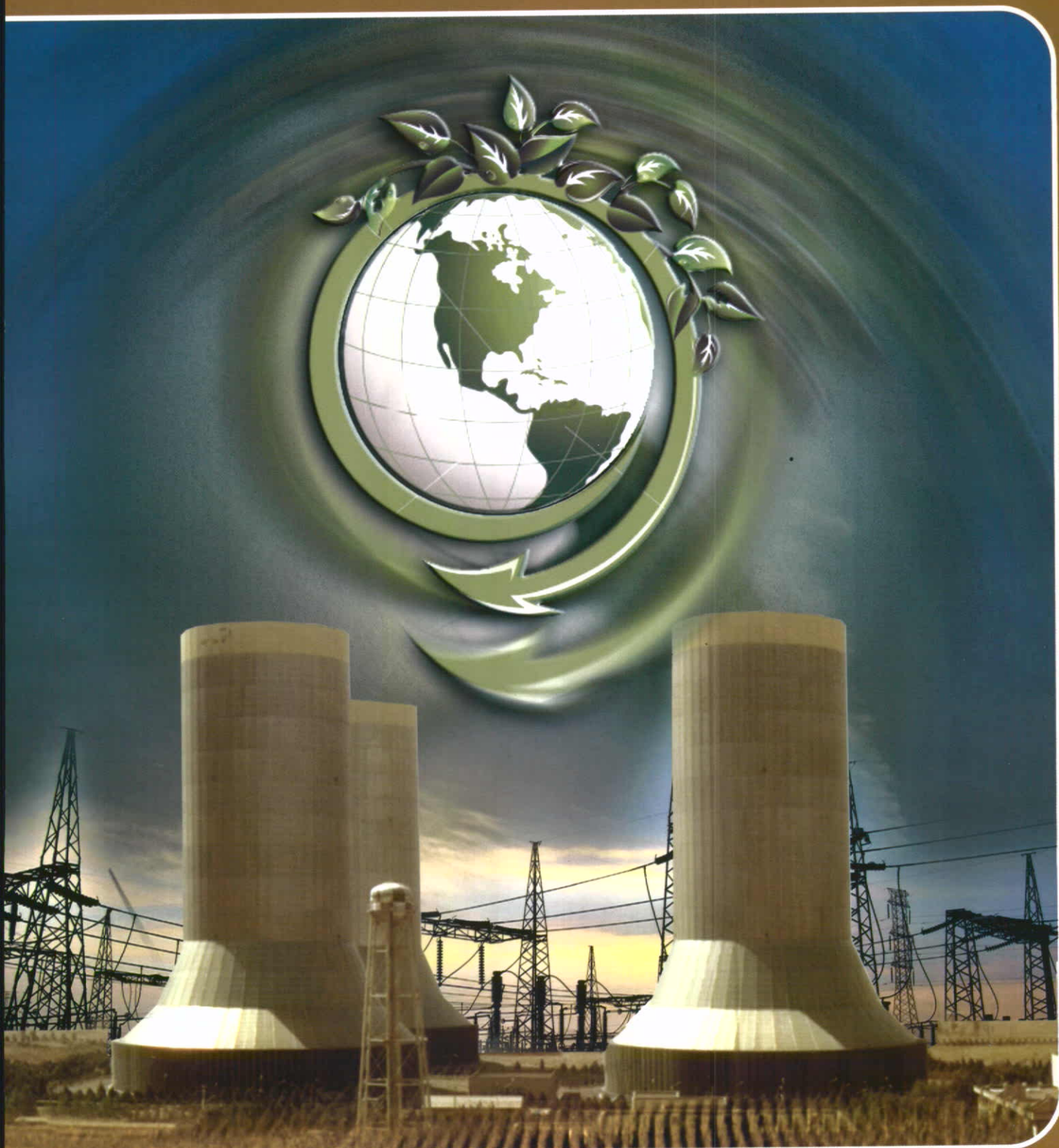


شرکت مهندسی

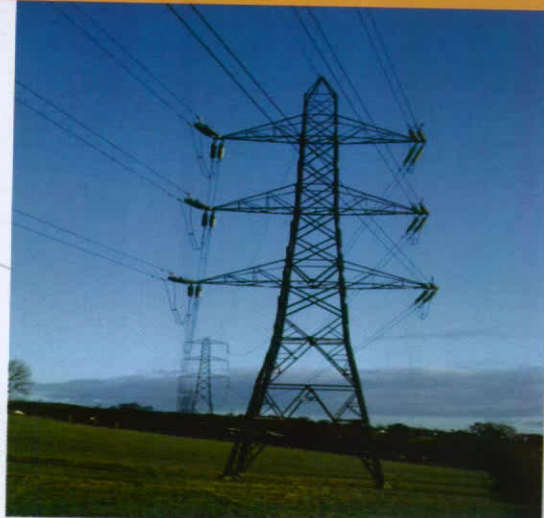
قدس نیرو

نشریه فنی تخصصی قدس نیرو  
شماره ۳۸۵ - پائیز ۱۳۹۰





## واحد مدیریت شبکه های انتقال و توزیع نیرو



امکانات گستردۀ نرم افزاری و سخت افزاری، کارکنان متخصص، بهره‌گیری از نرم افزارها و دانش فنی روزآمد و تجربیات گرانبهای سی و پنج ساله در طراحی، نظارت و اجرای بیش از بیست و پنج هزار کیلومتر خطوط انتقال و توزیع نیرو در شرکت مهندسی قدس نیرو پشتوانه وزینی برای طرح‌های صنعت برق کشور است.

واحد مدیریت شبکه های انتقال و توزیع نیرو در این شرکت در زمینه‌های زیر همکار امین و مورد اعتماد

شماست :

خدمات مشاوره شامل طراحی و نظارت بر اجرای خطوط انتقال نیرو در همه سطوح ولتاژ

خدمات مهندسی و تدارکات برای خطوط انتقال نیرو در همه سطوح ولتاژ

اجرای پروژه‌های خطوط انتقال نیرو در همه سطوح ولتاژ

خدمات مشاوره شامل طراحی و نظارت بر اجرای شبکه های توزیع شهری و روستایی

خدمات مهندسی و تدارکات برای شبکه های توزیع شهری و روستایی

اجرای طرحهای توزیع به صورت کلید در دست

برنامه ریزی و مطالعات سیستم های قدرت

مطالعات طرحهای جامع کوتاه، میان و بلندمدت شبکه‌های برق

مطالعات بهینه سازی شبکه های قدرت و طراحی روشهای بهبود

مطالعات ریسک سیستم های قدرت و طراحی روشهای بهبود

مطالعات شبکه های توزیع صنعتی و طراحی اقدامات اصلاحی موردنیاز

طراحی و توسعه نرم افزارهای مهندسی

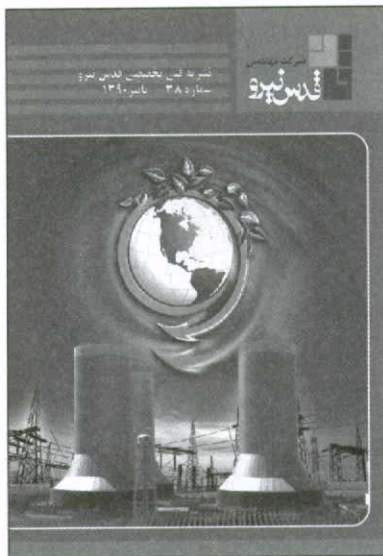
طراحی و ساخت تجهیزات موردنیاز برای مکانیزاسیون شبکه های توزیع

خدمات کامل مهندسی نقشه برداری با ارائه راه حل های جامع و کاربردی با بهره برداری از مدرن ترین

سخت افزارها و نرم افزارهای مهندسی



## بسمه تعالی



نشریه فنی تخصصی قدس نیرو

شماره ۳۸ - پاییز ۱۳۹۰

مدیر مسئول: دکتر محمود مقدم

سردبیر: مهندس فتانه دوستدار

با تشکر از همکاری آقایان:

- مهندس احمد اهرابی
- مهندس حسین بختیاریزاده
- مهندس احمد فریدون درافشان
- مهندس میر داود حسینی میلانی
- دکتر همایون صحیحی
- مهندس منصور قزوینی

از مدیر و همکاران محترم امور پشتیبانی سپاسگزاریم.

### فهرست مطالب

- |    |  |
|----|--|
| ۱  | • معرفی  |
| ۲  | • کنترل غیر خطی - فرید خزانی مقدم  |
| ۱۴ | • هارمونیک در سیستم های الکتریکی - کاوس قصبه                                 |
| ۲۶ | • طراحی عایق بندی خط انتقال HVDC سمنان - دامغان - علیرضا رئیسی، کامران رضایی |
| ۴۰ | • برقگیر بوشینگی - منیره موحدیان   |
| ۴۶ | • عوامل موثر در تبدیل شرکتهای مهندسین مشاور به شرکت های EPC - سعید رحمانی جو |

### هیئت داوران:

مهندس پورنگ پاینده، مهندس مسعود حبیب‌زاده،  
مهندس فتانه دوستدار، مهندس رضا رضوی،  
مهندس داریوش چگنی، مهندس داودزاور،  
مهندس فرهادشاه منصوریان، دکتر جعفر عسگری،  
مهندس آرمین علیدوستی، مهندس امیرهمایون فتحی،  
مهندس بهرام کرمانی، مهندس علیاصغر کسائیان،  
مهندس محسن کمالی‌زاده، مهندس بهزاد مرادی،  
مهند وحید مرتضوی، مهندس مهرداد مستقیمی،  
مهندس الهام ملکی، مهندس محمد رضانصرالهی،  
مهند رسول نحوی‌زاده،  
مهند بیرون زاده.

این نشریه از طریق اینترنت قدس نیرو در دسترس همکاران می‌باشد. ارتباط مستقیم با مقاله‌دهندگان از طریق Email یا فاکس آنان در انتهای هر مقاله و همچنین ارائه نظرات، پیشنهادات و سوالات احتمالی خوانندگان گرامی از طریق اینترنت قدس نیرو و یا شماره تلفن نشریه ۸۸۴۴۲۴۸۲ امکان‌پذیر می‌باشد.

# کنترل غیر خطی STATCOM مبتنی بر اینورتر پل-H در حضور فیلتر

## فرید خزائلی مقدم

### کارشناس ارشد سیستم های قدرت - SBU شبکه

واژگان کلیدی : استتکام، مدل واقعی شبکه قدرت، کنترل کننده غیرخطی، حذف مولفه های هارمونیکی، طراحی فیلتر

#### چکیده

حرکت انقلابی در راستای به کارگیری جبران سازهای موازی در صنایع به جبران ساز سکترون ایستاد (استتکام)<sup>۱</sup> منتهی می شود. این جبران ساز در مواردی که نیاز به دینامیک بالا و قابلیت کنترلی کامل روی سطح ولتاژ و جریان است به صورت گستردگی در صنعت مورد استفاده قرار می گیرد؛ لیکن برای کاهش محتوای هارمونیکی در خروجی مجموعه و جلوگیری از کاهش کیفیت توان تزیریکی به شبکه، نیاز به استفاده از فیلتر به عنوان یکی از مرسوم ترین روش های کاهش مولفه های هارمونیکی ناخواسته احساس می شود. از طرفی همان طور که می دانیم در صورت استفاده از فیلتر به جهت اثر بارگذاری که شاخه فیلتر دارد معادلات سیستم تغییر یافته و نیازمند طراحی مجدد کنترل برای مجموعه STATCOM هستیم. در کلیه کارهای تحقیقاتی که پیرامون این مبحث، صورت گرفته اند مدلی سیگنالی از شبکه قدرت و استتکام ارائه گشته است. با کارگیری چنین مدلی، امکان در نظر گرفتن و پیاده سازی فیلتر بسیار پیچیده و دشوار است. حضور فیلتر در شبکه هایی که شامل ادوات FACTS<sup>۲</sup> و الکترونیک قدرت هستند امری ضروری در جهت کاهش و حذف مولفه های هارمونیکی ناخواسته است. از طرف دیگر نیاز به پیاده سازی مدل واقعی یک شبکه قدرت همراه با استتکام همواره احساس می شود. چنین مدلی، ما را توانمند به بررسی کلیه مسائلی که در شبکه قدرت مطرح است می کند. این بررسی ها عبارت اند از: آنالیز خط، آنالیز پایداری و حوادث احتمالی که در تعامل مجموعه استتکام با شبکه امکان رخداد آنها وجود دارد. از دیگر امکاناتی که با بهره گیری از این مدل حاصل می شود می توان به فراهم شدن قابلیت بررسی تغییراتی که از افزوده شدن و یا حذف یک سخت افزار جدید در شبکه قدرت حاصل می شود اشاره نمود. این مقاله، ضمن ارائه مدلی جامع و واقعی از استتکام، کنترل کننده غیرخطی آن و سیستم قدرت، امکان کاهش مولفه های هارمونیکی را از طریق طراحی فیلتر قدرت مناسب، ممکن می سازد و این در حالیست که دیگر نیازی به حل معادلات پیچیده ای که در مدل های پیشین (مدل سیگنالی) با آنها رو برو بودیم نخواهیم داشت.

نشریه فنی تخصصی قدس  
شماره ۸۳ - پاییز ۹۶  
پیزو

#### ۱- مقدمه

بهبود ضربت توان ، حفظ سطح و پایداری ولتاژ و سایر مواردی که در ادامه عنوان خواهد شد را ارائه می دهد . کاربرد بی نظیر استتکام در جبران توان راکتیو توأم با پاسخ دینامیکی سریع ، آن را به یک تجهیز منحصر به فرد جهت استفاده در شبکه های قدرت تبدیل نموده است . مزایای دیگری که استتکام نسبت به دیگر تجهیزات مرسوم FACTS ارائه می دهد سرعت پاسخ، جبران فلیکر، انعطاف پذیری بیشتر در جبران و کمترین میزان فعل و انفعال با منبع تغذیه است.

امروزه استفاده از ادوات FACTS در راستای تحقق مسائل مطروحه در کیفیت توان با اهداف کنترل پروفیل ولتاژ و تامین توان راکتیو بار بسیار متداول شده است . دینامیک سریع و کنترل پیوسته ای که روی سطح ولتاژ حاکم است و سایر محاسنی که در ادامه مطرح می شود این وسایل را به تجهیزاتی منحصر به فرد در سیستم قدرت تبدیل کرده است . نمونه ای از ادوات FACTS که امروزه به وفور مورد استفاده قرار می گیرد و به طور گسترده در تحقیقات علمی که پیرامون ادوات FACTS صورت می گیرد عنوان می شود STATCOM (استتکام) است . این تجهیز مزایای بی نظیری از قبیل بهبود مسائل مطرحه در حیطه کیفیت توان از جمله

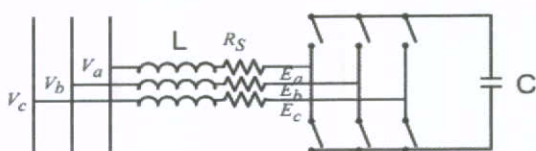
1-STATic COM pensator (STATCOM)

2-Flexible AC Transmission System

استفاده از فیلتر است . اما مسئله مهمی که مطرح است این است که در استفاده از فیلتر به موجب اثر بارگذاری و جریانی که شاخه فیلتر می‌کشد معادلات حاکم بر سیستم تغییر می‌کند و طراحی یک سیستم کنترلی جدید مناسب با معادلات تازه سیستم پیش روی (سیستم پیشین همراه با حضور فیلتر) را می‌طلبد. چنین امری استفاده از فیلتر و طراحی کنترلر را در شرایط جدید پیچیده می‌کند زیرا که کنترلر پیشین پاسخگوی سیستم فعلی نبوده و از طرف دیگر با توجه به ترمهای اضافه شده به معادلات ، اعمال تبدیل  $d,q$  جهت طراحی کنترلر مناسب با سیستم کنونی، به سادگی روال پیشین نیست. در این مقاله برای حل مشکل مطرح شده، یک سیستم مدل‌سازی جدید ارائه می‌شود. که استفاده از فیلتر در خروجی استنکام را بدون هیچ نیازی به تغییر در ساختار سیستم کنترلی که قبل از استفاده از فیلتر مورد استفاده بود ممکن می‌سازد.مزیت دیگری که با استفاده از این نوع مدل‌سازی سیستم به دست می‌آید شبیه‌سازی یک مدل واقعی از شبکه قدرت است؛ لذا امکان بررسی کلیه واقعیت که در یک شبکه واقعی امکان رخداد آنها وجود دارد بدین وسیله محقق خواهد شد.در بخش اول قانون کنترل غیرخطی بر اساس کنترل غیرمستقیم  $Vdc$  را ارائه می‌دهیم. در بخش دوم در مورد فیلترها و معیارهای کاهش و حذف هارمونیک‌ها صحبت خواهیم کرد، در ادامه سیستم مدل‌سازی نوینمان را به همراه کاربرد فیلتر خواهیم آورد؛ سپس در قسمت پایانی نتایج شبیه‌سازی و نتیجه‌گیری را پیش رویمان خواهیم داشت.

## ٢- قانون کنترل غیرخطی STATCOM

رفتار کلی استنکام در اتصال به شبکه قدرت در شکل ۱ نشان داده شده است.



### شکل (۱): رفتار کلی استتکام

مدل شبکه همراه با جزئیات بیشتر در ادامه مطرح خواهد شد.  
در این مدل خطوط انتقال و تجهیزات کلیدزنی که اینترنت را

مسائل اصلی پیش روی ما در استفاده از این تجهیز، نوسانات ولتاژ dc منبع (خازن ها) و نیز غیرخطی بودن معادلات حاکم بر این سیستم است. مسئله مهم دیگر که کاربرد این تجهیزات را تحت الشاع قرار می دهد تزریق هارمونیک ها به شبکه است که کیفیت شبکه را تحت تأثیر قرار می دهد. جهت تحقق اهداف پیش رو، نیاز به طراحی یک سیستم کنترلی مناسب احساس می شود. در جهت تحقق این امر، مقالات متعددی کنترل کننده خطی را پیشنهاد داده اند و عده ای دیگر استفاده از کنترل کننده غیرخطی را مطرح کرده اند. قانون کنترل غیرخطی در واقع نوعی خطی سازی با استفاده از فیدبک است. از آنجاییکه معادلات حاکم بر سیستم، غیرخطی هستند استفاده از کنترل کننده غیرخطی مفیدتر به نظر می رسد. کنترل کننده غیرخطی به خودی خود به دو نوع تقسیم می شود؛ که در نوع اول تنها پارامتر MIMO و SISO خروجی iq است لذا در این نوع کنترل ولتاژ dc خازن ها کنترل نمی شود که این امر منجر به اعوجاج در خروجی های سیستم می شود اما در نوع دیگر (MIMO) پارامتر دیگری نیز وجود دارد که کنترل می شود که این پارامتر ID یا VDC می باشد. اگر id انتخاب گردد با متدهای کنترل غیرمستقیم روبرو هستیم اما اگر پارامتر کنترلی دیگر Vdc باشد با روش کنترل مستقیم Vdc روبرو هستیم. در روش کنترل مستقیم، ولتاژ خازن ها با حداقل نوسان نسبت به ولتاژ dc کنترل می شود؛ همچنین کنترلر PI که در روش کنترل غیرمستقیم مورد استفاده قرار می گیرد حذف می شود. در مقابل این مزایای حاصله، مشکلی را نیز دریی دارد و آن کاهش بازه تغییرات  $\delta$  به علت افزایش نسبی مقدار آن نسبت به روش غیرمستقیم می باشد. بنابراین دستیابی به بالاترین سطح نسبی از مزیت ها نیازمند اعمال روش های کنترل بهینه می باشد. در این مقاله سیستم کنترلی ارائه شده، کنترل چندورودی چند خروجی (MIMO)، براساس کنترل غیرمستقیم ولتاژ خازن (Vdc) می باشد. همان طور که قبل از FACTS گفته شد مسئله مهمی که در به کارگیری ادوات باید بدان توجه کرد تزریق هارمونیک ها توسط این ادوات به شبکه می باشد. به طور کلی در هر وسیله ای که از تجهیزات الکترونیک قدرت در ساخت آن استفاده می شود حضور مؤلفه های هارمونیکی امری طبیعی است.

در برخورد با این مسئله مهم اولین راهی که به ذهن می‌رسد

معادلات حالت سیستم مفروض با به کاربردن رابطه (۱) به صورت رابطه (۳) نوشته می شوند :

$$\dot{x} = \begin{bmatrix} -\frac{Rs}{L} \cdot x_1 + \omega \cdot x_2 + \frac{Vs}{L} \\ -\omega \cdot x_1 - \frac{Rs}{L} \cdot x_2 \\ 0 \end{bmatrix} + \begin{bmatrix} -\frac{x_3}{L} \\ 0 \\ \frac{3x_1}{2C} \end{bmatrix} u_1 + \begin{bmatrix} 0 \\ -\frac{x_3}{L} \\ \frac{3x_2}{2C} \end{bmatrix} u_2 \quad (3)$$

بردار حالت  $X$  بصورت رابطه (۴) است :

$$X = \begin{bmatrix} x_1 \\ x_2 \\ x_3 \end{bmatrix} = \begin{bmatrix} id \\ iq \\ vdc \end{bmatrix} \quad (4)$$

و  $u_1, u_2$  که پارامترهای کنترلی ورودی هستند به صورت مطرح شده در رابطه ۵ تعریف می شوند :

$$U = \begin{bmatrix} u_1 \\ u_2 \end{bmatrix} = \begin{bmatrix} m \cos(\delta) \\ m \sin(\delta) \end{bmatrix} \quad (5)$$

و با ساده سازی  $v_1, v_2$  تعریف پارامترهای ورودی جدید می توانند به  $u_1, u_2$  معادلاتی که در بخش قبل مطرح شد، صورت ارائه شده در رابطه (۶) نوشته شوند :

$$\begin{aligned} U = & \begin{bmatrix} u_1 \\ u_2 \end{bmatrix} = \\ & \begin{bmatrix} -\frac{L}{x_3} & 0 \\ 0 & -\frac{L}{x_3} \end{bmatrix} \left( \begin{bmatrix} -\frac{Rs}{L} \cdot x_1 + \omega \cdot x_2 + \frac{Vs}{L} \\ -\omega \cdot x_1 - \frac{Rs}{L} \cdot x_2 \end{bmatrix} + \right. \\ & \left. \begin{bmatrix} v_1 \\ v_2 \end{bmatrix} \right) = \begin{bmatrix} -\frac{L}{x_3} \left( \frac{Rs}{L} \cdot x_1 - \omega \cdot x_2 - \frac{Vs}{L} + v_1 \right) \\ -\frac{L}{x_3} \left( \omega \cdot x_1 + \frac{Rs}{L} \cdot x_2 + v_2 \right) \end{bmatrix} \end{aligned} \quad (6)$$

$v_1, v_2$  در واقع خطاهای سیستم کنترلی نیز هستند که با الگوریتم خطی سازی با فیدبک مقدار آنها به صفر میل می کند. طراحی سیستم کنترلی به صورت زیر انجام می شود برای شبیه سازی سیستم در گام اول ورودی های سیستم یعنی  $v_1, v_2$  تعیین می شوند. با بررسی و مقایسه معادلات (۳) و (۶) به روابط (۷) و (۸) می رسیم :

مدل می کنند نشان داده شده اند. خازن منبع تغذیه DC را مدل می کند، اندوکتانس L شار نشی ترانس را مدل می کند و مقاومت  $Rs$  نیز مقاومت مسی سیم پیچ ترانس و تلفات کلیدزنی تجهیزات کلیدزنی را مدل می کند. چنانچه گفته شد در این قسمت به بررسی کنترل غیرخطی استنکام برپایه کنترل غیرخطی  $Vdc$  می پردازیم. در این نوع مدل کنترلی ورودی های سیستم کنترلی M و  $\delta$  هستند که به صورت زیر تعریف می شوند :

M : شاخص مدولاسیون

$\delta$  : زاویه میان ولتاژ خروجی اینورتر و ولتاژ خط انتقال

در مقایسه با مدل SISO یک ورودی کنترلی جدید است که در معادلات کنترلی سیستم ظاهر می شود که نتیجه چنین عملی کنترل ولتاژ بخش DC با کمترین نوسان ولتاژ و دستیابی به پاسخ دینامیکی مطلوب است. خروجی جدید سیستم کنترلی در مقابل این ورودی جدید id است که به واسطه کنترل آن  $Vdc$  نیز کنترل می شود از این روی به این متد کنترلی کنترل غیرمستقیم  $Vdc$  گفته می شود. معادلات حاکم بر سیستم در این قسمت ارائه می شوند. به خاطر پیشگیری از پیچیدگی در طراحی کنترلر با کنترلری بعدی، تبدیل  $d, q$  را بکار می بردیم. بنابراین معادلات ۳ از نوشته شده تغییر کرده و برپایه تبدیل  $d, q$  ساده می شوند.

فرم کلی معادلات حالت به صورت رابطه (۱) می باشد :

$$\dot{x} = f(x) + \sum_{i=1}^m g_i(x) \cdot u_i \quad (1)$$

با نوشتن معادلات KVL و بکارگیری تبدیل  $d, q$  معادلات ارائه شده در رابطه (۲) حاصل می شوند :

$$\frac{d}{dt} \begin{bmatrix} id \\ iq \end{bmatrix} = \begin{bmatrix} -\frac{Rs}{L} & \omega \\ -\omega & \frac{-Rs}{L} \end{bmatrix} \begin{bmatrix} id \\ iq \end{bmatrix} + \frac{1}{L} [Vd - Ed] \quad (2)$$

$id, iq, vd, vq$  با اعمال تبدیل  $d, q$  به ولتاژها و جریان های a فاز حاصل می شوند. ما ولتاژ  $vd$  را منطبق بر فاز a درنظر می گیریم لذا  $vq = 0$  مقدار صفر (vq=0) می گیرد و ولتاژ  $vd$  در سیستم ولتاژ فاز a درنظر گرفته می شود.

حال روش کنترلی پیشنهادی را ارائه می دهیم :



$$V2 = \lambda 2(iq^* - iq) \quad (12)$$

در ادامه به کمک رابطه (۶)  $u1, u2$  محاسبه شده و در نهایت  $\delta, M$  از طریق رابطه (۵) و به کمک جایگزینی مقادیر فوق حاصل می‌آیند. موج سینوسی مرجع مناسب جهت اعمال به سوئیچه‌های قرار گرفته در ساختار اینورتر در مجموعه استتکام با  $\delta, M$  بدست آمده از سیستم کنترلی (مطلوب بخش قبلی) ایجاد شده و بنابراین سیستم کنترلی مطلوبیمان که هم توان راکتیو بار را دنبال می‌کند و هم نوسانات ولتاژ خازن‌ها را حداقل می‌کند مهیا می‌شود.

### ۳- فیلترها و روش‌های کاهش هارمونیک‌ها در شبکه قدرت

اینورتری که در ساختمان استتکام مورد استفاده قرار گرفته است یک اینورتر پل سه سطحی است که از تکنیک سوئیچینگ SPWM<sup>۱</sup> در آن استفاده شده است. در بخش قبلی، نحوه ساخت سیگنال سینوسی مرجع مناسب جهت آتش کردن مناسب گیت سوئیچ‌ها مورد بررسی قراردادید (این در واقع همان مفهوم کنترل پذیری در استتکام است). تشکیل سیگنال سینوسی مناسب با ایجاد مقادیر مناسب  $M$   $\delta$ ، توسط سیستم کنترلی امکان پذیر گشت. در واقع مقداری از  $M$  که از خروجی سیستم کنترلی حاصل می‌شود دامنه سیگنال سینوسی را تعیین می‌کند و زاویه  $\delta$  حاصل آمده نیز میزان تاخیر فازی این سیگنال را مشخص می‌کند. همانطور که می‌دانیم خروجی اینورتر مورد استفاده (و به طور کلی همه اینورترها)، مربعی است بنابراین حضور هارمونیک‌ها در شبکه امری طبیعی غیر قابل چشم پوشی است. در قسمت بعد بر روی فاکتورهای بررسی و ارزیابی هارمونیک‌ها در شبکه تمرکز می‌کنیم. همچنین شیوه‌های کاهش و حذف هارمونیک‌ها در شبکه‌های قدرت به تشریح ذکر خواهد شد.

#### ۱-۳- فاکتور THD

یکی از کاربردی‌ترین فاکتورهای در بررسی و تعیین محتوای هارمونیکی شبکه THD است. این فاکتور به کمک رابطه (۱۳) تعریف می‌شود:

$$v1 = id \quad (7)$$

$$v2 = iq \quad (8)$$

از عرفی  $id$ ،  $iq$  با توابع حلقه بسته ارائه شده در روابط (۹) و (۱۰) تعریف می‌شوند:

$$\frac{id}{id^*} = \frac{1}{1 + \frac{s}{\lambda 1}} \quad (9)$$

$$\frac{iq}{iq^*} = \frac{1}{1 + \frac{s}{\lambda 2}} \quad (10)$$

مقادیر رفرنس  $id^*$ ،  $iq^*$  هستند.

**۱۱، ۱۲** تعیین کننده سرعت پاسخ کنترل طراحی شده به میرابی نوسانات ولتاژ منبع DC و دنبال کردن میزان توان راکتیو مورد نیاز بار است.

در مدل ما  $iq$  جریان خروجی مجموعه استتکام است (مؤلفه  $q$  جریان خروجی استتکام بعد از اعمال تبدیل  $d, q$ ).

$iq^*$  جریان بار مشخصی از شبکه است که می‌خواهیم توان راکتیو مورد نیاز آن را از طریق مجموعه استتکام تأمین کنیم.

$id$  نیز مؤلفه  $d$  جریان خروجی مجموعه استتکام قبل از اتصال آن به شبکه است.

$id$  که مقدار رفرنس جریان  $id$  است از طریق قرار دادن یک کنترلر PI بر روی اختلاف مقادیر  $vdc^*$ ،  $vdc$  حاصل می‌شود.

مقدار واقعی  $vdc$  مقدار ولتاژ اندازه گیری شده خازن‌ها مجموعه استتکام است.

$Vdc^*$  مقدار رفرنس  $vdc$  است که مقدار آن توسط خودمان و با توجه به مقادیر ولتاژ فاز و فاکتور  $M$  و با توجه به شکل ساختمانی اینورتر (پل و نیم-پل) تعیین می‌شود.

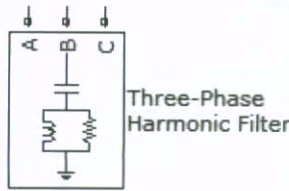
در طراحی، روال زیر را دنبال می‌کنیم:

در ابتدا  $v2$  را از معادلات زیر که نتیجه معادلات (۹) و (۱۰) هستند به دست می‌آوریم. نتایج در روابط (۱۱) و (۱۲) آورده شده‌اند.

$$V1 = \lambda 1(id^* - id) \quad (11)$$

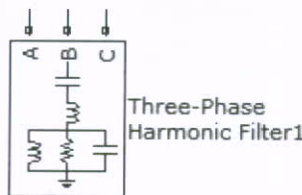


استفاده می کنیم. این گونه فیلترها با ایجاد مسیرهای مقاومتی به ازای فرکانس تنظیمی خاص، مسیری جت هدایت مؤلفه های هارمونیکی به زمین ایجاد می کنند و موجب کاهش مؤلفه های هارمونیکی و بهبود کیفیت شبکه می شوند. در طراحی فیلتر بالاگذر تعیین مقادیر خاص  $R, L, C$  که به ازای آن مسیر کم مقاومت زمین در برابر بازه فرکانسی مورد نظر ایجاد می شود مورد نظر است (همان طور که می دانیم در اینجا حذف مؤلفه های فرکانسی بالاتر از مؤلفه اصلی ( $f=50\text{Hz}$ ) مورد نظر است). بلوک MATLAB چنین فیلتری (بالاگذر موازی) به صورت آمده در شکل ۲ است:



شکل (۲): فیلتر بالاگذر موازی ۳ فاز در نرم افزار مطلب

پارامترهای تنظیمی این فیلتر عبارتند از:  $Q_n, V_n, f_n, f_c, Q$ , فیلترهای میان گذر در دو نوع تک تنظیمه و دو تنظیمه تقسیم بندی می شوند. بلوک MATLAB فیلتر میان گذر دو تنظیمه در شکل ۳ آمده است.



شکل (۳): فیلتر میان گذر موازی ۲ تنظیمه در نرم افزار مطلب

این نوع فیلتر برای کاهش مؤلفه های هارمونیکی خاص استفاده می شود (احتمالاً یک مؤلفه هارمونیکی مرتبه پایین (۵و۷و۱۱و۱۳و۱۷و۲۰...)، پارامترهای طراحی چنین فیلتری عبارت اند از:  $Q_n, V_n, f_n, F_{r1}, F_{r2}, Q$ . پارامترهای این دو نوع فیلتر به صورت زیر تعریف می شوند:

$Q_n$ : توان راکتیو نامی

$V_n$ : ولتاژ نامی

$F_n$ : فرکانس نامی

$$\text{THD}_{ph} = \frac{\sqrt{\sum_{n=2}^{\infty} V_n^2}}{V_1} \quad (13)$$

در رابطه فوق  $V_n$  دامنه مؤلفه هارمونیکی  $n$  است.

در رابطه THD برای ولتاژ خط در حالتی که میان فازها اتصال کامل برقرار است (اتصال مثلث و یا ستاره زمین شده) هارمونیک سوم برابر صفر است. از طرفی با توجه به تقارن شکل موج، هارمونیک های مرتبه زوج نیز صفر خواهد بود؛ لذا رابطه THD برای ولتاژ خط به صورت رابطه (۱۴) خواهد شد:

$$\text{THD}_L = \frac{\sqrt{\sum_{n=5,7,11,\dots}^{\infty} V_n^2}}{V_1} \quad (14)$$

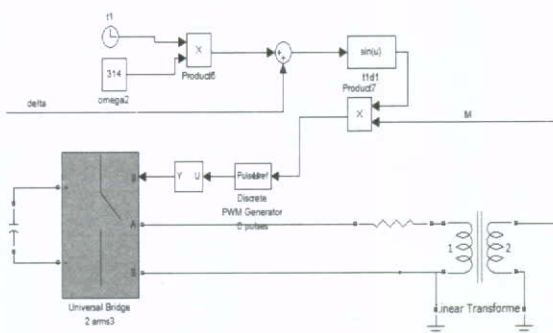
فاکتور دیگری که در سنجش مؤلفه های هارمونیکی استفاده می شود مقدار مؤلفه های هارمونیکی مرتبه پایین است. هارمونیک های مرتبه پایین مؤلفه های هارمونیکی غیر از مؤلفه مرتبه اول (مؤلفه اصلی) هستند که مقدارشان در مقایسه با مؤلفه اول قبل توجه است. فاکتوری که در این مقاله به عنوان معیار کاهش هارمونیک مورد استفاده قرار می گیرد THD است.

### ۲-۳- روش های کاهش هارمونیکی

ترزیق هارمونیک ها به شبکه مشکلات زیادی را در شبکه قدرت ایجاد می کنند. به عنوان نمونه می توان به مشکلاتی از قبیل کاهش کیفیت توان و مسائل پیرو آن، عملکرد اشتباہ در تجهیزات حفاظتی و خطای تجهیزات اندازه گیری، اثر نامطلوب مؤلفه های هارمونیکی فرکانس بالا بر وسایل و سیگنال های مخابراتی و تجهیزات کنترلی اشاره کرد. بنابراین یافتن راه حلی برای غلبه بر این مشکل ضروری است. روش های متنوعی برای کاهش هارمونی ها در شبکه مورد استفاده قرار می گیرند که از این جمله می توان به استفاده از فیلتر، ترانس های شیفت فاز، استفاده از اینورترهای چندسطحی در ساختمان استنکام، استفاده از تکنیک های سوئیچ زنی PWM و ... اشاره کرد. روشی که در این مقاله مورد استفاده قرار می گیرد استفاده از فیلتر است. لذا قسمت بعد به طراحی فیلتر اختصاص پیدا می کند. یک روش رایج جهت کاهش هارمونیک های ایجاد شده توسط مبدل های الکترونیک قدرت استفاده از فیلترهای قدرت موازی (Shunt) است. در این جهت از فیلترهای بالاگذر و میان گذر موازی



پیشین پاسخ گوی سیستم جدید(سیستم قبلی در حضور فیلتر) خواهد بود. همان طور که می دانیم در مدل های ارائه شده قبلی با ورود فیلتر، نیازمند به کارگیری تبدیل  $d$ , $q$  برای معادلات کنترلی جدید هستیم که این امر دشوار و زمان گیر است و این مسئله به خاطر واقعی نبودن نمونه ها در مدل های سیگنالی است. بنابراین مدل پیشنهادی، ما را توانمند به در نظر گرفتن فیلتر در طراحی شبکه بدون هیچ گونه پیچیدگی و نیازی به تغییر در ساختار اصلی کنترلر است. مدل پیاده شده برای استتکام در یکی از فازها در شکل (۵) آمده است.



شکل(۵): مدل استتکام در هر یک از فازها

که  $M$  &  $\delta$  از خروجی های سیستم کنترلی به دست آمده اند و با توجه به شرایط حاکم بر معادلات به گونه ای اختیار شده اند که سیگنال سینوسی مرجع مناسب، جهت اعمال به سویچ های پل های اینورتری را ایجاد کند و با این کار خروجی مطلوب و مورد نظر از مجموعه اینورتر و استتکام دریافت می شود و هدفی که از طراحی و استفاده از مجموعه استتکام پیش رو یود محقق می شود. همان گونه که دیده می شود برای مدل سازی تمامی تجهیزات از مدل واقعی آنها استفاده شده است بنابراین نتایج شبیه سازی می توانند با اطمینان زیاد برای کارهای ساخت، مورد استفاده قرار گیرند. مدل شبکه قدرت به همراه لینک های اتصال مجموعه استتکام در شکل (۶) نشان داده شده است. این شبکه قدرت شامل یک زنراتور، ترانسفورماتورها، خطوط انتقال و نیز یک بار مشخص (که هدف ما جبران توان راکتیو آن از طریق مجموعه استتکام طراحی شده می باشد) است.

Fr1, Fr2 : فرکانس های تنظیم ، فرکانس های خاصی که می خواهیم تا حد ممکن کاهش یابند.

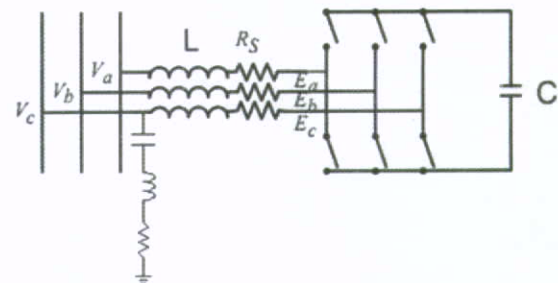
$Q$  : شاخص کیفیت  $(R/\omega_0)$  که برای یک فیلتر تک تنظیمه تعریف می شود.

$F_C$  : فرکانس تنظیم (فرکانس قطع فیلتر بالاگذر)

#### ۴- سیستم مدل سازی ارائه شده و نتایج شبیه سازی

##### ۱-۴- مدل شبیه سازی شده

در این قسمت مدل شبیه سازی ما ارائه می شود . در این مدل شبکه واقعی قدرت با تمام عناصر و تجهیزات واقعی آن پیاده می شود و برخلاف مدل های سیگنالی پیشین نمونه ها و مقادیر رفرنس مورد نیاز برای ساختار کنترلر از خود شبکه استخراج می شوند . به عنوان نمونه  $i_q^*$  (مقدار رفرنس  $i_q$ ) و سایر پارامترهای به کار رفته در سیستم کنترلی مقادیر مورد نیازشان را از مقادیر واقعی در وضعیت لحظه ای شبکه در یافته می کند .



شکل(۶):: استفاده از فیلتر در خروجی مجموعه استتکام

شکل(۶) استفاده از فیلتر در یک شبکه قدرت که استتکام در آن نصب شده است را به نمایش می گذارد. همان گونه که در این شکل مشخص است در استفاده از فیلتر معادلات KVL (۲) تغییر نمی کنند و تنها تغییری که نسبت به قبل داریم این است که این معادلات به ازای جریان جدید  $I'$  برقرار می باشند. بنابراین جریانات معادلات کنترلی جدید  $'id'$ ,  $'iq'$  هستند. اما از آنجایی که در مدل ارائه شده پارامترهای مورد نیاز کنترلر از خود شبکه گرفته می شوند لذا کافی است که نمونه های جریانی از این جریان جدید گرفته شوند. با این کار از آنجایی که معادلات کنترلی ثابت مانده اند همان کنترلر



$K_i = -7$

$\lambda_1 = 2200$

$\lambda_2 = 2200$

$T_{1ph} : 580v / 220v$

$V_{0c} = 1020v$

ولتاژ اولیه خازن در  $t = 0$  می باشد . پارامترهای مدل

شبکه قدرت :

$G : V_n = 22000v$

$T_1 : 25000v / 70000v$

$\Pi_1 : 2 \text{ pi section}, 160\text{km} , R , L , C \text{ are specified .}$

$T_2 : 70000v / 23000v$

$\Pi_2 : 1 \text{ pi section}, 20\text{km}$

$T_3 : 23000v / 420v$

Load : Three phase parallel RLC load  
 $, V_n = 380v , P = 200kw , Q = 150kvar$

و پارامترهای فیلتر عبارتند از :

Band pass filter :

$Q_n = 12000\text{var}$

$V_n = 380v$

$F = 50\text{Hz}$

$F_{r1} = 5 * 50$

$F_{r2} = 7 * 50$

$Q = 30$

با داشتن پارامترهای فوق مقادیر  $R, L, C$  فیلتر برای هر فاز به آسانی قابل محاسبه است:

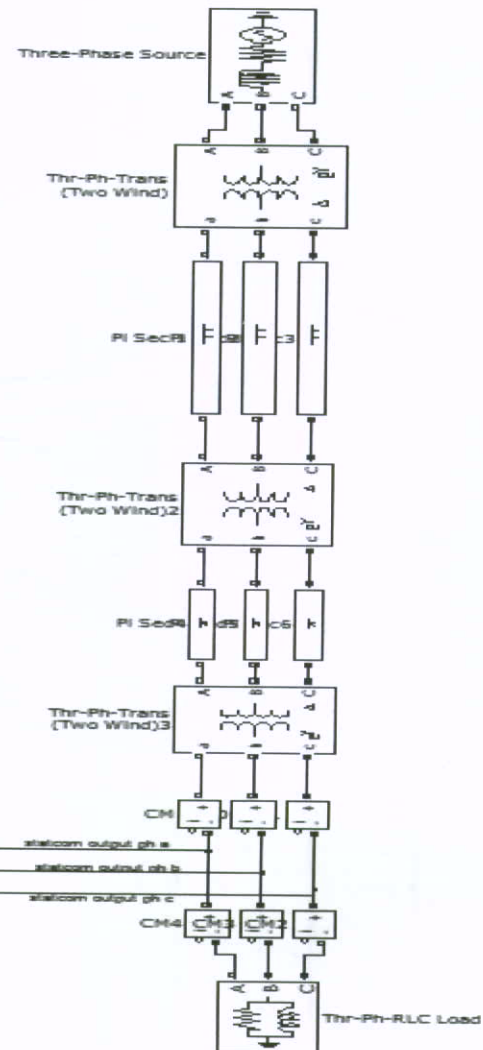
High pass filter:

$Q_n = 12000\text{var}$

$V_n = 380v$

$F = 50\text{Hz}$

$F_c = 400\text{Hz}$



شکل (۶): مدل شبکه قدرت

#### ۴-۲- نتایج شبیه سازی

یک سیستم با پارامترهای زیرین برای شبکه قدرت ، استنکام و فیلتر درنظر گرفته شده است .

پارامترهای مدل استنکام :

$C = 4500 \mu F$

$F = 50 \text{ Hz}$

$R_s = 0.5 \text{ ohm}$

$L = 0.001 \text{ H}$

$V_{dc}^* = 1020 v$

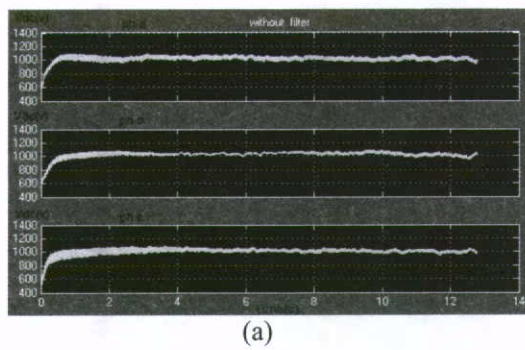
$K_p = -0.05$



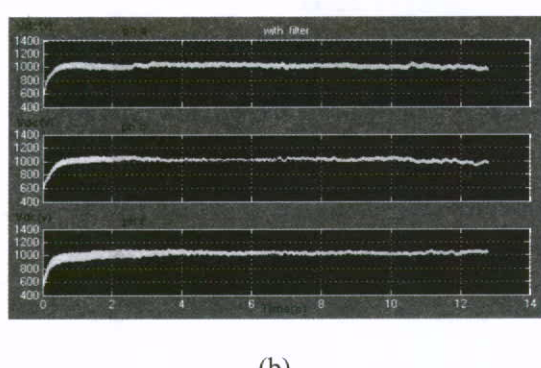
دنبال می کند . این امر عملکرد مناسب سیستم کنترلی را نشان می دهد . همان طور که می بینیم میان  $iq$  و  $iq^*$  اختلافی وجود دارد و این دلیل است که ما شبکه قدرت واقعی را با مدل دقیق و واقعی تمام اجزایش پیاده کرده ایم و اقتضای یک مدل واقعی و توان راکتیوی که توسط خود این اجزا تبادل می شود این اختلاف را توجیه می کند . حالت گذرا یی نیز که در ابتدا با آن مواجه هستیم از همین امر ناشی می شود . همان طور که می بینیم این اختلاف با گذر زمان، کمتر و کمتر می شود . هدف اصلی دیگر ما کنترل ولتاژ خازن ( $V_{dc}$ ) با حداقل نوسانات است . همان طور که نشان داده شده است کنترل  $V_{dc}$  با کمترین میزان نوسان ولتاژ که یکی از اهداف اصلی در طراحی سیستم شکل (۸) کنترل  $V_{dc}$  را در دو حالت استفاده و عدم استفاده از فیلتر نشان می دهد .

$$Q=30$$

مشاهده قسمت قبل مقادیر  $R, L, C$  فیلتر بالاگذر به آسانی از  $K_p, K_i, \lambda_1, \lambda_2$  برای استکام با امتحان تمامی مقادیر ممکن برای این پارامترها انتخاب شده اند . به ازای مقادیر اختیار شده خروجی های مورد نظر در وضعیت مناسبی قرار می گیرند و اهداف مورد نظر محقق می شود . این اهداف در قسمت بعد به طور کامل مطرح می شوند . هدف اول ما دنبال کردن مقدار رفرنس  $(iq^*)$  است که این مطلب به معنای جبران توان راکتیوی بار توسط مجموعه استکام است . در شکل (۷) شکل موج های  $iq$  و  $iq^*$  در دو وضعیت حضور و عدم حضور فیلتر به نمایش گذاشته شده است . همان گونه که مشاهده می شود در حضور فیلتر نیز سیستم کنترلی، عملکردی را که از آن انتظار می رود را انجام می دهد و  $iq$  کماکان  $*iq$  را

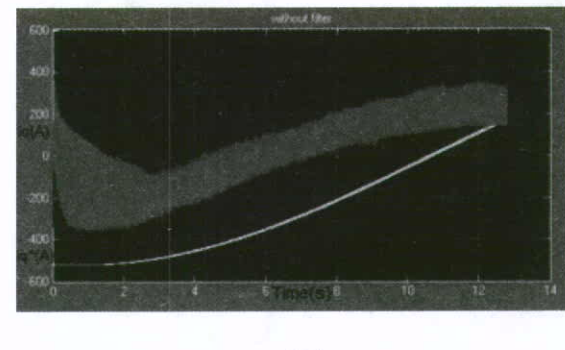


(a)

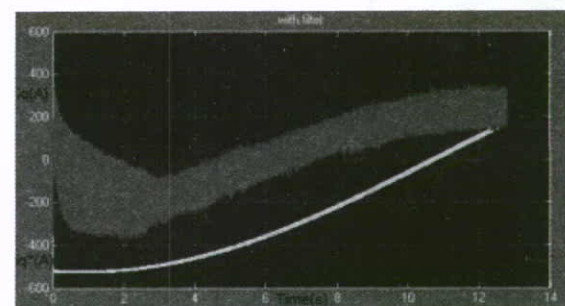


(b)

شکل (۸): شکل موج ولتاژ خازن ( $V_{dc}$ ) (a) بدون فیلتر (b) با فیلتر



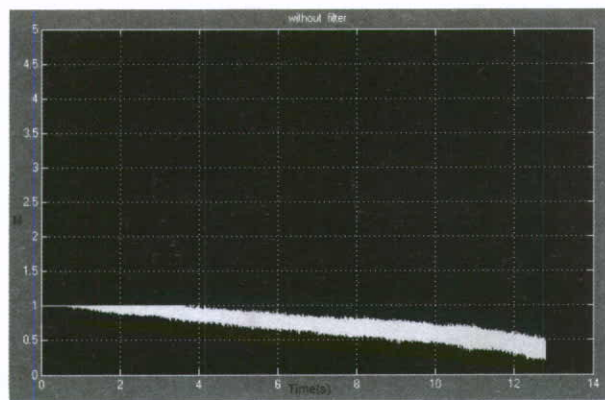
(a)



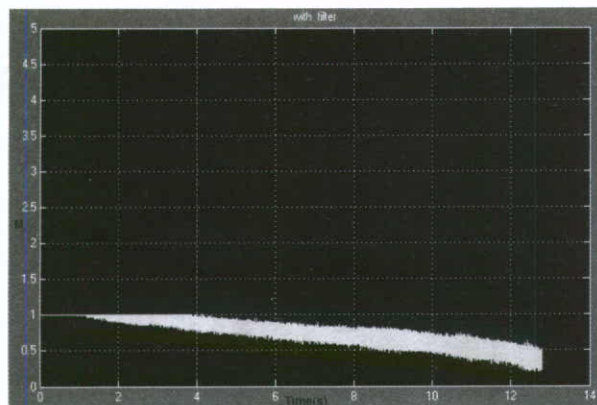
(b)

شکل (۷): شکل موج  $iq$  و  $iq^*$  (a) بدون فیلتر (b) با فیلتر

شاخص مدولاسیون (M) نیز در شکل(۱۰) به نمایش گذاشته شده است . همان طور که دیده می شود مقدار M همواره مقادیری در بازه ( $M < 1$ ) و مقادیری قابل قبول جهت استفاده برای اعمال کنترل بر روی SPWM هستند . این مطلب در دو حالت حضور و یا عدم حضور فیلتر صادق است .



(a)



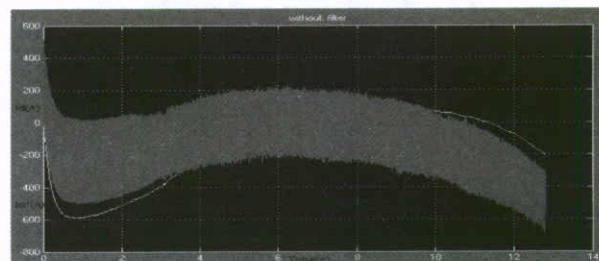
(b)

شکل(۱۰): شکل موج شاخص مدولاسیون (a) بدون فیلتر (b) با فیلتر

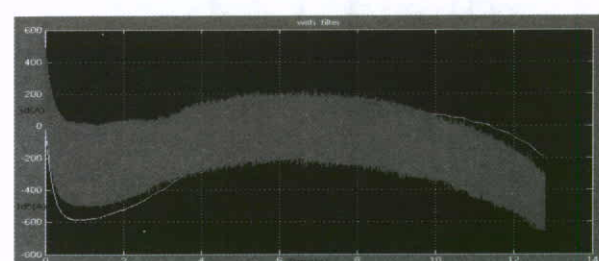
در حضور فیلتر سیستم کنترلی مشابه حالت قبل از حضور فیلتر عملکرد مناسبی داشته و مقدار M در بازه مورد انتظار و مطابق باقی می ماند .

$\delta$  (زاویه بین ولتاژ خروجی اینورتر و ولتاژ شبکه) به طور کامل در ناحیه پایدار ( $\delta < 90^\circ$ ) حضور داشته و نسبت به مرز پایداری ( $\delta = 90^\circ$ ) با حاشیه اطمینان مناسبی قرار دارد که این امر یک مزیت بزرگ برای سیستم کنترلی محسوب می شود .

همان طور که نشان داده شده است کنترل vdc با کمترین میزان نوسان ولتاژ که یک از اهداف اصلی در طراحی سیستم کنترلی بود محقق می شود . مشاهده می شود که  $Vdc^*$  مقدار  $Vdc$  را دنبال می کند و در نهایت به آن می رسد پس سیستم کنترلی در مورد کنترل ولتاژ مطابق خواسته ما عمل می کند نکته مهم دیگر این است که در صورت استفاده از فیلتر مشابه گذشته (قبل از استفاده از فیلتر) سیستم کنترلی طراحی شده به خوبی با شرایط فعلی تطبیق می یابد و وظیفه ای را که از آن انتظار می رود انجام می دهد و این بدون کوچکترین تغییری در معادلات کنترلی و تنها با تغییری جزئی در نمونه گیری برای تامین ورودی های سیستم کنترلی محقق گردید . بدین ترتیب که مقادیر نمونه گیری  $iq$ ,  $id$ ,  $iq'$ ,  $id'$  اختیار می شوند ( اً معادلات KVL در حضور شاخه فیلتری است ) . همان طور که گفته شد کنترل  $Vdc$  در روش ارائه شده به صورت غیر مستقیم و با کنترل مستقیم  $id$  امکان پذیر گشت . شکل(۹) در بخش بعدی برای نمایش این مطلب که چگونه سیستم کنترلی پیاده شده دنبال کردن  $id^*$  را توسط  $id$  ممکن می کند به نمایش گذاشته شده است . همان طور که مشاهده می شود در هر دو حالت حضور یا عدم حضور فیلتر ، سیستم کنترلی عملکردی مناسبی را ارائه داده و  $id$  مقادیر  $id^*$  را با تقریب خوبی دنبال می کند .



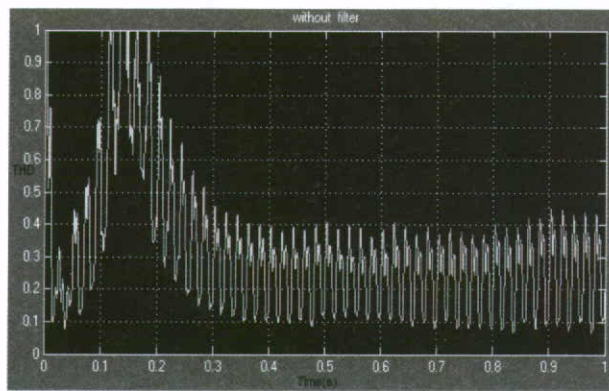
(a)



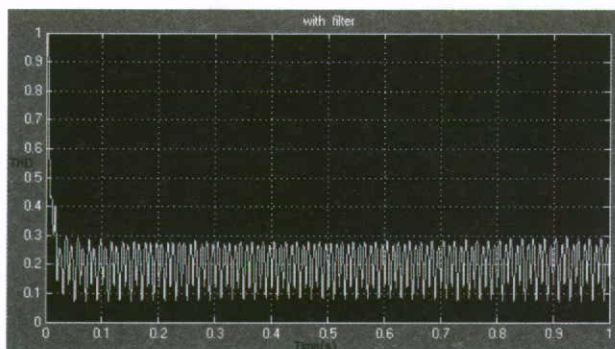
(b)

شکل(۹): شکل موج  $id^*$ ,  $id$  (a) بدون فیلتر (b) با فیلتر





(a)



(b)

شکل(۱۲): شکل موج فاکتور THD (a)بدون فیلتر (b)با فیلتر

همان طور که مشاهده می شود در استفاده از فیلتر مقدار THD بهبود (کاهش) چشمگیری می یابد؛ علاوه بر این عملکرد گذراي سیستم در زمان های آغازین شروع به کار سیستم بهبود قابل ملاحظه ای پیدا می کند. این امر به بهبود حاشیه پایداری سیتم(پایداری ولتاژ و نیز پایداری کار ماشین های حاضر در شبکه(پایداری زاویه ای)) منتهی می شود. برای روشن کردن این مطلب ، مقدار THD به عنوان نمونه در لحظه زمانی  $t = 1s$  در دو حالت حضور و عدم حضور فیلتر نشان داده شده است و مقدار بهبود این فاکتور در صورت استفاده از فیلتر طراحی شده ، محاسبه شده است .

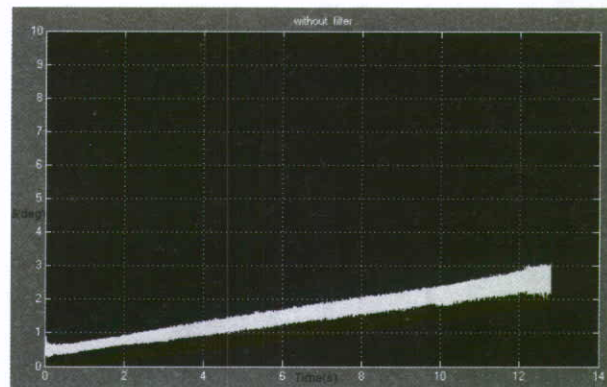
$$THD(t = 1s) = 16.28\% \quad \text{در حضور فیلتر}$$

$$THD(t = 1s) = 19.43\% \quad \text{در غیاب فیلتر}$$

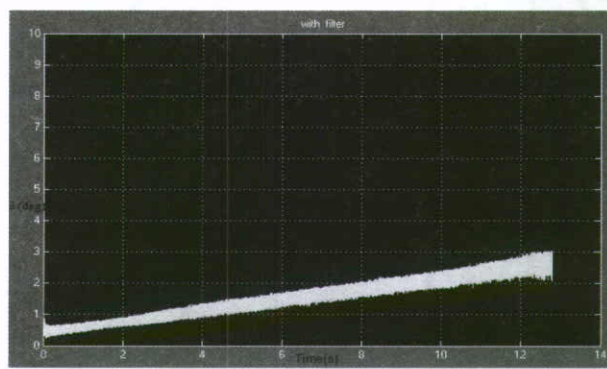
میزان کاهش در مقدار THD :

$$\alpha = ((19.43 - 16.28) / 19.43) \times 100 = 16.21\%$$

همچنین مشاهده می شود که در هر دو حالت حضور یا عدم حضور فیلتر صادق است و مشخصه حاصل نیز تنها تفاوتی اندک با مشخصه ماقبل از حضور فیلتر دارد . شکل(۱۱) گواهی بر اثبات این ادعاست .



(a)



(b)

شکل(۱۱): شکل موج زاویه  $\delta$  (a)بدون فیلتر (b)با فیلتر

هم اکنون میزان بهبود حاصل شده در مقدار THD در صورت استفاده از فیلتر معرفی شده در قسمت قبل را مورد ارزیابی قرار دهیم . فیلتری که در این مطالعه، مورد استفاده قرار گرفته است یک فیلتر جریانی است لذا میزان بهبود در شاخص THD جریان خروجی استنکام در نقطه اتصال آن به شبکه نسبت به حالت عدم استفاده از فیلتر، مورد بررسی قرار گرفته است . در این قسمت، عملکرد موثر فیلتر در کاهش مولفه های هارمونیکی در شبکه قدرت بهنمایش گذاشته می شود .

شکل(۱۲) مقدار THD برای فاز a را به نمایش می گذارد .

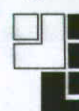


- [3] Schauder, C.; Mehta, H.; "Vector analysis and control of advanced static Var compensators" IEE Proceedings on Generation, Transmission and Distribution Volume 140, Issue 4, July 1993 Page(s):299 – 306
- [4] Peng , F.Z.; Jih-Sheng Lai; McKeever, J.W.; VanCoevering, J.; "A multilevel voltage-source inverter with separate DC sources for static Var generation" IEEE Transactions on Industry Applications Volume 32, Issue 5, Sept.-Oct. 1996 , Page(s):1130 – 1138
- [5] H. Fujita; S. Tominaga; and H. Akgagi; "Analysis and design of an Advanced Var compensator using quad- series voltage-source inverters" in Proc. IEEE/IAS'95 Annu.. Meeting, Oct. 1995, page(s): 2565-2572
- [6] Hanson, D.J.; Horwill, C.; Gemmell, B.D.; Monkhouse, D.R.; "A STATCOM-based relocatable SVC project in the UK for National Grid" In IEEE PESC , Jan. 2002 Page(s):532 – 537
- [7] Yiqiao Liang; Nwankpa, C.O.; "A new type of STATCOM based on cascading voltage-source inverters with phase-shifted unipolar SPWM" IEEE Transactions on Industry Applications Volume 35, Issue 5, Sept.-Oct. 1999, Page(s):1118 – 1123
- [8] Petitclair, P.; Bacha, S.; Rognon, J.P.; "Averaged modeling and nonlinear control of an ASVC (advanced static Var compensator)" in Proc. IEEE/PESC'96 Annu.. Meeting, Jun. 1996, page(s): 753- 758
- [9] Wanki Min; Joonki Min; Jaeho Choi; "Control of Statcom Using Cascade Multilevel Inverter For High Power Application" IEEE International conference on power electronics & drive systems, July 1999, page(s):1 - 6
- [10] Isidori, A.; "Nonlinear control systems" Third edition, London,

در این مقاله در ابتدا دو نوع شیوه کنترلی خطی و غیرخطی STATCOM را مطرح نمودیم . سپس به متدهای کنترل غیرخطی مبتنی بر خطی سازی به کمک فیدبک پرداختیم . در ادامه روش کنترل غیرخطی MIMO مبتنی بر کنترل غیرمستقیم ولتاژ بخش دی-سی (Vdc) را مبنای کار قرار داده و نوآوری را با ارائه یک مدل واقعی از شبکه قدرت به همراه استثکام و در حضور فیلتر مطرح کردیم . با این اقدام انجام کلیه تحلیل ها شامل آنالیز فالتس، آنالیز پایداری و بررسی اثرات وسایل و تجهیزات خارجی برای نمونه فیلترهای اکتیو و پسیو ، اف سی ال و دیگر تجهیزات که با شبکه و مجموعه استثکام تعامل دارند و بر سازوکار آن تاثیر می گذارند امکان پذیر گشت . در ادامه بر روی فیلتر تمرکز کردیم و در مورد نیاز ضروری به استفاده از فیلتر به همراه استثکام که از تجهیزات الکترونیک قدرت تشکیل شده است صحبت کردیم . در حالت استفاده از فیلتر در خروجی مجموعه استثکام ، طراحی کنترلر را انجام دادیم و این عمل را به کمک ارائه مدل پیشنهادی بدون نیاز به تغییرات در معادلات کنترلی و تنها با تغییری جزئی در نمونه های ورودی سیستم کنترلی انجام دادیم و بدین ترتیب پیچیدگی را که طراحی کنترلر در حضور فیلتر و نیز تخمین پارامترهای فیلتر در مدل های قبلی برایمان به همراه داشت رفع گردید . به عنوان کار آینده ، بررسی اثر استثکام بر حفاظت های قرار گرفته روی خط (بعنوان نمونه حفاظت دیستانس و ...) پیشنهاد می شود . این بررسی ها با استفاده از مدل واقعی از استثکام و شبکه که در این مقاله ارائه می شود، به سادگی امکان پذیر است .

#### مراجع

- [1] Farokhnia, N.; Fathi, S.H.; Gharepetian, G.; "a new method of nonlinear controlling of statcom for improving power quality" power system conference of Iran " PSC 23<sup>rd</sup> conference , 2008, page(s):1 - 8
- [2] Zhichang Yuan; Qiang Song; Wenhua Liu; Qingguang Yu; "Nonlinear Controller for Cascade H-Bridge Inverter- Based STATCOM" IEEE Transmission and Distribution Conference, 2005,Page(s):1 – 5



International Conference on,  
page(s): 430 – 436

- [20] van Wyk, J.D.; Lee, F.C.; Zhenxian Liang; Rengang Chen; Shuo Wang; Bing Lu; "Integrating active, passive and EMI-filter functions in power electronics systems" ; *IEEE Transaction on Power Electronics technologies*, May 2005 , page(s): 523 – 536 .
- [21] Jacobs, J.; Detjen, D.; Karipidis, C.-U.; De Doncker, R.W.; "Rapid prototyping tools for power electronic systems demonstration with shunt active power filters" , *IEEE Transactions on Power Electronics*, March 2004 , page(s): 500 – 507 .
- [22] Cavalloni, D.; Gagliardi, L.; Pinato, P.; Varalli, L.; Zaninelli, D.; "Design criteria of passive filters for power electronic converters used in electric traction" , Ninth International Conference on Harmonics and Quality of Power, 2000 , page(s): 134 - 141
- [23] Pham, T.K.; Allen, P.E.; "A design of a low-power, high-accuracy, and constant-Q-tuning continuous-time bandpass filter, Circuits and Systems", *ISCAS IEEE International Symposium* , 2002 , page(s): 639-642
- [24] Song Yong Hua , "Flexible AC Transmission Systems ", The Institution of Electrical Engineers , 1999 .chapter 14

### بیوگرافی

آقای فرید خراطی مقدم فارغ التحصیل رشته کارشناسی برق با گرایش قدرت از دانشگاه صنعتی امیرکبیر و دانشجوی مقاطع کارشناسی ارشد گرایش الکترونیک قدرت و ماشین های الکتریکی در دانشگاه صنعتی شریف هستند. ایشان دارای ۲ سال سابقه کاری در زمینه طراحی تابلو و تاسیسات برقی و طراحی سیستم های حفاظتی بوده و مقالاتی را در این زمینه ها و نیز شاخه های مختلف الکترونیک قدرت در کنفرانس های معتبر داخلی و خارجی به چاپ رسانیده اند.

Email:  
[fkhazaeli@ghods-niroo.com](mailto:fkhazaeli@ghods-niroo.com)  
[farid\\_khazaeli@yahoo.com](mailto:farid_khazaeli@yahoo.com)

Speinger- Verlag , 1994.

- [11] Petitclair, P.; Bacha, S.; Ferrieux, J.-P.; "Optimized linearization via feedback control law for a STATCOM" *IEEE Industry Applications Conference* , Oct. 1997, Page(s):880 – 885
- [12] Mishra, S.; Panigrahi, B.K.; Tripathy, M., "A hybrid adaptive-bacterial-foraging and feedback linearization scheme based D-STATCOM" In *IEEE International Conference on Power System Technology*, Nov. 2004 ,Page(s):275 – 280
- [13] Lehn, P.W.; Iravani, M. R.; "Experimental evaluation of STATCOM closed loop dynamics," *IEEE Trans .On Power Delivery*, vol. 13, no. 4, Oct. 1997, page(s): 1378-1384
- [14] Yazdani, A.; Crow, M.L.; Guo, J., "A comparison of linear and nonlinear STATCOM control for power quality enhancement" In *IEEE Power and Energy Society General Meeting Conf.* 20-24 July 2008, Page(s):1 – 6
- [15] Josh, K.; Behalf, A.; Jain, A.K.; Mohan, N.; "A comparative study of control strategies for fast voltage regulation with STATCOMs" *IEEE Industrial Electronics Conference* , Nov. 2004, Page(s):187 – 192
- [16] Farokhnia, N.; Vadizadeh, H.; S. H. Fathi; Anvariasl, F.; "Calculating the Formula of Line Voltage THD in Multilevel Inverter with Unequal DC Source" *IEEE Transaction on Industrial Electronics*, Issue: 99, September 2010,page(s): 1 - 20
- [17] Paul C. Krause; Oleg Wasynczuk; Scott D. Sudhoff; "Analysis Of Electric machinery and drive systems" Second Edition , March 2002, chapter 3 .
- [18] A.E. fitzgerard; Charles Kingsey,Jr; Stephen D. Umans; " Electric Machinery " Second Edition , Jul 25, 2002 ,Appendix C .
- [19] Key, T.S.; Jih-Sheng Lai; "IEEE and international harmonic standards impact on power electronic equipment design", *Industrial Electronics, Control and Instrumentation*, 1997. IECON 97. 23<sup>rd</sup>



# هارمونیک در سیستم‌های الکتریکی

## کاوس قصبه

سپر پرست گروه تخصصی برق - SBU نیروگاه (صنایع نیروگاهی)

### چکیده

افزایش روزافزون بارهای الکترونیکی که از نوع غیر خطی می‌باشند، تولید هارمونیک در سیستم‌های قدرت را به همراه داشته است. وجود هارمونیک در شبکه برق، که یکی از مقوله‌های عمده کیفیت برق<sup>۱</sup> است، اثرات سوئی بر تجهیزات الکتریکی دارد و لذا میزان تولید آن بایستی تحت کنترل قرار گیرد. به همین علت در چند دهه اخیر، پدیده هارمونیک مورد توجه قرار گرفته و استانداردها و ضوابط خاصی برای آن تدوین شده است. در این مقاله اثرات هارمونیک بر تجهیزات الکتریکی، نحوه مطالعه و محاسبه، و اصلاح آن ارائه می‌گردد.

### ۱- مقدمه

جريان سینوسی با همان فرکانس شبکه اخذ می‌کند در حالیکه بار غیر خطی، نظریه منابع تعذیب الکترونیکی، شارژر، لامپ تخلیه... جریان غیر سینوسی شامل هارمونیک از شبکه اخذ می‌کند، عبور جریانهای هارمونیکی از امپدانس شبکه، افت ولتاژ هارمونیکی ایجاد و سبب اعوجاج ولتاژ در باس‌های مسیر شده (شکل ۳) و عدم کارایی تجهیزات را نتیجه می‌دهد.

### ۲- منابع هارمونیک‌زا

تجهیزاتی که در سیستم‌های قدرت تولید هارمونیک می‌کنند مشتمل هستند بر:

- تجهیزات با هسته مغناطیسی، نظریه ترانسفورماتور و ماشین الکتریکی
- کوره قوسی<sup>۲</sup>، جوش قوسی<sup>۳</sup>، لامپ تخلیه
- تجهیزات الکترونیک قدرت

### ۱-۱- ترانسفورمر

دو پدیده در کار با هسته مغناطیسی ترانسفورمر وجود دارد که سبب اعوجاج فرم ولتاژ، شار و جریان مغناطیسی می‌شوند، اولی غیر خطی بودن منحنی مغناطیسی و دومی هیسترسه می‌باشد. نقطه کار

از بدء استفاده از جریان متناوب، پدیده هارمونیک و آثار سوء آن بر کارکرد تجهیزات مورد توجه قرار داشته است ولي با توجه به اينکه بارهای غیر خطی که عامل اصلی تولید هارمونیک جريان می‌باشند، در حد محدودی وجود داشته سیستم‌های قدرت با مشکل چندانی روبرو نبوده‌اند. در چند دهه اخیر با ورود تکنولوژی جدید مبتنی بر استفاده از نیمه هادی‌ها و در نتیجه غیر خطی شدن بارهای مربوطه، مساله از اهمیت خاصی برخوردار شده است.

در يك سیستم الکتریکی متناوب آرمانی، فرم جریان و ولتاژ از نوع سینوسی با يك فرکانس اصلی می‌باشد. ولی در عمل عواملی سبب تغییر فرم<sup>۴</sup> (اعوجاج) این کمیت‌ها از سینوسی به غیر سینوسی می‌گردد. يك موج متناوب غیر سینوسی مجموعه‌ای است از يك موج سینوسی با فرکانس اصلی و چندین موج سینوسی با فرکانس‌های ضریب صحیح از فرکانس اصلی که هارمونیک نامیده می‌شوند. هارمونیک اثرات منفی و مخرب بر تجهیزات دارد، به طوریکه هارمونیک جریان سبب افزایش مقدار موثر جریان و نتیجه افزایش تلفات و دما و اضافه بار می‌شود، و هارمونیک ولتاژ عدم کارایی تجهیزات، افزایش مقدار موثر ولتاژ و نتیجتاً افزایش تنفس عایقی را به همراه دارد. عامل عمدۀ ایجاد هارمونیک، وجود بارهای غیر خطی است. بار خطی، (نظریه موتور اندوکسیونی، لامپ رشته‌ای، گرمکن برقی و ...) با تعذیب از ولتاژ سینوسی،

1-Power Quality

2-Distortion

3-Arc furnace

4-Arc Welder

شماره ۷۳ - ۱ - ۶۰۰۰  
تیر ۹۵ - ۹۶ - ۹۷ - ۹۸ - ۹۹ - ۱۰۰



۱۴

هارمونیک جریان می‌کند که با تجهیز لامپ به خازن اصلاح قدرت کاهش می‌یابد. لامپ‌های کم مصرف<sup>۳</sup> نیز هارمونیک‌زا می‌باشند.

#### ۲-۵- تجهیزات الکترونیکی

مبدل‌های قدرت الکترونیکی عمدت‌ترین تجهیزات تولید جریان هارمونیکی می‌باشند که با توجه به پیشرفت فن آوری نیمه هادی‌ها، بر کاربرد آن در تنظیم سرعت موتور<sup>۴</sup> (ASD)، منابع تغذیه الکترونیکی، شارژر، اینورتر و غیره، مرتباً افزوده می‌شود. منابع تغذیه تک‌فاز که مورد استعمال زیادی در تجهیزات اداری و صنعتی نظری رایانه شخصی (PC) و پرینتر دارند، دارای یکسو کننده DC SMPS<sup>۵</sup> ولتاژ DC می‌باشند و با استفاده از تکنیک<sup>۶</sup> SMPS ولتاژ خروجی را کنترل می‌کنند. از خصوصیات این تکنیک ایجاد جریان هارمونیک سوم زیاد است که یکی از معایب آن عبور از هادی خنثی N و در نتیجه اضافه بار شدن کابل است. منابع تغذیه سه فاز دارای مزیت عدم تولید جریان هارمونیک سوم می‌باشند. تجهیزات تنظیم سرعت موتور از یکسوکننده و اینورتر استفاده می‌کنند و اینورتر نوع جریان ثابت<sup>۷</sup> (CSI) حدود نصف نوع ولتاژ ثابت<sup>۸</sup> (VSI) هارمونیک تولید می‌کند. در جدول (۱) مقادیر متعارف هارمونیک تولیدشده توسط برخی از بارهای تک‌فاز و سه‌فاز ارائه شده است.

#### ۳- فاکتورهای هارمونیکی

برای سنجش میزان انحراف موج‌های هارمونیکی از هارمونیک اصلی، فاکتورهای متعددی تعریف شده است که عمدت‌ترین آنها به شرح ذیل است:

- 1- Core Type
- 2- Shell Type
- 3- Compact Fluorescent Lamp
- 4- Adjustable Speed Drive
- 5-Switch Mode Power Supply
- 6-Current Source Inverter
- 7-Voltage Source Invert

ترانسفورمر در شرایط نرمال زیر نقطه زانوی منحنی مغناطیسی، یعنی در ناحیه خطی قرار دارد و هارمونیک قابل توجهی تولید نمی‌کند ولی در شرایط غیر نرمال، مثلًاً افزایش ولتاژ، نقطه کار بالای زانو و در ناحیه غیر خطی قرار می‌گیرد و سبب ایجاد هارمونیک (عدمتأ) هارمونیک سوم تا ۶۰ درصد) در جریان مغناطیسی کنندگی می‌شود. مجوز عبور جریان هارمونیک را نوع اتصال سیم‌پیچ‌ها (ستاره، مثلث، زیگزاگ) و وجود اتصال نقطه خنثی به زمین تعیین می‌کنند، ولی میزان تولید هارمونیک شار و ولتاژ منتج از عدم عبور این جریان، به نوع مستقل<sup>۹</sup> یا غیر مستقل بودن<sup>۱۰</sup> هسته دارد و نوع غیر مستقل هارمونیک شار و ولتاژ کمتری تولید می‌کند.

#### ۲-۲- ماشین الکتریکی

ماشین‌های اندوکسیونی نیز مشابه ترانسفورمر، جریان مغناطیسی کنندگی را از منبع تغذیه اخذ می‌کنند ولی وجود شکاف هوایی در مدار مغناطیسی سبب خطا شدن مشخصه و درنتیجه کاهش جریان هارمونیکی نسبت به ترانسفورمر می‌گردد. عامل تولید هارمونیک ولتاژ در ماشین‌ها گام قطبی سیم‌پیچ استاتور است که در ماشین‌های بزرگ قابل توجه است. در ژنراتورهای سنتکرون، انتخاب بهینه گام قطبی سبب تولید هارمونیک سوم ولتاژ می‌شود که جریان هارمونیک سوم به بار تزریق می‌کند.

#### ۳-۲- کوره قوسی

هارمونیک‌های ایجاد شده توسط کوره قوسی الکتریکی که برای ذوب فلزات به کار می‌رود بسته به مرحله ذوب، متغیراست. در مرحله اولیه ذوب، هارمونیک‌های زوج و فرد، و در مرحله نهایی که قوس پایدار می‌شود، هارمونیک‌های فرد با شدت کمی وجود دارند و فرم جریان به سینوسی نزدیک است. کوره‌های قوسی به علت داشتن قدرت زیاد، تمهدات خاصی برای کاهش هارمونیک لازم دارند.

#### ۴- لامپ‌های تخلیه

در لامپ فلورسنت، بخار جیوه، بخار سدیم، بالاست مغناطیسی جای خود را به بالاست الکترونیکی داده که از مزایای بیشتری برخوردار است ولی در مقابل تولید



جدول(۱): مقادیر متعارف هارمونیک های جریان

| Example Magnitudes of Harmonic Currents of Selected Single-Phase Loads |            |        |                      |
|--|------------|--------|----------------------|
| Harmonic Order   | Welder [%] | PC [%] | Fluorescent Lamp [%] |
| 1  | 100        | 100    | 100                  |
| 3  | 29.6       | 75     | 12.3                 |
| 5  | 8.8        | 47.3   | 13.8                 |
| 7  | 2.0        | 22.9   | 3.1                  |
| 9  | 2.3        | 9.0    | 1.1                  |
| 11   | 2.3        | 3.3    | 0.7                  |
| 13   | 1.1        | 3.0    | 0.5                  |

Example Magnitudes of Harmonic Currents of Selected Three-Phase Loads

| Harmonic Order | Induction Furnace (With Static Frequency Converter) | DC ASD | DC Arc Furnace | ASD (PWM) |
|----------------|---|--------|----------------|-----------|
| 1              | 100   | 100    | 100            | 100       |
| 5              | 20.9  | 37.1   | 18.9           | 25        |
| 7              | 12.7  | 1.1    | 10.3           | 11        |
| 11             | 7.8   | 8.6    | 5.4            | 7.5       |
| 13             | 7.2   | 2.5    | 3.9            | 5.0       |
| 17             | 4.3   | 4.7    | 1.8            | 4.4       |
| 19             | 4.9   | 2.3    | 1.3            | 3.2       |

### ۳-۳- فاکتور ولتاژ هارمونیکی

این فاکتور در استاندارد IEC 60034-1 برای ولتاژ تغذیه موتورهای سنکرون و اندوکسیونی تعریف شده است:

$$VHF = \frac{100}{V_1} \sqrt{\sum_{h=2}^h \frac{V_h^2}{h}} [\%]$$

### ۴-۳- مقدار موثر کمیت هارمونیک

مقدار موثر، اثر حرارتی کلیه هارمونیک‌ها از جمله هارمونیک اصلی را در نظر می‌گیرد. توجه گردد که این کمیت توسط ولتمتر / آمپر معمولی که فقط مقدار موثر هارمونیک اصلی را اندازه می‌گیرد، قابل قرائت نمی‌باشد.

$$Veff = \sqrt{\sum_{h=1}^h V_h^2} [Volt]$$

$$Ieff = \sqrt{\sum_{h=1}^h I_h^2} [Amp]$$

### ۴- مقادیر مجاز هارمونیک‌ها

#### ۱- شبکه

در استانداردهای IEC و IEEE مقادیر مجاز هارمونیک‌ها در سیستم الکتریکی به شیوه‌های متفاوت ارائه شده ولی

### ۱-۳- فاکتورهای اعوجاج تکی

این فاکتور میزان دامنه هر یک از هارمونیک‌ها را بر حسب درصدی از هارمونیک اصلی بیان می‌کند.

$$IHDe = (V_h/V_1) 100 [\%]$$

$$IHDi = (I_h/I_1) 100 [\%]$$

مقدار مؤثر هارمونیک درجه  $I_h$ ,  $V_h$  مقدار موثر هارمونیک اصلی و اندیس‌های  $i$ , مربوط به ولتاژ جریان می‌باشند.

### ۲-۳- فاکتور اعوجاج کلی

این فاکتور اثر حرارتی مجموعه هارمونیک‌ها (به جز هارمونیک اصلی) را مدنظر می‌گیرد.

$$THDe = \frac{100}{V_1} \sqrt{\sum_{h=2}^h \frac{V_h^2}{h}} [\%]$$

$$THDi = \frac{100}{I_1} \sqrt{\sum_{h=2}^h \frac{I_h^2}{h}} [\%]$$

جريان مغناطیسی می‌شود، در حالت بی‌باری به ۱۰% و در حالت با باری به ۵% محدود شده است.

#### ۴-۴- موتور الکتریکی

طبق استاندارد IEC 600 34-1، موتورهای الکتریکی بایستی قادر به کار با ولتاژ تغذیه‌ای باشند که فاکتور ولتاژ هارمونیکی (بند ۳-۳ آن تا ۲%) است.

#### ۵- اثرات هارمونیک

وجود هارمونیک در سیستم الکتریکی اثرات منفی بر تجهیزات سیستم و مصرف کننده دارد به طوریکه جریان هارمونیکی سبب افزایش تلفات و دما، و ولتاژ هارمونیکی سبب افزایش تنش الکتریکی، تغییر فرم ولتاژ و نتیجتاً عدم کارایی تجهیزات می‌شوند. در ذیل این اثرات بررسی می‌گردد:

#### ۵-۱- تأثیر بر سیستم قدرت

مهمنترین اثر هارمونیک، افزایش تلفات حرارتی، عدم کارایی تجهیزات کنترلی و نشان‌دهنده‌ها و تغییر فرم ولتاژ است. این اثرات در شرایط تشدید مسأله آفرین هستند و اگر سیستم در این شرایط نباشد، جریان‌های هارمونیکی به طرف منبع تغذیه شبکه که مسیری با امپدانس کم است جاری شده و تغییر فرم ولتاژ ناچیزی تولید می‌کنند. قدرت اتصال کوتاه  $S_f$  در یک نقطه از شبکه مقیاسی است برای امپدانس شبکه در فرکانس اصلی. امپدانس شبکه نسبت عکس دارد با  $S_f$  و در نتیجه  $S_f$  بیشتر سبب کاهش اعوجاج ولتاژ می‌گردد.

میزان آن در هر دو استاندارد بسیار نزدیک به هم است. استاندارد IEEE F519 (مرجع ۴) مقدار مجاز هارمونیک ولتاژ را که شبکه می‌تواند به مصرف کننده اعمال کند طبق جدول (۲) بازه سه سطح ولتاژ مختلف پیشنهاد داده است.

جدول (۲): حداقل اعوجاج ولتاژ در شبکه

| System Voltage | THDu [%] | IHDu [%] |
|----------------|----------|----------|
| Up to 69KV     | 5.0      | 3.0      |
| 69 Up to 161KV | 2.5      | 1.5      |
| 161KV & Above  | 1.5      | 1.0      |

مسئولیت کنترل و تنظیم این هارمونیک با برق منطقه‌ای (تولید کننده) می‌باشد. مرجع (۴) مقدار مجاز هارمونیک جریان را که مصرف کننده (بار) مجاز است تولید کند طبق جدول (۳) پیشنهاد داده است. در این جدول دو فاکتور جدید بکار گرفته شده که یکی فاکتور TDD<sup>۱</sup> است که مشابه فاکتور تعریف شده در بند ۱-۳ می‌باشد ولی در مخرج بهجای جریان هارمونیک اصلی  $I_a$ ، جریان بار  $I_L$  قرار می‌گیرد و دیگری نسبت  $I_{sc}/I_L$  است که بزرگی بار تعریف شده و بیانگر این است که بارهای بزرگتر لازم است هارمونیک کمتری تولید کنند.  $I_{sc}$  جریان اتصال کوتاه سیستم در محل تزریق هارمونیک و  $I_L$  جریان باس است. کلیه منابع تولید کننده قدرت الکتریکی، بدون توجه به مقار  $I_{sc}/I_L$  باشی از جدول (۳) طبیعت کنند.

#### ۴-۲- تجهیزات الکترونیکی

هارمونیک ولتاژ، عدم کارایی تجهیزات الکترونیکی را بهمراه دارد. این تجهیزات قادر به تحمل THDu تا ۵% و IHDu تا ۳% می‌باشند. مبدل‌هایی که از دیود استفاده می‌کنند کمتر از آن‌هایی که از تایریستور استفاده می‌کنند تحت تأثیر هارمونیک قرار دارند.

#### ۴-۳- ترانسفورمر

ترانسفورمر قادر به تحمل THDI تا ۵% است و برای مقادیر بیشتر باشی از آن کاهش یابد که نحوه محاسبه آن در IEEE C57-110 آمده است. اضافه ولتاژ ترانسفورمر که سبب ایجاد هارمونیک در



جدول(۳): حد مجاز تولید جریان هارمونیکی

| $I_{sc}/IL$                             | $h < 11$ | $11 \leq h < 17$ | $17 \leq h < 23$ | $23 \leq h < 35$ | $35 \leq h$ | TDD  |
|---|----------|------------------|------------------|------------------|-------------|------|
| $v \leq 69 \text{ kV}$                  |          |                  |                  |                  |             |      |
| <20                                     | 4.0      | 2.0              | 1.5              | 0.6              | 0.3         | 5.0  |
| 20<50                                   | 7.0      | 3.5              | 2.0              | 1.0              | 0.5         | 8.0  |
| 50<100                                  | 10.0     | 4.5              | 4.0              | 1.5              | 0.7         | 12.0 |
| 100<1000                                | 12.0     | 5.5              | 5.0              | 2.0              | 1.0         | 15.0 |
| 1000                                    | 15.0     | 7.0              | 6.0              | 2.5              | 1.4         | 20.0 |
| $69 \text{ kV} < v \leq 161 \text{ kV}$ |          |                  |                  |                  |             |      |
| <20                                     | 2.       | 1.0              | 0.75             | 0.3              | 0.15        | 2.5  |
| 20<50                                   | 3.5      | 1.75             | 1.25             | 0.5              | 0.25        | 4.0  |
| 50<100                                  | 5.0      | 2.25             | 2.0              | 0.75             | 0.35        | 6.0  |
| 100<1000                                | 6.0      | 2.75             | 2.5              | 1.0              | 0.5         | 7.5  |
| 1000                                    | 7.5      | 3.5              | 3.0              | 1.25             | 0.7         | 10.0 |
| $v > 161 \text{ kV}$                    |          |                  |                  |                  |             |      |
| <50                                     | 2.0      | 1.0              | 0.75             | 0.3              | 0.15        | 2.5  |
| $\geq 50$                               | 3.5      | 1.75             | 1.25             | 0.45             | 0.22        | 3.75 |

#### ۴-۵- تأثیر بر کابل

ولتاژ هارمونیکی سبب افزایش تنش دی الکتریک و ایجاد پدیده کرونا می شود که خرابی عایق را به همراه دارد. در هارمونیک های درجه بالا، پدیده پوستی سبب ایجاد حرارت اضافی و کاهش ظرفیت می گردد. جریان هارمونیک سوم و مضربی از سه، می تواند از هادی نول عبور نموده و سبب کاهش ظرفیت کابل به سبب IEC 60364-5-52، نحوه تعیین کاهش ظرفیت چپ گرد نموده است. جریان هارمونیک سوم از هادی نول را ارائه می دهد.

#### ۵-۵- تأثیر بر خازن

راکتانس کاپاسیتیو همراه با افزایش فرکانس، کاهش می باید و لذا ولتاژ هارمونیکی، جریان هارمونیکی بیشتری از خازن عبور داده و ایجاد اضافه بار می کند، به طوریکه مثلاً ۱۵٪ ولتاژ هارمونیک هفتم سبب عبور جریان هارمونیک هفتم  $105 = 15 \times 7$  درصدی می گردد. ولتاژ هارمونیکی سبب افزایش تنش دی الکتریک بر عایق خازن می گردد.

#### ۲-۵- تأثیر بر ماشین الکتریکی

از نظر مسیر جریان هارمونیکی، موتورها به صورت پارالل با امپدانس شبکه ظاهر می شوند و در نتیجه به علت کاهش امپدانس منتج، سبب افزایش فرکانس تشديد می شوند. ولتاژ هارمونیکی موجود در منبع تغذیه، شارهای توالی منفی در هارمونیک اصلی است. جریان های توالی منفی در هارمونیک اصلی است. (K= 1, 2, 3 ... )  $3k + 2$  میدان های چپ گرد تولید نموده که حرارت زیادی در روتور ایجاد می کنند. کاهش راندمان و افزایش سر و صدا و لرزش از عواقب دیگر وجود هارمونیک است.

#### ۳-۵- تأثیر بر ترانسفورمر

جریان هارمونیکی سبب افزایش تلفات مسی و گرم شدن تانک ترانسفورمر نوع هسته ای می شود. ولتاژ هارمونیکی سبب افزایش تلفات هسته، تنش الکتریکی بر عایق، نوسان پتانسیل نقطه خنثی سیم پیچ و تغییر فرم (اعوجاج) ولتاژ می گردد.

#### ۵-۶- تأثیر بر رله‌های حفاظتی

رله‌های الکترونیکی حساسیت چندانی به هارمونیک ندارند. اکثر کنتاکتورها و رله‌ها به اوجاج ولتاژ کمتر از ۲۰% حساس نمی‌باشند. رله جریانی N 50/51 (به سبب عبور جریان هارمونیک سوم) و رله امپدانسی، متأثر از فرکانس می‌باشند.

#### ۵-۷- تأثیر بر لامپ

هارمونیک ولتاژ سبب افزایش پیک ولتاژ و در نتیجه کاهش عمر لامپ رشته‌ای می‌گردد. المان‌های L و C موجود در لامپ فلورسنت می‌توانند عامل ایجاد تشدید موازی گردند.

#### ۵-۸- تأثیر بر خطای فاز به زمین

در سیستم‌های MV که زمین آنها از نوع ایزوله است، امپدانس مسیر خط از نوع کاپاسیتیو است و لذا با افزایش فرکانس مقدار آن کاهش یافته و جریان زیاد هارمونیکی مانع از خاموش شدن قوس الکتریکی در محل خطا می‌گردد.

#### ۵-۹- تأثیر بر تجهیزات الکترونیکی

در کنترل الکترونیکی، از پیک یا صفر ولتاژ استفاده به عمل می‌آید. وجود هارمونیک سبب تغییر این پارامترها گردیده و کارکرد مناسب سیستم را مختل می‌سازد.

#### ۵-۱۰- تأثیر بر هادی نول

در صورت وجود بار غیر خطی تکفاز، اگر بار سیستم سه فاز متعادل باشد، جریان هارمونیک سوم و مضری از سه از هادی نول عبور کرده و سبب اضافه بار هادی می‌شود. در حالت نامتعادل بودن بار سیستم سه فاز، جریان نامتعادلی فازها نیز به جریان هادی اضافه می‌گردد. بارهای غیر خطی سه فار با اتصال مثلث قادر به اخذ جریان هارمونیک سوم و مضری از سه، از شبکه نمی‌باشند در حالیکه سیستم‌های ترادف مثبت و منفی را منتقل نموده و سبب افزایش مقدار موقت جریان می‌شوند.

#### ۱۱-۵- تأثیر بر کارکرد فیوز و بریکر

فیوز در برابر عبور جریان مؤثر  $I_{eff}$  (که جریان‌های هارمونیکی را نیز در برمی‌گیرد) عمل می‌کند و لذا هارمونیک سبب جابجایی منحنی عملکرد آن می‌شود. جریان هارمونیکی می‌تواند سبب افزایش  $di/dt$  در لحظه صفر جریان گردیده و قطع جریان در بریکر را با مشکل روپرو کند. عدم کارایی بریکر می‌تواند مربوط به بوبین دمیدن هوا باشد که عامل آن وجود جریان هارمونیکی است.

#### ۱۲-۵- تأثیر بر ضریب قدرت

به طور کلی ضریب قدرت طبق رابطه  $PF = P/S$  تعريف می‌شود. در شرایط سینوسی بودن کمیت، فقط هارمونیک اصلی وجود دارد و رابطه  $PF_1 = P_1/S_1 = \cos\phi_1$  برقرار است که ضریب قدرت پایه<sup>۱</sup> نامیده می‌شود. در شرایط وجود هارمونیک در سیستم، مؤلفه دومی برای ضریب قدرت تعريف شده که در ذیل بررسی می‌گردد:

با تغییر فرم معادلات بند ۴-۳، داریم:

$$V_{eff} = V_1 \sqrt{1 + THD^2 u}$$

$$I_{eff} = I_1 \sqrt{1 + THD^2 i}$$

برای توان ظاهری S، توان راکتیو P و ضریب قدرت PF داریم:

$$S = V_{eff} \times I_{eff}$$

$$P = \sum_1 P_h = P_1 + P_2 + P_3 \dots$$

$$PF = P/S$$

معادله ساده شده ای برای PF به دست می‌آید با فرض اینکه از توان‌های اکتیو مربوط به هارمونیک‌ها (..., P3, P2) (...), صرفنظر شود، یعنی  $P_1 \approx P$ ، دیگر اینکه  $V_{eff} \approx V_1$  اختیار شود یعنی  $THD u$  که عموماً کمتر از ۱۰٪ است تاثیری بر  $V_{eff}$  ندارد.



## جدول (۴): ضریب قدرت بارهای تکفاز خانگی

| Load Type               | PF    | PF <sub>f</sub> | PF <sub>h</sub> | TDHi [%] |
|-------------------------|-------|-----------------|-----------------|----------|
| Ceiling Fan             | 0.999 | 0.999           | 1.0             | 1.8      |
| Refrigerator            | 0.867 | 0.875           | 0.991           | 13.4     |
| Microwave Oven          | 0.982 | 0.998           | 0.984           | 18.2     |
| Vacuum Cleaner          | 0.921 | 0.951           | 0.988           | 26       |
| Fluorescent Lamp        | 0.889 | 0.956           | 0.930           | 39.5     |
| Television              | 0.629 | 0.988           | 0.637           | 121      |
| Desk Computer & Printer | 0.58  | 0.999           | 0.581           | 140      |

$X_L = X_C$  کردن از مقاومت اهمی مدار و استفاده از رابطه  
برابر می‌گردد با :

$$f_r = f_1 \sqrt{\frac{X_C}{X_L}} = \frac{1}{2\pi} \sqrt{\frac{1}{LC}} \text{ [HZ]}$$

که در آن  $f_1$  فرکانس اصلی و  $X_C, X_L$  رآکتانس‌های مدار در فرکانس اصلی می‌باشند. فرکانس طبیعی اکثر سیستم‌های قدرتی در حدود چند کیلوهرتز است و از آنجا که منبع جریان هارمونیک‌زا با این محدوده فرکانسی وجود ندارد، لذا تشیدید بازه فرکانس طبیعی ایجاد نمی‌گردد. مشکل تشیدید از آنجا ظاهر می‌شود که سیستم دارای بارهای غیر خطی و خازن اصلاح ضریب قدرت باشد و فرکانس طبیعی سیستم برابر فرکانس جریان تولید شده توسط بار غیر خطی گردد. در این شرایط جریان و ولتاژ هارمونیکی زیادی تولید می‌گردد.

### ۱-۱۳-۵- تشیدید سری

المان‌های  $X_C, X_L$  در یک مدار الکتریکی می‌توانند بصورت سری یا موازی ظاهر شوندو لذا دو نوع تشیدید سری و موازی وجود دارد. در مدار الکتریکی شکل ۱، از دید بار غیر خطی، ترانسفورمر و خازن بصورت سری ظاهر می‌شوند و لذا با افزایش فرکانس، مقدار امپدانس مدار کاهش یافته و در فرکانس تشیدید (fr) به حداقل مقدار (برابر مقاومت اهمی مدار R) می‌رسد و مسیری با مقاومت کم به جریان با فرکانس fr عرضه می‌کند. تغییرات

$$PF = P / S = [P_1 / V_1 \cdot I_1] \times [1 / \sqrt{1 + THD^2_i}] \\ = PF_1 \times PF_h$$

مشاهده می‌گردد که ضریب قدرت واقعی<sup>۱</sup> از حاصل ضرب دومولفه تشکیل شده. مولفه<sub>۱</sub>  $PF_1 = \cos\Phi_1$  ضریب قدرت پایه ( فقط هارمونیک اصلی ) است که توسط دستگاه‌های اندازه‌گیری متداول سنجیده شده و هزینه بر قم مصرفی براساس آن تعیین می‌شود. مولفه دوم( $PF_h$ )<sup>۲</sup> ، ضریب قدرت هارمونیکی تعریف شده که به میزان هارمونیک‌های جریان بستگی دارد و قابل بهبود توسط نصب خازن نمی‌باشد.

ضریب توان واقعی PF مقیاسی برای ظرفیت تولید سیستم (توان S) است و هر چه به  $PF_1$  نزدیک‌تر باشد از هزینه تولید و تلفات سیستم کاسته می‌گردد. ضریب PF توسط دستگاه خاص

به نام True Power Meter قابل اندازه‌گیری است.

### ۱-۱۳-۵- تشیدید هارمونیکی<sup>۳</sup>

از جمله اثرات عمده وجود هارمونیک در سیستم الکتریکی، ایجاد پدیده تشیدید است. تشیدید حالت خاصی از مدار الکتریکی است که در آن به ازاء یک فرکانس خاص (فرکانس تشیدید) رآکتانس اندوکتیو مدار  $X_L$  برابر رآکتانس کاپاسیتیو  $X_C$  می‌گردد.

هر مدار در فرکانس خاصی که فرکانس طبیعی<sup>۴</sup> نامیده می‌شود، تشیدید می‌گردد. مقدار این فرکانس با صرف نظر

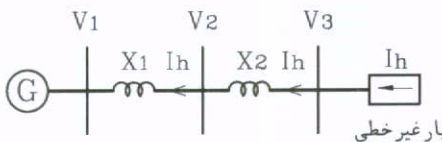
1-True power Factor

2--Distortion Power Factor

3-Harmonic Resonance

4-Natural Frequency

جريان تابع امپدانس‌های مسیر می‌باشد. با عبور جریان هارمونیکی از امپدانس‌های خطی شبکه (ترانسفورمر، خط...) که به طور سری بین بار خطی و منبع قدرت قرار دارند، افت ولتاژ هارمونیکی ایجاد و سبب تغییر فرم ولتاژ در بات‌ها می‌گردد. در شکل(۳)،بخشی از جریان هارمونیکی  $I_h$  به طرف شبکه جاری و در رآکتانس‌های  $X_1, X_2, \dots$  (خط، ترانسفورمر) افت ولتاژ  $V_h$  را ایجاد می‌کند. با اضافه شدن  $V_h$  به ولتاژ بات  $V_1$ ، ولتاژ بات  $V_3$  غیر سینوسی می‌گردد بهطوری که بیشترین اعوجاج در بات  $V_3$  پدید می‌آید. میزان تغییر فرم ولتاژ به حاصل ضرب جریان و امپدانس شبکه بستگی دارد و از آنجا که جریان توسط بار هارمونیکزا و بهمیزان معینی تولید می‌شود، لذا کنترل ولتاژ هارمونیکی سیستم توسط امپدانس شبکه صورت می‌گیرد و بایستی در طراحی سیستم بدان پرداخته شود. بطور کلی، کنترل جریان هارمونیکی توسط مصرف کننده (بار هارمونیکزا) و کنترل ولتاژ هارمونیکی توسط شبکه صورت می‌گیرد.



**شکل ۳: نحوه تولید ولتاژ هارمونیکی**

#### ۷- محاسبات هارمونیکی

در محاسبات هارمونیکی میزان اعوجاج ولتاژ در بات‌ها، اعوجاج جریان در فیدرهای، مقادیر موثر جریان و ولتاژ و ظرفیت خازن اصلاح ضریب قدرت تعیین می‌گردد. برای مدار سیار ساده که یک نمونه آن در مثال ۱ ارائه شده، می‌توان از محاسبات دستی استفاده نمود ولی برای مدارهای پیچیده بایستی از نرمافزار مخصوص استفاده بعمل آید. بطور کلی مطالعه هارمونیکی در مواردی صورت می‌گیرد که قدرت اتصال کوتاه  $S_f$  کمتر از ۲۰ الی ۳۰ برابر توان بارهای غیرخطی باشد.

امپدانس مدار بر حسب متغیر فرکانس را مشخصه فرکانسی<sup>۱</sup> می‌نامند که در مطالعات هارمونیکی از اهمیت خاصی برخوردار است. در تشید سری، ولتاژ در المان‌های  $C, L$  به مراتب بزرگتر از ولتاژ کل مدار است.

#### ۵- ۲-۱۳-۵- تشید موازی

در شکل (۲) از دید منبع هارمونیکزا، رآکتانس‌های خازن و ترانس به صورت پارالل ظاهر می‌شوند. در مدار موازی با افزایش فرکانس، مقدار امپدانس مدار افزایش یافته و در فرکانس تشید به حداقل مقدار می‌رسد و سبب ایجاد اضافه ولتاژ در المان‌ها می‌گردد. فرکانس تشید موازی مشابه تشید سری است که به صورت ذیل نیز بیان می‌شود:

$$f_r = f_1 \sqrt{X_C/X_L} = \sqrt{S_f}/Q_C$$

قدر اتصال کوتاه در محل  $Q_C$  ظرفیت بانک خازنی است.  $X_C$  رآکتانس ترانسفورمر و شبکه، و  $X_L$  خازن گسترده خطوط انتقال را نیز در بر می‌گیرد.

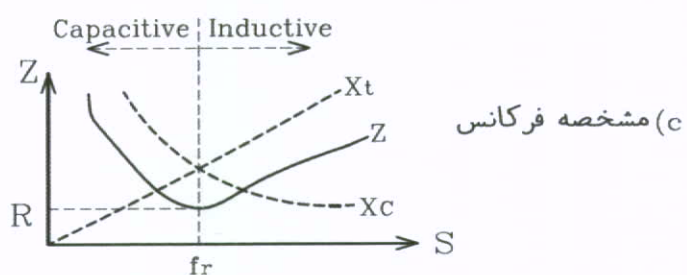
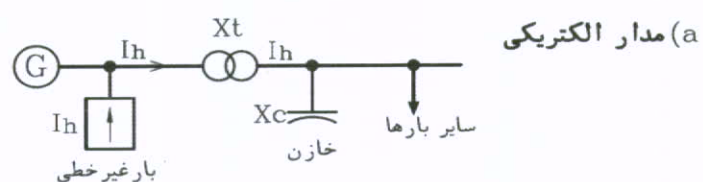
#### ۶- مطالعات هارمونیکی

در مطالعات هارمونیکی، پارامترهایی نظیر اعوجاج، مقادیر موثر کمیت‌های جریان و ولتاژ، و تلف هارمونیکی تعیین می‌شود. این مطالعات در حالت کلی توسط نرمافزار صورت می‌گیرد و فقط برای مدارهای بسیار ساده، که دو نمونه آن در بند ۷ ارائه شده، می‌توان از محاسبات دستی استفاده نمود.

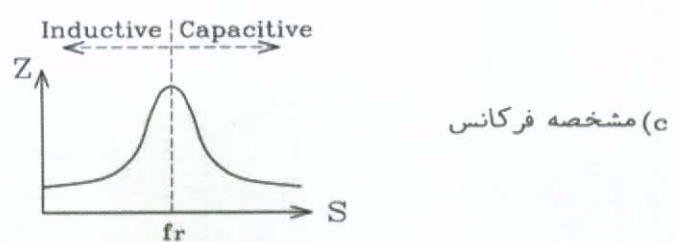
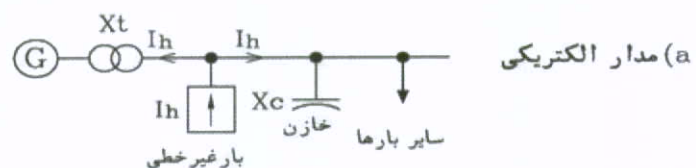
#### ۶-۱- مسیر جریان هارمونیکی

جریان هارمونیکی ایجاد شده توسط بار غیرخطی به طرف مسیر با کمترین امپدانس جاری می‌شود. امپدانس شبکه که شامل امپدانس خط و کابل و ترانس‌های موجود تا محل منبع تغذیه می‌باشد، به مرتب کمتر از امپدانس مسیرهای موازی ایجاد شده توسط مصرف کننده‌ها می‌باشد و لذا بخش عمداتی از این جریان‌ها جذب شبکه می‌شوند. در صورت وجود خازن، جریان هارمونیک‌های درجه بالا بطرف خازن، که امپدانس کمتری در فرکانس‌های بالا دارد، جاری می‌شوند. به هر حال توزیع





شکل ۱: تشید سری



شکل ۲: تشید موازی



#### ۴- تعیین مقادیر مؤثر کمیات خازن:

$$I_{\text{eff}} = \sqrt{I_1^2 + I_5^2} = 554.5 \text{ A}$$

$$I_1 = (V / \sqrt{3}) / (X_C - X_L) = 438.7 \text{ A}$$

$$I_5 = 0.3 I_n = 0.3 [P_L / (\sqrt{3} V)] = 339.2 \text{ A}$$

$$V_{\text{eff}} = \sqrt{V_1^2 + V_5^2} = 508.5 \text{ V}$$

$$V_1 = \sqrt{3} \cdot I_1 \cdot X_C = 502.6 \text{ V}$$

$$V_5 = \sqrt{3} \cdot I_5 \cdot (X_C / h) = 77.3 \text{ V}$$

$$V_{\text{peak}} = V_1 + V_5 = 580 \text{ V}$$

$$Q_{\text{Ceff}} = \sqrt{3} \cdot I_{\text{eff}} \cdot V_{\text{eff}} = 490 \text{ KVar}$$

#### ۵- مقایسه نتایج محاسبات با مقادیر مجاز

مقادیر مجاز چهار کمیت مربوط به خازن در استاندارد IEEE Std. 18 تعیین شده که در جدول شماره (۵) ارائه گردیده است.

با توجه به اینکه با انتخاب  $Q_C = 350 \text{ KVar}$ , برخی از کمیات از حد مجاز بیشترند، با افزایش  $Q_C$  به ۴۰۰، ۴۰۰ KVar، کمیت ها در حد مجاز قرار گرفته اند.

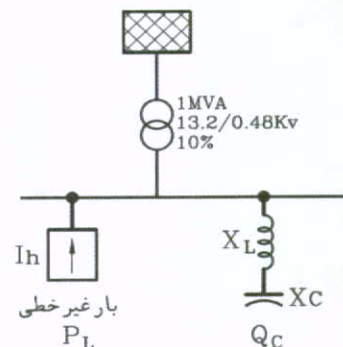
جدول ۵

|                             | $Q_C = 350 \text{ KVar}$<br>$I_n = 421 \text{ A}$ | مقادیر مجاز | $Q_C = 400 \text{ KVar}$<br>$I_n = 481 \text{ A}$ |
|-----------------------------|---|-------------|---|
| 100 (Ieff/I <sub>n</sub> )  | 132%  | 180%        | 125.8%  |
| 100 (Veff/V <sub>n</sub> )  | 106%  | 110%        | 105%  |
| 100 (Vpeak/V <sub>n</sub> ) | 121%  | 120%        | 118%  |
| 100 (Qeff/Q <sub>n</sub> )  | 140%  | 135%        | 132%  |

مثال ۲: در این نحوه محاسبه میزان اعوجاج ولتاژ باس برای هر یک از هارمونیکها ارائه می شود. مشابه شکل ۴ بار هارمونیک زای  $P_L = 240 \text{ KW}$  با ضریب قدرت ۰.۸ و خازن  $Q_C = 160 \text{ KVA}$  از باس ۴۰۰ ولت تغذیه می شوند. مشخصات ترانس  $10/0.4 \text{ KV}$ ،  $0.6\% \text{ رانس}$  و  $1 \text{ MVA}$  میزان هارمونیک های جریان مبدل به شرح ذیل است:

| h  | 1   | 5  | 7    | 11  | 13  | 17  | 19  |
|----|-----|----|------|-----|-----|-----|-----|
| I% | 100 | 20 | 14.3 | 9.1 | 7.7 | 5.9 | 5.3 |

مثال ۱: طبق شکل ۴ بار غیر خطی  $P_L = 940 \text{ kw}$  با ضریب قدرت ۰.۸۲ از باس ۴۸۰ ولت تغذیه شده و جریان هارمونیک پنجم  $I_5 = 0.3 I_n$  را تولید می کند، با محاسبات ذیل برخی از ویژگی های مطالعات هارمونیک مشخص می گردد:



شکل ۴: مدار الکتریکی مثال ۱

- ۱- تعیین ظرفیت خازن جهت افزایش ضریب

قدرت به مقدار ۰.۹۵

$$Q_C = P_L (\tan \phi_1 - \tan \phi_2) = 940 [\tan(\cos^{-1} 0.82) - \tan(\cos^{-1} 0.95)] = 347 \text{ KVA}_T (\approx 350 \text{ KVA}_T)$$

- ۲- تعیین فرکانس تشدید:

$$f_R = f \sqrt{S_f / Q_C} = 267 \text{ Hz} (h=5.35)$$

$$S_f = St / U_k = 1 / 0.1 = 10 \text{ MVA}$$

$$SCR = I_{SC} / I_L = S_f / P_L = 10.2 < 20$$

ضریب بزرگی شبکه است و مقیاسی برای شبکه است. برای مقادیر کوچکتر از ۲۰، استفاده از فیلتر لازم است.

- ۳- تعیین فیلتر برای خنثی کردن هارمونیک پنجم

جریان:

فیلتر انتخاب شده یک سلف  $X_L$  سری شده با خازن است

و در هارمونیک پنجم تشدید ایجاد می کند:

راکتانس خازن در هارمونیک اصلی:

$$X_C = V^2 / Q_C = 0.658 \Omega$$

راکتانس سلف در هارمونیک اصلی :

$$X_L = X_C / h^2 = 0.0263 \Omega$$

که از رابطه  $X_L = X_C / h$  به دست آمده است.



نتایج محاسبات در جدول(۶) ارائه شده که برای آن از معاملات ذیل استفاده گردیده است:

|   |     |                            |
|---|-----|----------------------------|
| $X_h = (X_T \cdot X_C) / (X_T + X_C)$                           | [Ω] | رآکتانس مدار موازی         |
| $X_t = [(U_k \cdot V^2) / S_t] \cdot h$                         | [Ω] | رآکتانس ترانسفورمر         |
| $X_C = [V^2 / h \cdot Q_C]$                                     | [Ω] | رآکتانس خازن               |
| $V_h = \sqrt{3} \cdot I_h \cdot X_h$                            | [V] | ولتاژ بس                   |
| $I_h = I \% [P_L / (\sqrt{3} \cdot V \cdot \cos \phi)]$         | [A] | جریان هارمونیکی بار        |
| $IHD_u = 100 (V_h / V_1)$                                       | [%] | فاکتور اعوجاج تکی ولتاژ بس |
| $THD_u = 100 \left( \sqrt{\sum_{n=2}^{19} V_n^2} \right) = 9.8$ | [%] | فاکتور اعوجاج کلی ولتاژ بس |
| $I_c = (V_h / \sqrt{3}) / X_C$                                  | [A] | جریان خازن                 |
| $I_c(\text{eff}) = \sqrt{\sum_{n=1}^{19} I_n^2} = 344$          | [A] | جریان موثر خازن            |

جدول (۶): محاسبات مثال ۲

| <b>h</b>  | <b>X<sub>t</sub></b> | <b>X<sub>C</sub></b> | <b>X<sub>h</sub></b> | <b>I<sub>h</sub></b> | <b>V<sub>h</sub></b> | <b>IHD<sub>u</sub></b> | <b>I<sub>c</sub></b> |
|-----------|----------------------|----------------------|----------------------|----------------------|----------------------|------------------------|----------------------|
| <b>1</b>  | 0.01                 | -1.0                 | 0.01                 | 433                  | -                    | -                      | 231                  |
| <b>5</b>  | 0.048                | -0.2                 | 0.064                | 87                   | 10                   | 2.4                    | 29                   |
| <b>7</b>  | 0.067                | -0.143               | 0.127                | 62                   | 14                   | 3.4                    | 57                   |
| <b>11</b> | 0.106                | -0.091               | 0.49                 | 39                   | 33                   | 8.3                    | 209                  |
| <b>13</b> | 0.125                | -0.077               | 0.092                | 33                   | 11                   | 2.8                    | 83                   |
| <b>17</b> | 0.163                | -0.059               | 0.091                | 25                   | 4.0                  | 1.0                    | 39                   |
| <b>19</b> | 0.182                | 0.053                | 0.073                | 23                   | 0.7                  | 0.7                    | 32.5                 |

#### نتیجه

- ۱- پدیده تشذید موازی در حدود هارمونیک یازدهم ایجاد می‌شود و رآکتانس مدار موازی به حداقل مقدار می‌رسد.
- ۲- در فرکانس تشذید، جریان خازن به 209 آمپر می‌رسد که حدود 90% جریان اسمی خازن است در حالیکه جریان هارمونیک یازدهم در بار غیر خطی برابر ۳۹ آمپر است.
- ۳- حداقل فاکتور اعوجاج تکی ولتاژ بس برابر 8.3% و فاکتور اعوجاج کلی برابر 9.8 درصد است که هر دو از مقادیر مجاز (بند ۱-۴) بیشترند.
- ۴- مقدار موثر جریان خازن 334 آمپر است که اضافه بار 44% را نشان می‌دهد.



### مراجع:

- 1- IEEE Std. 141 Elec. Power Distr. for Industrial Plants
- 2- IEEE Std. 241 Elec. Power Sys. In Commercial Buildings
- 3- IEEE Std.399,Industrial Power Sys. Analysis
- 4- IEEE Std. 519, Harmonic Control In Elec. Power Sys.
- 5- IEC 61642, Industrial AC Network Affected by Harmonics
- 6- Electrical Power Sys. Quality, by Dugan
- 7- Handbook of Power Quality , by A.Baggini
- 8- Power Quality Primer, by Kennedy
- 9- Power Sys. Harmonics, by Acha

### -۸- کاهش هارمونیک

جهت حذف هارمونیک از راهکارهای ذیل استفاده می شود:  
اصلاح ساختار بارهای غیرخطی، استفاده از فیلتر، استفاده از ترانسفورمر ایزوله

### ۱-۸- اصلاح ساختار

بسته به نوع بار غیرخطی، میتوان هارمونیک را با تغییراتی در ساختار و فن آوری، کاهش داد. استفاده از سلف در بخش DC یا AC یک کانوئرتر، سبب کاهش هارمونیک می شود. همچنین افزایش تعداد پالس های کنورتر، کاهش هارمونیک را به همراه دارد.

### ۲- استفاده از فیلتر

دو نوع فیلتر فعال<sup>۱</sup> و غیرفعال<sup>۲</sup> وجود دارد که می توانند به صورت موازی یا سری در سیستم قرار گیرند. فیلتر غیرفعال موازی از المانهای سری شده L و C تشکیل شده به طوریکه یک مسیر با امپدانس ناچیز به هارمونیک مورد حذف ارائه داده و از ورود آن به شبکه جلوگیری می کند. فیلتر غیرفعال سری از المانهای L و C به صورت پارالل استفاده می کند که بین شبکه و بار قرار گرفته و امپدانس زیادی در برابر فرکانس مورد حذف ایجاد می کند و مانع عبور جریان هارمونیکی به شبکه می شود. این امپدانس برای فرکانس اصلی بسیار کم است تا خلی در انتقال قدرت به بار ایجاد نشود. فیلتر فعال از یک سیستم الکترونیکی قدرت استفاده می کند که موج جریان در خلاف جهت جریان هارمونیکی تولید نموده و سبب حذف آن می گردد. در فیلتر فعال سری، امپدانس فیلتر توسط سیستم الکترونیکی قدرت کنترل می شود.

### ۳-۸- استفاده از ترانسفورمر ایزوله

ترانسفورمر اتصال مثلث، مشابه فیلتر غیرفعال سری عمل کرده و مانع انتقال جریان هارمونیک سوم به شبکه می گردد. این جریان در مدار بسته سیم پیچ مثلث باقی می ماند. نتیجه مشابهی را اتصال زیگزاگ ترانسفورمر ارائه می دهد. در موردی که چند ترانسفورمر با گروه برداری متفاوت، بارهای غیر خطی را تغذیه کنند، برخی هارمونیک های آنها یکدیگر را خنثی می سازند (مرجع ۷).



# طراحی عایق بندی خط انتقال HVDC سمنان- اصفهان

علیرضا رئیسی

مدیر گروه تخصصی خطوط انتقال نیرو- SBU شبکه

کامران رضایی

کارشناس خطوط انتقال نیرو- SBU شبکه

## چکیده

هدف از ارائه این مقاله طراحی عایق بندی، تعیین فاصله بین دو قطب (بر فرض دو قطبی بودن سیستم) و سایر فواصل مجاز الکتریکی خط انتقال HVDC سمنان □ اصفهان می باشد. درنهایت با توجه به فواصل الکتریکی به دست آمده دیاگرام الکتریکی برج های آویزی ارائه می گردد.

خطوط HVDC تحت تاثیر ولتاژ های عملکرد ، اضافه ولتاژهای ناشی از صاعقه و اضافه ولتاژهای ناشی از خطاهای القابی(ناشی از کلید زنی) قرار دارند. اضافه ولتاژهای ناشی از صاعقه و اضافه ولتاژهای ناشی از خطاهای القابی، مبنای طول زنجیر مقره و فاصله هوایی می باشند. میزان آلودگی مسیر خط در ولتاژ عملکرد مبنایی برای به دست آوردن فاصله خزشی می باشد.

خطاهای القابی در سیستمهای DC عموماً از امواج کلید زنی (Switching) در سیستمهای AC کمتر است و این به علت خاصیت میرایی در ایستگاه مبدل (Converter) است.

اضافه ولتاژهای موقت یا slow - front معمولاً در سیستمهای HVDC حائز اهمیت نیستند. چنین اضافه ولتاژهای زودگذری معمولاً مختص به امواج القاء شده در قطب سالم هستند که به خاطر ایجاد خطای زمین در قطب دیگر سیستمهای polar p.u. وجود می آیند. این نوع اضافه ولتاژ معمولاً مقداری کمتر از ۱/۷ دارند که کمتر از مقدار اضافه ولتاژ معمول ناشی از switching سیستمهای AC می باشد.

اکثر اضافه ولتاژهای fast - front ناشی از صاعقه AC می باشند. عملکرد خطوط DC در این شرایط مشابه خطوط می باشد ولیکن طول زنجیری که برای ولتاژ عملکرد خط طراحی شده است در پی اضافه ولتاژهای ناشی از صاعقه هم عملکرد مطلوبی را تضمین خواهد کرد.

بنابر این با توجه به اضافه ولتاژهای fast front و slow front زنجیره مقره ای کوتاه تر از آنچه در خطوط AC لحاظ می گردد. پس برای تحمل ولتاژ عملکرد توسط زنجیر مقره میزان آلودگی تعیین کننده می باشد.

## ۲- محاسبات ایزولاسیون در ولتاژ عملکرد

ولتاژ عملکرد سیستم DC معادل ولتاژ Power Frequency سیستمهای AC می باشد. این ولتاژی است که به خط در شرایط

## ۱- مقدمه

مبناي محاسبات ایزولاسیون در خطوط انتقال HVDC مشابه خطوط انتقال AC می باشد. هرچند درجه اهمیت اضافه ولتاژهای متفاوت در خطوط HVDC با AC تفاوت دارد. ولتاژها به طور عموم بنا به پارامترهای متفاوتی طبقه بندی می شوند. این پارامترها شامل مدت زمان اثر ، سطح ولتاژ عملکرد و شکل اضافه ولتاژهای موثر بر روی عایق بندی تجهیزات می باشند. با توجه به این موارد ۶ کلاس برای ولتاژها و اضافه ولتاژهای موثر در سیستمهای انتقال تعریف می شود (IEC 60071-2):

- ولتاژهای دائم (عملکرد): ولتاژی که تحت شرایط عادی عملکرد به سیستم اعمال می شود.
- اضافه ولتاژهای موقت و گذرا: اضافه ولتاژهایی که ناشی از خطأ، عملیات کلید زنی (Switching) ، پدیده رزنанс، شرایط عملکرد غیر خطی (فرو رزنانس) می باشند.
- اضافه ولتاژهای slow - front : اضافه ولتاژهایی که ناشی از خطأ، عملیات کلید زنی (Switching) یا برخورد مستقیم صاعقه با هادی خطوط انتقال می باشند.
- اضافه ولتاژهای fast - front : اضافه ولتاژهایی که ناشی از خطأ، عملیات کلید زنی (Switching) یا برخورد صاعقه می باشند.
- اضافه ولتاژهای very- fast - front : اضافه ولتاژهایی که ناشی از خطأ ، عملیات کلید زنی (Switching) در پستهای GIS می باشند.
- اضافه ولتاژهای ترکیبی: اضافه ولتاژهایی که ممکن است ناشی از هر یک از موارد فوق باشد. این نوع اضافه ولتاژ مابین فازهای یک سیستم رخ می دهد (فاز به فاز) یا در طول یک فاز در نواحی مختلف سیستم.



شده زنجیر مقره می شوند( محلی که شدت میدان الکتریکی بیشتر است). توزیع اتفاقی آلودگی باعث توزیع غیر خطی ولتاژ در طول زنجیر مقره می گردد که کاهش ولتاژ دشارژ (تخلیه) را در پی خواهد داشت برای کاهش آلودگی مقره و بهبود توزیع آلودگی در طول زنجیر حلقه های پتانسیل ( potential grading rings ) ( در دو سر زنجیر نصب می گردد. میدان الکترو مغناطیس در اطراف مقره ها طوری تغییر می کند که گرادیان ولتاژ در سطح حلقه بیشتر باشد و در نتیجه ذرات به جای اینکه جذب مقره شوند جذب آن حلقه می گردد. کاهش آلودگی با استفاده از حلقه های جمع کننده ( collector rings ) در قطب مثبت بیشتر از قطب منفی است. همچنین تاثیر حلقه ها بر آلودگی سطوح زیری مقره ها بیشتر از سطوح بالایی می باشد. جدول (1) مقدار فاصله خزشی مورد نیاز را طبق استاندارد IEC60815 برای سطوح مختلف آلودگی نشان می دهد. باید در نظر داشت که فاصله خزشی در حالت DC  $\frac{7}{3}$  برابر به اضافه ۰.۵ می باشد. علت این است که فواصل مورد نیاز طبق استاندارد IEC60815 برای ولتاژ فاز به فاز منظور گردیده است. از آنجاییکه که ولتاژهای نامی خط DC ( ولتاژ قطب مثبت یا قطب منفی ) هم از با ولتاژ فاز به زمین خطوط AC می باشند ضریب  $\frac{7}{3}$  برای این تبدیل به کار رفته است. همچنین به دلیل حساسیت بالای خطوط DC نسبت به آلودگی، ولتاژ قطبها ۰.۵ بالاتر در نظر گرفته شده است.

عادی اعمال می شود. ملاحظات آلودگی در این ولتاژ بررسی خواهد شد. میزان تجمع آلودگی روی خطوط HVDC چندین برابر بیشتر از خطوط AC است. بنابر این در طراحی مقره ها، میزان آلودگی به مراتب برای مقره های DC از مقره های AC بیشتر است. (حتی ۱۰ تا ۱۰۰ برابر بیشتر). استفاده از مقره های با فاصله خزشی زیاد برای کوتاه کردن طول زنجیر مقره باید مد نظر قرار گیرد. با توجه به زیاد بودن اثر آلودگی، مقره های pin ضد مه که نسبت فاصله خزشی به ارتفاع آنها در محدوده ۲/۸ تا ۳/۲ می باشد برای خطوط HVDC بسیار مناسب می باشند. همچنین مقره های Composite ضد آب نیز گزینه HVDC مناسبی هستند. قابلیت شستشوی طبیعی در خطوط HVDC بسیار اهمیت دارد. چگالی جریان نشتی در نزدیکی گیره (pin) مقره cap and pin از نقاط دیگر بیشتر است و سبب خشک ماندن آن محدوده می گردد. در این منطقه گرادیان ولتاژ سطحی بسیار بالاست. استفاده از نوار zinc در اطراف گیره (pin) به عنوان الکترود راه حل مناسبی است. تراکنش بین ذرات معلق در هوا در اطراف زنجیر مقره باعث توزیع غیر خطی آلودگی در طول زنجیره مقره می شود. این نیروها با توجه به نیروی باد و نیروهای الکتریکی ناشی از شارژ و دشارژ ذرات در یک میدان الکتریکی غیر متقارن به وجود می آیند. بنابر این تحت تاثیر یک میدان الکتریکی نامتنازن، ذرات شارژ شده و حتی شارژ نشده در اطراف زنجیر مقره به حرکت و اداسته می شوند و جذب دو سر برق دار و زمین

جدول (1): سطوح آلودگی و حداقل فاصله خزشی توصیه شده بر اساس استاندارد IEC 60 071-2 و IEC 60 071-15

| سطح آلودگی | توضیحات   | حداقل فاصله خزشی mm/kV | حداقل فاصله خزشی mm/kV | حداقل فاصله DC mm/kV |
|------------|---|------------------------|------------------------|----------------------|
| سبک        | - مناطق غیر صنعتی با تعداد اندک خانه های مجهز به سیستم گرمایی<br>- مناطقی با چگالی صنعتی و خانه های کم ولی تحت تاثیر بادهای متناوب / یا باران<br>- مناطق کشاورزی<br>- مناطق کوهستانی  | ۳۰                     | ۱۶                     |                      |
| متوسط      | - مناطق صنعتی که دودهای آلوده تولید نمی کنند / چگالی خانه های مجهز به سیستم گرمایی در آنها متوسط است<br>- مناطقی با چگالی صنعتی و خانه های زیاد ولی تحت تاثیر بادهای متناوب / یا باران<br>- مناطق متأثر از وزش باد از سمت دریا که خیلی به ساحل نزدیک نیستند (حداقل چند کیلومتر فاصله دارند) | ۴۰                     | ۲۰                     |                      |
| سنگین      | - مناطقی با چگالی صنعتی زیاد و حومه شهرهای بزرگ با خانه های مجهز به سیستم گرمایی که آلودگی تولید می کنند<br>- مناطق نزدیک دریا یا تحت تاثیر بادهای شدید از سمت دریا   | ۵۰                     | ۲۵                     |                      |
| فوق سنگین  | - مناطقی که به طور متوسط تحت تاثیر گرد و غبار هدایت کننده و دودهای صنعتی که قوی آلوده کننده از سمت دریا می باشد<br>- مناطقی که عموماً خیلی نزدیک به ساحلی هستند که تحت تاثیر ذرات آب دریا و یا بادهای ماسه و نمک هستند  | ۷۰                     | ۳۱                     |                      |



در صورت استفاده از مقره های کامپوزیت متعارف نیز به طولهای مشابه دست می یابیم، هرچند با توجه به آلودگی منطقه استفاده از مقره های کامپوزیت توصیه می گردد. در این پژوهه باید سعی شود مقره هایی مورد استفاده قرار گیرند که فاصله خوشی حداقل را باکمترین طول (کمترین ارتفاع واحد مقره) دارند. شکل زیر آرایش زنجیره مقره ها را نشان می دهد.

### ۳- ملاحظات کلیدزنی:

اضافه و لتاژ های ناشی از عملیات کلیدزنی در یک سیستم HVDC هم در بخش DC و هم در بخش AC روی می دهند. در طرف AC اضافه و لتاژ های ناشی از عملیات کلید زنی زیر می باشد:

- برقرار شدن خط
- بسته شدن مجدد خط
- مردود شدن بار
- اعمال خطا
- برطرف کردن خطا
- کلیدزنی بار راکتیو

در سمت AC کلیه اضافه و لتاژ های ناشی از عملیات کلید زنی باید مورد توجه قرار گیرند. در طرف DC نیز کلیه اضافه و لتاژ های ذکر شده فوق در طراحی عایق بندی ایستگاه مبدل مورد توجه قرار می گیرند. با استفاده از surge arrester ها اضافه و لتاژ ها به مقادیر مربوط به حداقل سطح و لتاژ های arrester محدود می شوند. توانایی دشارژ قرار گیری دار طبقات مطالعات اضافه و لتاژ تجهیزات مورد بررسی قرار گیرد. از دیدگاه خط انتقال DC تنها اضافه و لتاژ های خطا از بین امواج کلیدزنی قابل توجه می باشند. سایر موارد قابل توجه نیستند؛ چراکه برای مثال در هنگام برقرار شدن خط و بسته شدن مجدد خط و لتاژ DC به آرامی و با شیب کم افزایش می یابد و در فرآیند بسته شدن مجدد، عملیات بی برق شدن موجب از بین رفتن شارژ باقیمانده می شود. همچنین مردود شدن بار عموماً اضافه باری به طرف DC منتقل نمی کند و کلید زنی راکتیو بار (کلیدزنی فیلتر DC) نیز سبب اضافه و لتاژ نمی گردد.

با توجه به اینکه مسیر خط انتقال HVDC سمنان اصفهان از مناطقی عبور می کند که دارای خاکی با چگالی نمک بالا هستند و همچنین تحت تاثیر وزش بادهایی می باشند که از سمت دریاچه های نمک می آیند، کلاس آلودگی برای این پژوهه باید کلاس فوق سنگین در نظر گرفته شود. بنابراین مطابق جدول فوق برای خط DC فاصله خوشی  $70 \text{ mm/kV}$  در نظر گرفته می شود. در صورتیکه از آرایش V برای مقره های آویزی استفاده شود این مقدار فاصله خوشی مورد نیاز می تواند تا  $10\% / \text{kA}$  از یابد. هرچند در این طراحی این مقدار را به عنوان حاشیه ایمنی در نظر گرفته و فاصله خوشی مطلوب را همان  $70 \text{ mm/kV}$  در نظر می گیریم. همچنین به علت خاصیت خود شستشویی زنجیر مقره های V شکل در باران، در این پژوهه از این نوع آرایش استفاده می شود (این امر مزیت جلوگیری از انحراف زنجیر مقره بر اثر باد را نیز در پی خواهد داشت). اگر و لتاژ خط را  $\pm 500 \text{ کیلوولت}$  در نظر بگیریم، فاصله خوشی کل مورد نیاز برابر با:

$$70 * 5000 = 35000 \text{ mm}$$

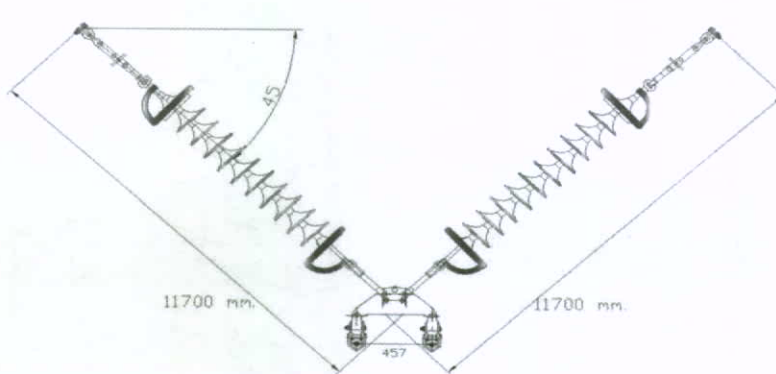
خواهد بود. در صورتیکه از مقره های ضد مه سرامیکی یا شیشه ای استفاده کنیم که ارتفاع واحد مقره آن  $165 \text{ میلیمتر}$  و فاصله خوشی هر واحد مقره  $50.8 \text{ میلیمتر}$  باشد تعداد مقره های مورد نیاز و طول مقره به صورت زیر محاسبه می شود:

$$35000 \div 50.8 = 681/9$$

يعنى  $69$  واحد مقره با فاصله خوشی فوق لازم است. بنابراین طول کل مقره برابر است با:  $11385 \text{ m} = 11\frac{1}{3}\text{mm}$   
 $165 * 69 = 11385 \text{ m}$   
 که اگر  $40 \text{ سانتیمتر}$  طول یراق آلات را نیز به آن اضافه کنیم طول زنجیر به حدود  $11/7$  خواهد رسید.

اگر و لتاژ خط را  $\pm 400 \text{ کیلوولت}$  در نظر بگیریم، فاصله خوشی کل برابر است با:  $28000 \text{ mm}$   
 $70 * 400 = 28000 \text{ mm}$   
 $28000 \div 50.8 = 551/1$   
 تعداد مقره های مورد نیاز :

يعنى  $56$  واحد مقره مورد نیاز است. که طول کل مقره برابر است  $165 * 56 = 9240 \text{ mm} = 9.24 \text{ m}$



شکل (۱): آرایش زنجیر مقره های آویزی از نوع V

### ۱-۳- تعیین اضافه ولتاژ موج کلید زنی از نوع خط

$$L=489 \text{ mH}, C=0/1 \text{ mF}$$

$$L=51/7 \text{ Mh}, C=0/3 \text{ mF}, R=467\Omega$$

یک فیلتر سری:  
یک فیلتر موازی:

د- ایستگاههای مبدل: همواره دو تایرستور آتش شده و جریان DC در سیم پیچهای ترانس جریان می یابد. به همین دلیل دو فاز از فازهای ترانس ترسیم شده است. برای مدل کردن ولتاژ یک ولتاژ AC کم فرکانس با فرکانس ۱ هرتز برای منابع در نظر گرفته شده است.

ه- خط انتقال DC: خط به هشت قسمت تقسیم شده است که هر قسمت به صورت خطی در نظر گرفته شده که تلفات موج سیر کننده در آن وجود ندارد. تلفات مقاومتی خط در انتهای هر قسمت مدل گردیده است. پارامترهای الکتریکی (مقاومت و اندوکتانس) به هر دو صورت وابسته به فرکانس و ثابت مدل گردیده است. پارامترهای خط به صورت زیر می باشند:

- توالی مشتبث:

$$R=0/0094 \Omega/\text{km}$$

$$L=0/98 \text{ mH/km}$$

$$C=12 \text{ nF/km}$$

- توالی صفر:

$$R_0=0/011 \Omega/\text{km}$$

$$L_0=3/61 \text{ mH/km}$$

$$C_0=10/5 \text{ nF/km}$$

در این بخش مهمترین اضافه ولتاژ موثر در طراحی عایق بندی یعنی موج کلیدزنی ناشی از بروز خطا بررسی می شود. اضافه ولتاژها توسط برنامه مدل کننده محاسبه می گردد. شکل زیر مدل سیستم HVDC استفاده شده برای محاسبات اضافه ولتاژ های ناشی از خط را نشان می دهد.

داده های سیستم مدل شده به صورت زیر می باشند:

الف- ژنراتور/ سیستم گیرنده به صورت توان اتصال کوتاه شده مدل می شوند و توان مورد نیاز را تأمین می کنند. برای مثال در یکی از مدلها ظرفیت‌های اتصال کوتاه به صورت زیر می باشند:

$$\bullet \quad 2300 \text{ MVA} \quad \text{برای اتصال کوتاه تک فاز}$$

$$\bullet \quad 2000 \text{ MVA} \quad \text{برای اتصال کوتاه سه فاز}$$

ب- ترانسفورماتورهای مبدل در هر دو ترمینال، معادل با یک ترانس در هر قطب با مشخصات زیر می باشد:

$$\text{- توان: } 1500 \text{ در هر قطب}$$

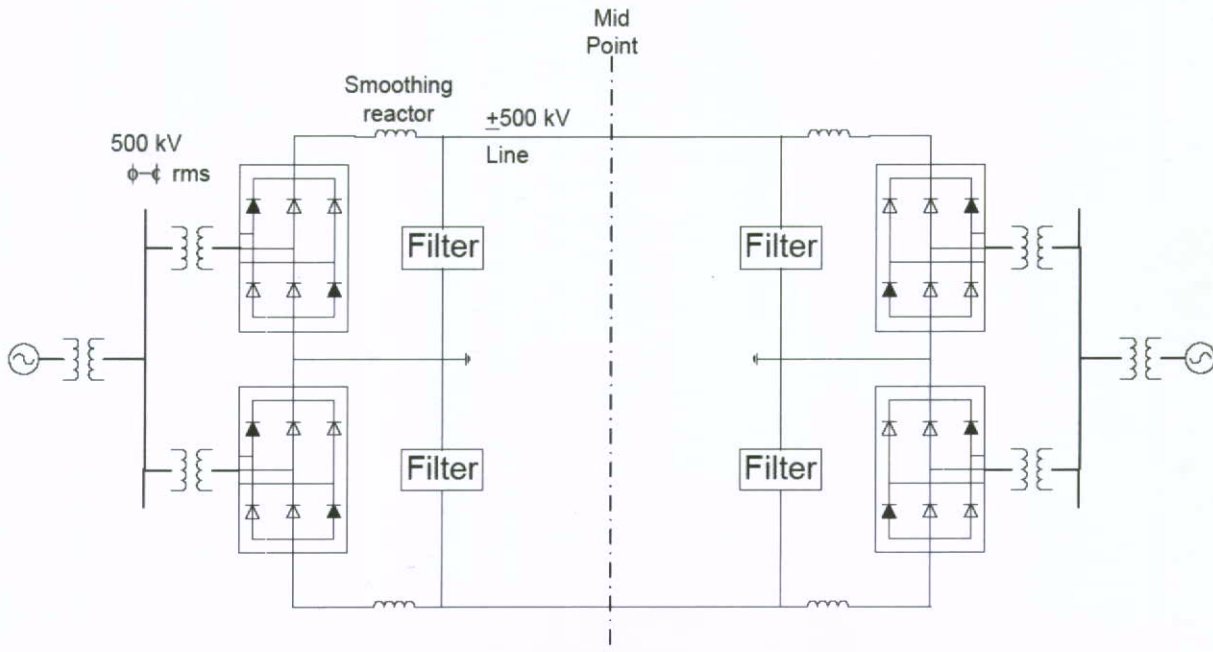
$$\text{- راکتانس: } X_{cc} = 0.18$$

$$\text{- نسبت تبدیل: } 500 / 370 / 2 \text{ kV}$$

ج- فیلترهای DC با مشخصات زیر:

$$200 \text{ mH}$$

د- فیلتر DC برابر در هر دو ترمینال که مرکب از دو شاخه هستند.

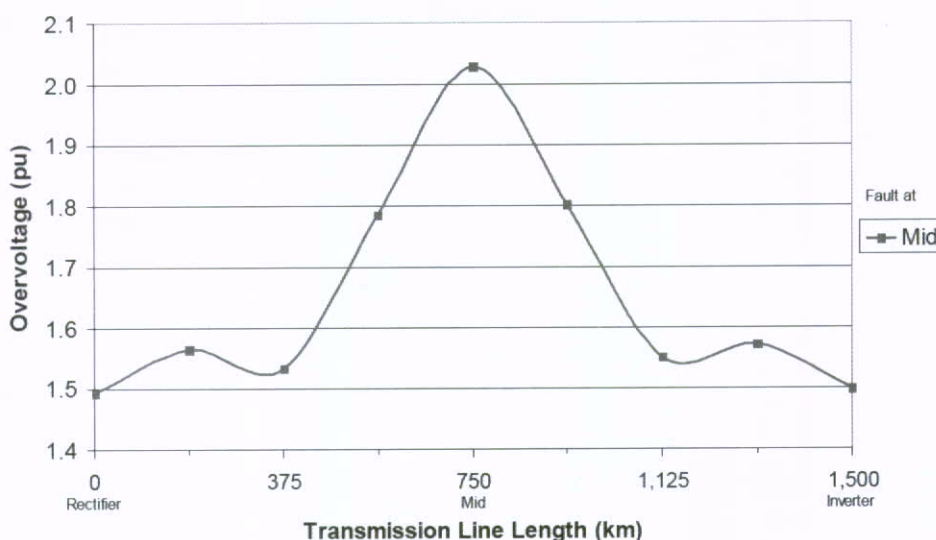


شکل (۲): مدل سیستم HVDC استفاده شده برای محاسبات اضافه ولتاژ های ناشی از خطی کلیدزنی

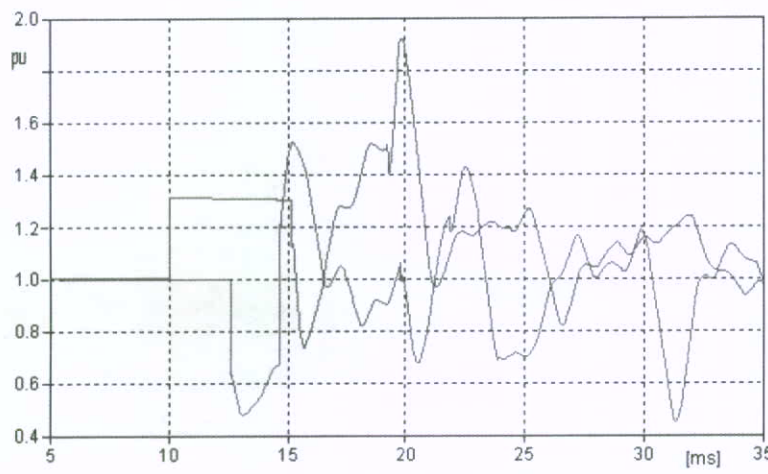


مستقل از فرکانس باشند(مدل Bergeron) شکل (۳) پروفیل حداکثر اضافه ولتاژ در قطب سالم را در صورت بروز خطا در نقطه وسط قطب دیگر نشان می دهد. با توجه به شکل (۳) حداکثر اضافه ولتاژ به  $20/3$  پریونیت می رسد و این در حالی است که  $25\%$  از طول خط دارای اضافه ولتاژ بالای  $1/8$  پریونیت می باشد (یعنی  $15\%$  کمتر از مقدار حداکثر). از طرفی انحراف استاندارد برای میزان تحمل عایق بندی در برابر موج کلید زنی  $7.6$  می باشد. بنابراین اضافه ولتاژ در قسمت اعظم خط کمکی به کاهش ریسک خطا نمی کند (چون  $9\%$  بیشتر از انحراف استاندارد است) و خط بر پایه مقدار حداکثر یعنی  $20/3$  پریونیت طراحی می شود. اگر خط را به قسمتهای متعددی تقسیم کنیم به نحوی که هر قسمت کسری از طول کل خط باشد ( $1/4, 1/8, \dots$ ) شکل (۴) پروفیل اضافه ولتاژ را در صورت بروز خطا در سایر نقاط خط نشان می دهد.

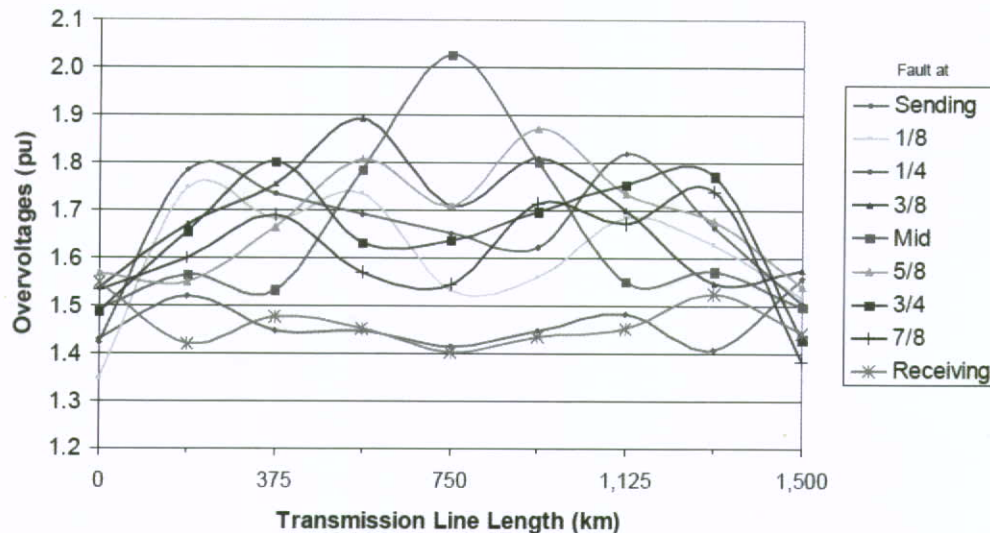
درهنگام شروع خطا در قطب منفی، یک موج مثبت که مقدار آن برابر با ولتاژ خطای اولیه است در نقطه بروز خطا تزریق می گردد. موج به وجود آمده در دو جهت به سمت دو انتهای خط منتگس شده و پس از انعکاس مجدداً به نقطه بروز خطا باز می گردد. موج سیار به قطب مثبت متصل گشته و موجب ایجاد اضافه ولتاژی می شود که مقدار آن بستگی به موجهای منتگس شده و ارسال شده دارد. حداکثر اضافه ولتاژ ناشی از خطا در وسط خط روی می دهد و زمان ماندگاری این اضافه ولتاژ برابر با زمانی است که طول می کشد تا موج به انتهای خط برسد و اولین انعکاس آن مجدداً به نقطه وسط خط بازگردد. بروز خطا در نقاط دیگر، اضافه ولتاژهای کمتری تولید می کنند. بین ترتیب پروفیل اضافه ولتاژ در طول خط، برای هر خطی با هر طولی مشابه است. اگر فرض کنیم طول خط  $1500$  کیلومتر و منابع در دو سر (رکتیفایر و اینورتر) برابر باشند و همچنین پارامترهای خط



شکل (۳) : پروفیل حداکثر اضافه ولتاژ در قطب سالم را در صورت بروز خطا در نقطه وسط قطب دیگر



شکل (۴) : نمودار ولتاژ - زمان در نقطه وسط و انتهایی قطب سالم در صورت بروز خطا در نقطه وسط قطب دیگر - قرمز: نقطه وسط و سبز: نقطه انتهایها



شکل (۵) : پروفیل اضافه ولتاژ در صورت بروز خطا در نقاط متفاوتی از خط

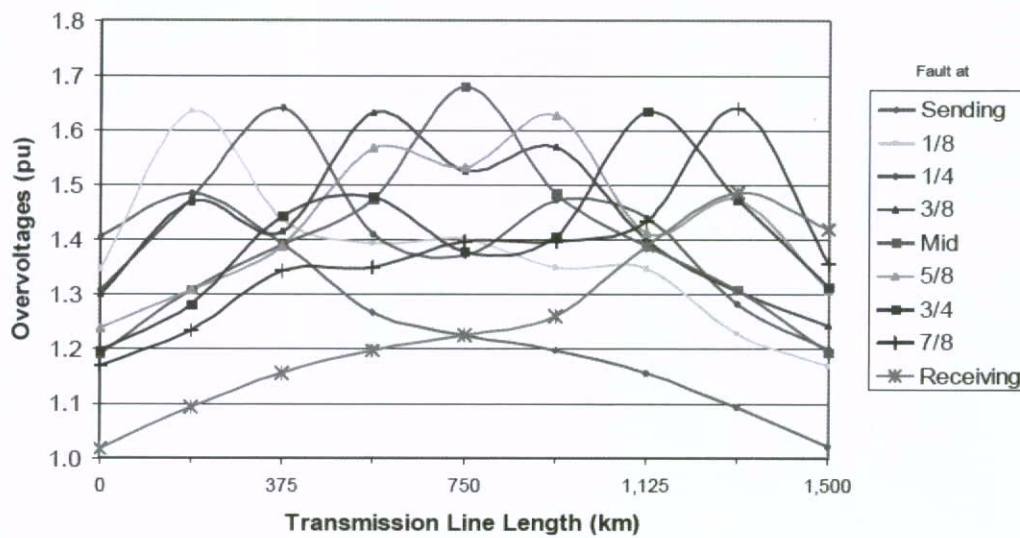
••• تنها خازن‌های مربوط به فیلتر DC در نظر گرفته می‌شود ولی منبعی در طرف گیرنده مورد استفاده قرار نمی‌گیرد.

••• تنها خازن‌های مربوط به فیلتر DC در نظر گرفته می‌شود و خط در طرف گیرنده باز در نظر گرفته می‌شود.

••• فیلتر DC در انتهای خط نصب نمی‌شود.  
••• در دو انتهای خط فیلتر در نظر گرفته می‌شود ولی فیلترها با هم برابر نیستند.

شکل (۶) نتایج را هنگامیکه پارامترهای خط به فرکانس وابسته هستند نشان می‌دهد (Marti J.).

مشاهده می‌شود که تعداد کمی از مقادیر بالای ۱/۸ پریونیت می‌باشد (خطا در ۳/۸ و ۵/۸ طول خط). بنابراین با در نظر گرفتن این مقادیر (که تعدادشان اندک می‌باشد) به عنوان اضافه ولتاژ مبنای طراحی، بازهم کمکی به کاهش ریسک خط نمی‌شود. برای اینکه حساسیت نتایج را نسبت به یک مدل عملی کاربردی به دست آوریم گزینه‌های زیر را به حالت اولیه اعمال می‌نماییم:  
••• تنها خازن مربوط به فیلترهای DC در دو انتهای در نظر گرفته شده و یک منبع ولتاژ در طرف گیرنده متصل می‌گردد.



شکل (۶) : پروفیل اضافه ولتاژ با پارامترهای وابسته به فرکانس

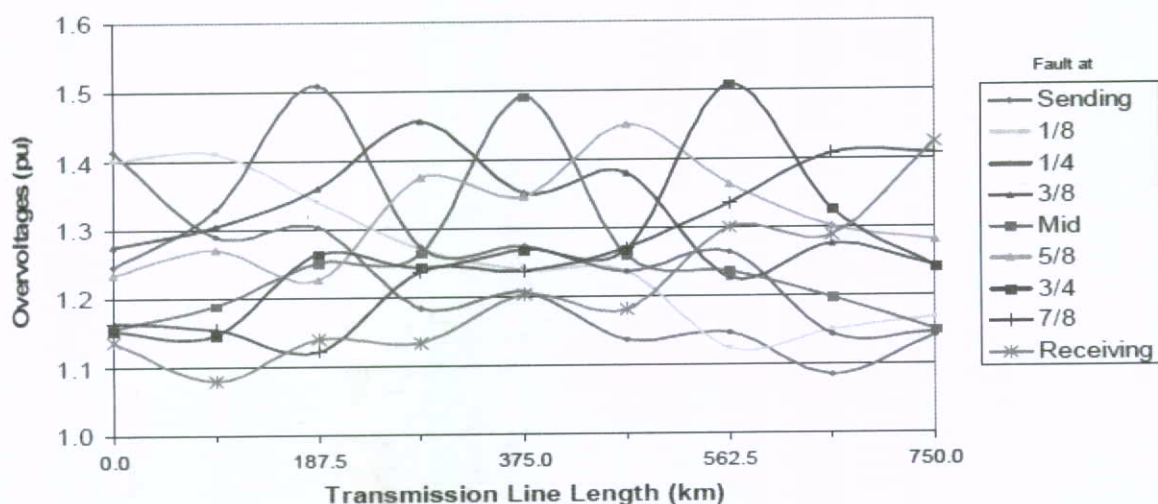


بود. جدول (۳) مقادیر حداکثر اضافه ولتاژها را برای طولهای مختلف بر حسب دو مدل Bergeron (پارامترهای خط مستقل از فرکانس) و J.Marti (پارامترهای خط وابسته به فرکانس) نشان می‌دهد با توجه به طول خط انتقال سمنان □ اصفهان که در حدود ۵۰۰ کیلومتر تخمین‌زده می‌شود، در نظر گرفتن اضافه ولتاژ  $1/4$  پریونیت برای محاسبات عایق بندی در برابر امواج کلیدزنی مناسب می‌باشد. (جدول ۳)

همانطور که در شکل (۶) مشاهده می‌شود وقتی که پارامترهای خط به صورت پارامترهای وابسته به فرکانس تعریف می‌شوند کلیه اضافه ولتاژها کمتر از  $1/7$  پریونیت می‌باشند. جدول (۲) مقادیر حداکثر اضافه ولتاژها را در یک قطب در حالیکه خط در وسط قطب دیگر به وجود آمده است نشان می‌دهد. اگر طول خط را ۷۵۰ کیلومتر در نظر بگیریم پروفیل اضافه ولتاژ مطابق شکل (۷) خواهد بود. مشاهده می‌شود که با کاهش طول خط اضافه ولتاژ نیز کاهش می‌یابد و حداکثر مقدار آن  $1/5$  پریونیت خواهد

جدول (۲): حساسیت نتایج - حداکثر اضافه ولتاژ در وسط یک قطب و خط در وسط قطب دیگر

| اضافه ولتاژ (p.u) |  |
|-------------------|--|
| ۲/۰۳              | حالات اولیه (مدل Bergeron)   |
| ۲/۱۹              | تنها خازن مربوط به فیلترهای DC در دو انتهای  |
| ۲/۰۳              | تنها خازن مربوط به فیلترهای DC در دو انتهای بدون در نظر گرفتن منبع ولتاژ در طرف گیرنده |
| ۲/۷               | بدون فیلتر DC  |
| ۱/۹۸              | فیلترهای نابرابر در دو انتهای  |
| ۱/۶۸              | مدلسازی خط با پارامترهای وابسته به فرکانس (J.Marti model)                              |



شکل (۷) پروفیل اضافه ولتاژ با پارامترهای وابسته به فرکانس برای خط ۷۵۰ کیلومتری

جدول(۳): اضافه ولتاژ ناشی از بروز خطاب بر حسب پریونیت

| J.Marti مدل | Bergeron مدل | طول خط (km) |
|-------------|--------------|-------------|
| ۱/۴         | ۱/۶۹         | ۵۰۰         |
| ۱/۵         | ۱/۸۲         | ۷۵۰         |
| ۱/۶۸        | ۲/۰۳         | ۱۵۰۰        |
| ۱/۷۸        | ۱/۹۸         | ۲۲۵۰        |
| ۱/۸۵        | ۲            | ۳۰۰         |

#### ۲-۳- محاسبه فاصله هوایی لازم

نظرمیگریم رابطه بین فاصله هوایی و ولتاژ بحرانی جرقه به صورت زیر است:

$$CFO = U_{50_D} = k \times 500 \times d^{0.6} \quad (Kv)$$

$U_{50}$  : ولتاژ بحرانی جرقه عایق بندی (با احتمال ۰.۵۰) بر حسب کیلو ولت.

$d$  : فاصله هوایی بر حسب متر.

$k$  : ضریب فاصله هوایی با توجه به جدول شماره ۴.  
معادله فوق برای موقعی است که  $d < 5m$  در صورتی که  $2 < d < 5m$  باشد از معادله جایگزین زیر استفاده می شود

$$U_{50} = k \frac{3400}{1 + 8/d}$$

اگر برای خط انتقال سمنان-اصفهان ولتاژ سیستم را  $\pm 500$  کیلوولت در نظر بگیریم، با ریسک خطای ۰/۵ درصدی (یک بار خطاب در طول ۲۰۰ سال) ناشی از اضافه ولتاژهای کلیدزنی، ولتاژ بحرانی جرقه با توجه به رابطه بین ریسک و ولتاژ بحرانی در ضریب  $2/13$  ضرب می شود:

$$\Rightarrow U_{50_D} = 2/13 * 500 = 106.5 \text{ kV}$$

برای اعمال اثر رطوبت و ارتفاع در فاصله هوایی ولتاژ بحرانی فوق با استفاده از روابط زیر در شرایط آب و هوایی مختلف محاسبه می گردد.

$$CFO_1 = CFO_2 (1 + K_f (f_1 - f_2)) \quad \text{اثر رطوبت}$$

$f_1, f_2$  میزان رطوبت خالص بر حسب  $\text{g/m}^3$  می باشند.

$K_f$  ضریبی است که بستگی به فاصله هوایی و چگالی هوا در ارتفاع از سطح زمین دارد.

$$CFO_\delta = \delta^n CFO$$

اثر چگالی هوا

$$\delta = \text{چگالی هوا}$$

$n$  = ضریب اصلاح وابسته به فاصله هوایی

مقاومت الکتریکی مقره ها در برابر اضافه ولتاژهای ناشی از عملیات کلید زنی (switching) بستگی به مقدار اضافه ولتاژ و شکل موج آن و همچنین به شکل فاصله هوایی (gap) و شرایط جوی دارد. در ارتباط با شکل موج مهمترین پارامتر زمان رسیدن موج به حداکثر مقدار خود (time to crest) می باشد. ولتاژ جرقه (flash over voltage) بسیار وابسته به شکل فاصله هوایی دارد. این اثر توسط ضریب فاصله هوایی (gap factor k) نشان داده می شود. با توجه به نتایج محاسبات اضافه ولتاژ در سیستم DC اضافه ولتاژهای ناشی از عملیات کلید زنی به مراتب کمتر از سیستم نرمال AC است. حتی در خطوط بسیار بلند هم اضافه ولتاژها به ندرت از ۱/۸ پریونیت تجاوز می کند. برای محاسبات ایزو ۱۲۶۷۰ خط سمنان اصفهان مقدار ولتاژ استرس ۱/۴ پریونیت و انحراف استاندارد از ولتاژ استرس را ۱۰٪ در نظر می گیریم.

$$(\sigma_s = 10\%)$$

جدول (۴): ضرایب فواصل هوایی بین اجزای مختلف برج و هادی

|          |  |
|----------|--|
| $k=1.15$ | conductor - plane                            |
| $k=1.3$  | Conductor-structure under                    |
| $k=1.35$ | structure (lateral or above)                 |
| $k=1.40$ | conductor - guy wires                        |
| $k=1.50$ | conductor-cross arms (with insulator string) |

در سیستم DC زمان تشخیص خطاب، تخلیه، بدی یونیزاسیون و شروع مجدد بین ۱۵۰ تا ۳۰۰ میکرو ثانیه است. بنابر این زمان رسیدن موج ولتاژ استرس به اوج را ۱۵۰ تا ۳۰۰ میکرو ثانیه در



#### ۴- عایق بندی در برابر صاعقه و تعیین زوایای حفاظت

نکات زیر در طراحی عایق بندی در برابر اضافه ولتاژهای ناشی از برخورد صاعقه باید موردنمود توجه قرار گیرند:

- جریان صاعقه برخوردی به قطب‌های سیستم نباید اضافه ولتاژی بیشتر از حد تحمل مقره‌ها تولید کند.
- هرچه سیمه‌های محافظه به هادی نزدیکتر باشند عملکرد خط در هنگام برخورد صاعقه بهتر است.
- مقاومت پای برج و امپدانس پای برج متضایل آن باید کم باشد. بنابراین سیستم اتصال زمین مناسب باید به کار رود.

اگر  $E$  توانایی تحمل پالس جرقه بحرانی برای امواج صاعقه باشد و  $Z$  نیز امپدانس موج هادی، جریان آستانه در هادی که از آن جریان به بالا جرقه ایجاد می‌شود برابر است با:

$$I_{OC} = \frac{2E}{Z}$$

فاصله حمله ( $r_{sc}$ ) برابر است با:

$$r_{sc} = k 6.7 I_{OC}^{0.8}$$

که  $k$  ضریبی غیر از ۱ است.

فاصله افقی بین هادی و سیم محافظ ( $X$ ) از رابطه زیر به دست می‌آید:

$$X = r_{sc} \left( \sqrt{1 - (k - T)^2} - \sqrt{1 - (1 - (k - R))^2} \right)$$

در صورتی که ارتفاع متوسط خط انتقال سمنان اصفهان را ۱۵۰۰ متر از سطح دریا فرض کنیم، مقادیر  $n$  و  $\delta$  با توجه به نمودار چگالی هوا ارتفاع و ضریب اصلاح فاصله هوایی بدست می‌آیند:

$$n = 0.16, \quad \delta^n = 0.1875$$

مقدار ضریب  $(I + Kf)(f1 - f2)$  با توجه به منحنی‌های رطوبت بر حسب ارتفاع از سطح زمین ۱/۰۵ در نظر گرفته می‌شود. بنابراین ولتاژ بحرانی و در نتیجه فاصله هوایی لازم برابر است با:

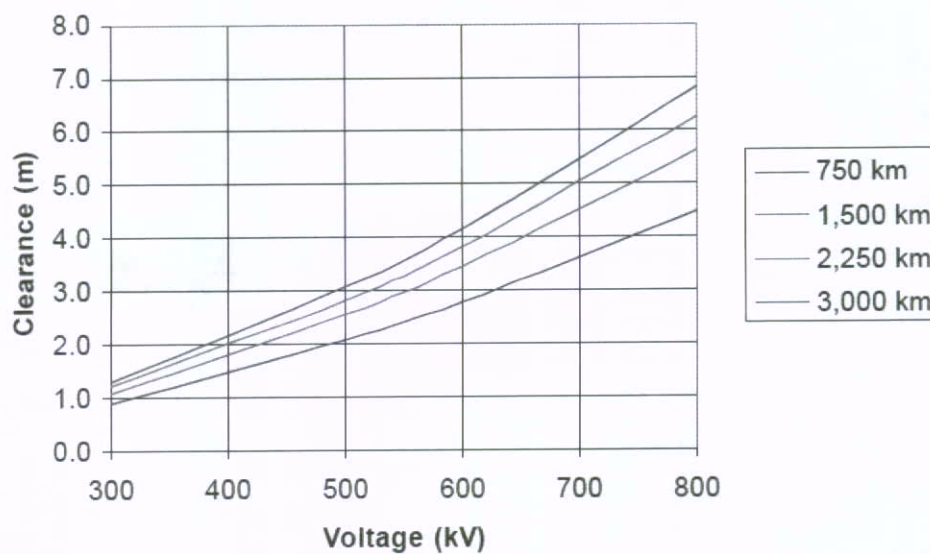
$$CFO_{final} = 130.4 \text{ kV} \Rightarrow d = 3.7 \text{ m}$$

اگر ولتاژ خط سمنان اصفهان را  $400 \pm 400$  کیلوولت فرض کنیم، فاصله لازم کاهش می‌یابد. ملاحظه می‌شود که با توجه به طراحی عایق بندی انجام شده در بخش ولتاژ عملکرد و ملاحظات آنودگی عملکرد انتخاب شده همواره فاصله هوایی لازم در محاسبات کلیدزنی را پوشش می‌دهد.

باید مذکور شد که فواصل مجاز بر پایه پروفیلهای کاربردی خطای اضافه ولتاژ و به کمک رسک (flashover failure) تعیین می‌گردد. (ضوابط طراحی) برای مثال امکان یک بار خاموشی در طول ۵۰ سال یا ۱۰۰ سال.

نمودارهای شکل (۸) زیر فاصله مجاز بین برج و هادی را بر حسب ولتاژهای متفاوت برای خطوطی با طولهای مختلف نشان می‌دهد. این نمودار بر مبنای رسک failure (سال ۱۵۰) می‌باشد.

#### Conductor-to-Tower



شکل (۸) تغییرات فاصله مجاز بین برج و هادی بر حسب ولتاژهای متفاوت برای خطوطی با طولهای مختلف (رسک ۱۵۰: ۰۰۲)

جدول (۵): ملزومات حفاظت در برابر صاعقه

| ولتاژ<br>(kV) | E<br>(kV) | hg<br>(m) | hp<br>(m) | ۲ سیم محافظ |            |          |                          | ۱ سیم محافظ |            |
|---------------|-----------|-----------|-----------|-------------|------------|----------|--------------------------|-------------|------------|
|               |           |           |           | Ioc<br>(kA) | rsc<br>(m) | X<br>(m) | زاویه<br>حفاظت<br>(درجه) | X<br>(m)    | PSM<br>(m) |
| ±۵۰۰          | ۳۰۰       | ۴۹/۶      | ۳۶/۸      | ۱۸/۹        | ۷۰/۲       | ۵/۴      | ۲۲                       | ۵           | ۱۱/۷       |

فاصله هوايی لازم برای عایق بندی در برابر صاعقه حدود ۳/۷ تا ۴ متر برای سطح ولتاژ  $\pm 500$  کیلوولت می باشد  
که طول انتخاب شده با توجه به ملاحظات آسودگی این فاصله را پوشش می دهد.

##### ۵- تعیین فاصله بین دو قطب

آرایش زنجیر مقره ها ممکن است به صورت I و یا V باشد. روش تعیین فاصله لازم بین دو قطب برای هر دو حالت به شرح زیر است.

##### ۵-۱- فاصله قطبها برای آرایش I زنجیر مقره ها در ولتاژ عملکرد

با توجه به تاثیر باد در انحراف زنجیر مقره های I، حداقل فاصله بین قطبها  $DP_{TO}$  از رابطه زیر به دست می آید:

$$DP_{TO} = (R + d \min + (L + R) \sin \theta) \times 2 + w$$

$d \min$  : فاصله مجاز در ولتاژ عملکرد با توجه به جدول

$L$  : طول زنجیر مقره

$\theta$  : زاویه انحراف در حالت باد گاست

$w$  : عرض برج در تراز هادی ، (با توجه به جدول ۷)

$$R = \frac{a}{2 \sin(\pi/N)} \quad R : \text{شعاع باندل}$$

$a$  : فاصله باندلی (معمولًا ۴۵ سانتیمتر)

$N$  : تعداد هادیها در باندل

$$T = h_g / r_{sc}$$

$$R = h_p / r_{sc}$$

$h_g$  : ارتفاع متوسط سیم محافظ بر حسب متر

$h_p$  : ارتفاع متوسط هادی بر حسب متر

$h_p$  و  $h_g$  بستگی به نوع زمین دارند (مسطح، کوهستانی و...).

زاویه حفاظت از رابطه زیر محاسبه می شود:

$$\theta = \arctan \frac{X}{(T - R)S}$$

$S$  فلش سیم می باشد.

حداکثر فاصله بین دو قطب با توجه به رابطه زیر کنترل می گردد:

$$PSM = 2X + w$$

$w$  عرض برج است و از جدول ۶ جایگزین می شود.

جدول (۶) نتایج محاسبات برای ولتاژ  $\pm 500$  کیلوولت را نشان می دهد:

جدول (۶): عرض برج فرض شده برلی ولتاژ های مختلف

جهت محاسبه فاصله قطبها

| عرض برج (m) | ولتاژ عملکرد (kV) |
|-------------|-------------------|
| ۱/۲         | ±۳۰۰              |
| ۱/۷         | ±۵۰۰              |
| ۲           | ±۶۰۰              |
| ۲/۵         | ±۸۰۰              |



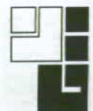
جدول (۷): زوایای انحراف مورد استفاده همراه با فواصل مجاز کلیدزنی در محاسبات فاصله قطبها ( $MCM = 5067$ )

| زاویه انحراف بر حسب درجه | MCM    | هادی ASCR |
|--------------------------|--------|-----------|
| ۱۳/۴                     | ۲۵۱۵   | Joree     |
| ۱۳/۸                     | ۲۳۱۲   | Thrasher  |
| ۱۴/۳                     | ۲۱۶۷   | Kiwi      |
| ۱۴/۶                     | ۲۰۳۴   | 2,034     |
| ۱۴/۵                     | ۱۷۸۰   | Chukar    |
| ۱۵/۳                     | ۱۵۹۰   | Lapwing   |
| ۱۵/۸                     | ۱۴۳۱   | Bobolink  |
| ۱۶/۱                     | ۱۳۵۱/۵ | Dipper    |
| ۱۶/۴                     | ۱۲۷۲   | Bittern   |
| ۱۷                       | ۱۱۱۳   | Bluejay   |
| ۱۷/۷                     | ۹۵۴    | Rail      |
| ۱۸/۶                     | ۷۵۹    | Tern      |

نتیجه محاسبات حداقل فاصله بین قطبها با آرایش I زنجیر مقره ها برای سطوح مختلف ولتاژ و هادیهای مختلف در جدول (۸) نشان داده شده است.

جدول (۸): فاصله قطبها با زنجیره I در ولتاژ عملکرد بر حسب متر

| فاصله قطبها (m) |              |              |              | سطح مقطع (MCM) | هادی ASCR |
|-----------------|--------------|--------------|--------------|----------------|-----------|
| $\pm 800$ kV    | $\pm 600$ kV | $\pm 500$ kV | $\pm 300$ kV |                |           |
| ۱۸/۸            | ۱۴/۶         | ۱۲/۵         | ۸/۲          | ۲۵۱۵           | Joree     |
| ۱۹/۱            | ۱۴/۸         | ۱۲/۶         | ۸/۳          | ۲۳۱۲           | Thrasher  |
| ۱۹/۳            | ۱۵           | ۱۲/۸         | ۸/۴          | ۲۱۶۷           | Kiwi      |
| ۱۹/۵            | ۱۵/۱         | ۱۲/۹         | ۸/۵          | ۲۰۳۴           | 2,034     |
| ۱۹/۵            | ۱۵/۱         | ۱۲/۹         | ۸/۵          | ۱۷۸۰           | Chukar    |
| ۱۹/۸            | ۱۵/۴         | ۱۳/۱         | ۸/۶          | ۱۵۹۰           | Lapwing   |
| ۲۰/۱            | ۱۵/۶         | ۱۳/۳         | ۸/۷          | ۱۴۳۱           | Bobolink  |
| ۲۰/۲            | ۱۵/۷         | ۱۳/۴         | ۸/۸          | ۱۳۵۱/۵         | Dipper    |
| ۲۰/۳            | ۱۵/۸         | ۱۳/۴         | ۸/۸          | ۱۲۷۲           | Bittern   |
| ۲۰/۶            | ۱۶           | ۱۳/۶         | ۸/۹          | ۱۱۱۳           | Bluejay   |
| ۲۰/۸            | ۱۶/۲         | ۱۳/۸         | ۹            | ۹۵۴            | Rail      |
| ۲۱/۱            | ۱۶/۴         | ۱۴           | ۹/۲          | ۷۵۹            | Tern      |



این فاصله برای ولتاژ  $\pm 400$  کیلوولت به  $14/76$  متر خواهد رسید.

#### ۶- دیاگرام الکتریکی برج

با توجه به آرایش زنجیر مقره های آویزی انتخابی برای پروژه سمنان □ اصفهان (شکل ۱) و همچنین حداقل فاصله لازم بین دو قطب و برای رسیدن به زوایای حفاظت مناسب، دیاگرام الکتریکی برج به صورت شکل زیر ارائه می گردد. باید مذکور شد که عرض برج جهت رعایت شدن ملزمومات باگذاری برج که مبحث آن خارج از این مقاله می باشد ۳ متر در نظر گرفته شده است. این طرح یک طرح اولیه است و امکان بهینه سازی طرح با توجه به قطعی شدن سطح ولتاژ پروژه سمنان □ اصفهان و تعیین هادی و سیمه های محافظ وجود دارد.

#### ۷- نتیجه گیری

معیار اصلی طراحی عایق بندی پروژه خط انتقال HVDC سمنان □ اصفهان میزان آلودگی منطقه می باشد. فواصل مجاز جهت حفاظت در برابر اضافه ولتاژ های ناشی از عملیات کلید زنی و صاعقه با توجه به طول زنجیر مقره ها پوشش داده می شوند. استفاده از مقره های کامپوزیت با فاصله خزشی بالا در واحد مقره و نسبت فاصله خزشی به ارتفاع بالا باید مد نظر قرار گیرد. استفاده از آرایش V زنجیر مقره ها موجب می شود از خاصیت خود شستشویی این مقره ها در باران برای کاهش آلودگی روی مقره ها استفاده شود و همچنین قابلیت اطمینان سیستم را در شرایط باد شدید افزایش می دهد. هر چند ملاحظات اقتصادی نیز باید در تعیین آرایش زنجیره مقره مورد توجه قرار گیرند.

۲-۵۵- فاصله قطبها برای آرایش I زنجیر مقره هادر حالت اضافه

#### ولتاژ کلیدزنی

حداقل فاصله لازم بین قطبها با در نظر گرفتن امواج کلیدزنی مشابه فاصله قطبها در ولتاژ عملکرد محاسبه می شود با این تفاوت که زوایای انحراف از جدول (۹) استخراج می گردد.

۳-۵- فاصله قطبها برای آرایش V زنجیر مقره ها در ولتاژ عملکرد

#### و در حالت اضافه ولتاژ کلیدزنی

در این حالت انحراف زنجیر مقره ناشی از وزش باد وجود ندارد، بنابراین فاصله الکتریکی مجاز برای عملیات کلیدزنی(Switching) تعیین کننده فاصله قطبها می باشد. حداقل فاصله لازم بین قطبها  $PS_{min}$  از رابطه زیر به دست می آید:

$$PS_{min} = 2 \times L \times \cos(45^\circ) + w$$

$w$  : عرض برج در تراز هادی ، با توجه به جدول ۶ فرض شده است که زاویه بین بازو های مقره V شکل ۹۰ درجه  $DP_{TO}$  می باشد. در غیر این صورت حداقل فاصله لازم بین قطبها از رابطه زیر به دست می آید:

$$DP_{TO} = (R + d \min) \times 2 + w$$

و این نشان میدهد که:

$$DP_{TO} > PS_{min}$$

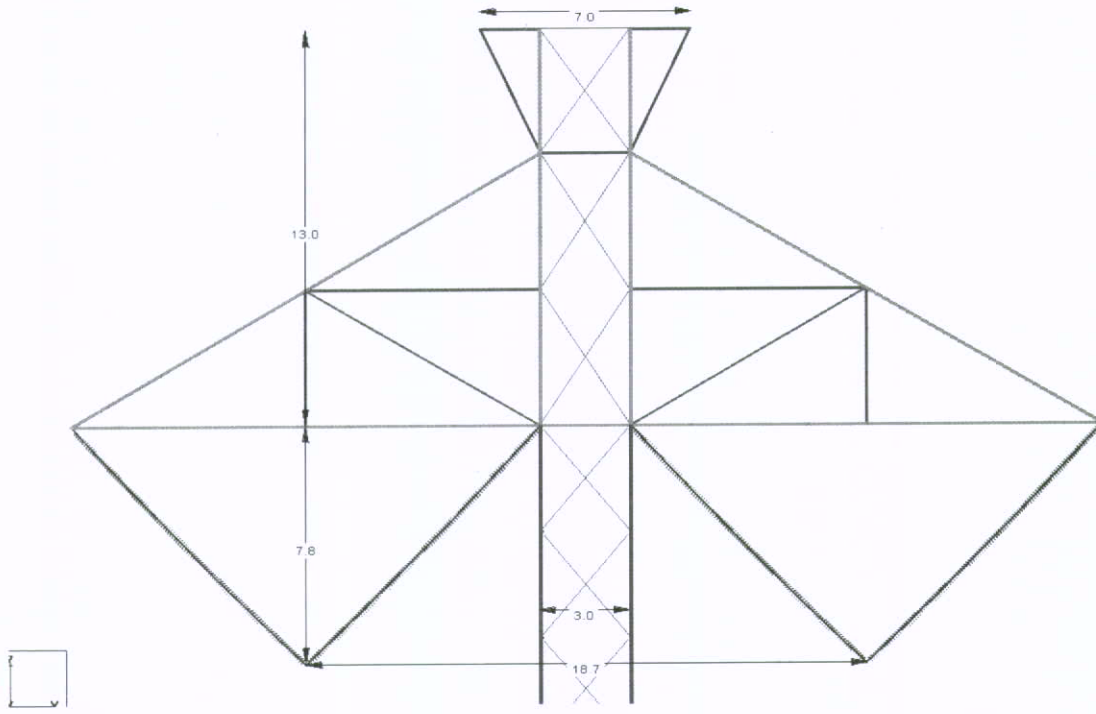
با توجه به اینکه طول زنجیر مقره سمنان- اصفهان با فرض ولتاژ  $\pm 500$  کیلوولت حدود  $11/7$  متر می باشد و با در نظر گرفتن زاویه ۹۰ درجه بین بازو ها و عرض برج  $1/7$  متر، حداقل فاصله بین دو قطب برابر است با :

$$18/2 PS_{min} = 4 m$$

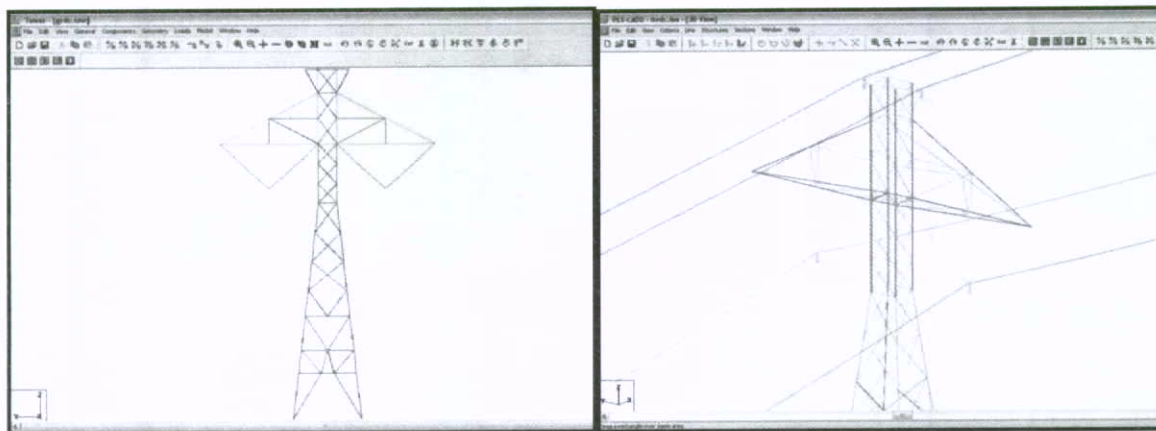
جدول (۹) زوایای انحراف مورد استفاده با در نظر گرفتن فواصل مجاز کلیدزنی در محاسبات فاصله قطبها ( $1MCM=0/5067$ )

| زاویه انحراف بر حسب درجه | MCM    | ASCR هادی |
|--------------------------|--------|-----------|
| ۶/۵                      | ۲۵۱۵   | Joree     |
| ۶/۷                      | ۲۳۱۲   | Thrasher  |
| ۷                        | ۲۱۶۷   | Kiwi      |
| ۷/۱                      | ۲۰۳۴   | 2,034     |
| ۷/۱                      | ۱۷۸۰   | Chukar    |
| ۷/۵                      | ۱۵۹۰   | Lapwing   |
| ۷/۸                      | ۱۴۳۱   | Bobolink  |
| ۷/۹                      | ۱۳۵۱/۵ | Dipper    |
| ۸/۱                      | ۱۲۷۲   | Bittern   |
| ۸/۴                      | ۱۱۱۳   | Bluejay   |
| ۸/۸                      | ۹۵۴    | Rail      |
| ۹/۲                      | ۷۵۹    | Tern      |





شکل (۹) نمای الکتریکی برج آویزی خط انتقال سمنان اصفهان برای سطح ولتاژ  $\pm 500$  کیلوولت



شکل (۱۰) برج آویزی خط انتقال سمنان - اصفهان

- [1] Mc Graw Hill “Standard Handbook for Electrical Engineers” 14th, Edition  
[2] CIGRE Brochure 48 “Tower Top Geometry” WG 22-06, June 1995  
[3] IEC 60071-2  
[4] IEC 60815  
[5] IEC 60071-5  
[6] "Addendum to CIGRÉ Document No. 20 (1974)", CIGRÉ Brochure No. 61 Chapter 7, 1996.  
[7] Maruvada P.S., Corona Performance of High-Voltage Transmission Lines, Research Studies Press Ltd., Baldock, Hertfordshire, U.K., 2000.  
[8] Peixoto C A O; Frontin S O; Jardini J A “Engineering Studies for Itaipu Converter Station Design” IEE Proceedings, vol 130, Pt C, no ,1, January 1983  
[9] IEC/TR 60 826 Design Criteria of Overhead Transmission Lines, 2003-10, 3rd edition.

بیوگرافی

آقای علیرضا رئیسی دارای مدرک لیسانس مهندسی برق گرایش قدرت از دانشگاه آزاد اسلامی - فنی تهران جنوب می باشد. ایشان بیش از ۱۴ سال در شرکت قدس نیرو تجربه کارشناسی و مدیریت پژوهش داشته و هم اکنون مدیریت گروه تخصصی خطوط انتقال را بر عهده دارد.

زمینه فعالیت آقای علیرضا رئیسی به طور کلی سیستم های انتقال انرژی الکتریکی بوده و زمینه تخصصی و علاقمندی ایشان علاوه بر مطالعه و پیاده سازی سیستم های مدیریت مهندسی، طراحی، تحلیل و عیب یابی، بهینه سازی و ارتقاء خطوط انتقال نیرو با به کار گیری سیستم های جدید و پیشرفته طراحی به ویژه Power Line Systems- Computer Aided Design and Drafting (PLS-CADD) می باشد.

Email: [araisi@ghods-niroo.com](mailto:araisi@ghods-niroo.com)

آقای کامران رضایی دارای مدرک لیسانس برق گرایش الکترونیک از دانشگاه آزاد تهران مرکز می باشد. ایشان جمماً ۱ سال سابقه کار داشته که ۴ سال آن در شرکت قدس نیرو و در مورد طراحی و ارتقاء شبکه های انتقال نیرو می باشد. زمینه کاری و علاقمندی ایشان در زمینه کنترل و ارتقاء سیستم های انتقال نیرو و طراحی سیستم های انتقال HVDC می باشد.

Email : [krezaeii@ghods-niroo.com](mailto:krezaeii@ghods-niroo.com)



# برقگیر بوشینگی

منیره موحدیان

کارشناس برق - SBU نیروگاه(صنایع نیروگاهی)

## چکیده

این مقاله درمورد یک نوع برقگیر به نام برقگیر بوشینگی است. هدف از این وسیله حفاظت ترانسفورماتورها در مقابل اضافه ولتاژهای ناشی از صاعقه و کلید زنی بدون استفاده از برقگیر اضافی است. در این روش ، برقگیر و بوشینگ ترانسفورماتور با یکدیگر ادغام شده و مجموعه آن دو به عنوان برقگیر بوشینگی نامیده می شود. این وسیله در عین برقگیر بودن، کار بوشینگ یا مقفره عبوری ترانسفورماتور را هم انجام می دهد. مخترع این برقگیر دکتر محمد رضا مشکوه الدینی عضو هیئت علمی دانشگاه صنعت آب و برق (شهید عباسپور) می باشد.

## ۱- مقدمه

### ۳- عوامل مهم در آسیب دیدگی برقگیر

- نفوذ رطوبت و آلودگی
- اضافه ولتاژهای گذرا و موقتی
- عدم انطباق شرایط بهره برداری با مشخصه برقگیر (طراحی غلط)
- عوامل ناشناخته

### ۴- شرح و توصیف برقگیر بوشینگی

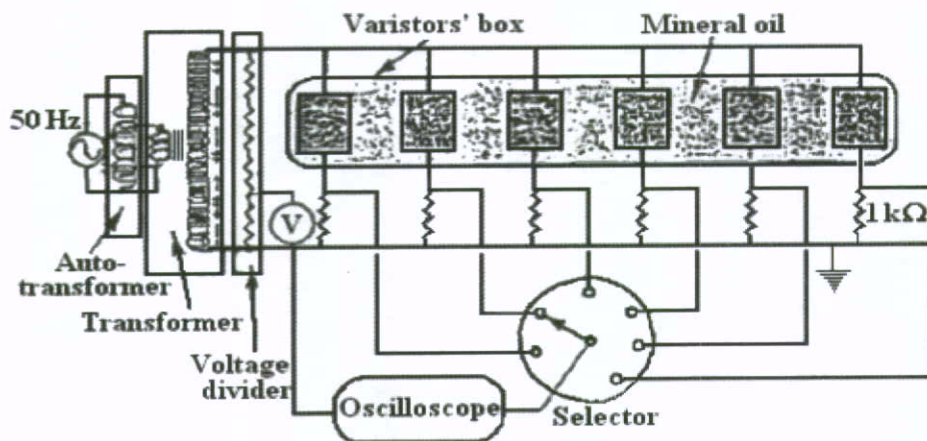
در این نوع برقگیر، قرص های وریستور اکسیدروی<sup>۱</sup> به طور مستقیم در داخل بوشینگ ترانسفورماتور قرارداده می شوند و به این ترتیب فاصله بین برقگیر و سیم پیچ ترانسفورماتورهای نزدیک صفر می رسد، از این رو، کارایی حفاظت به حداقل ممکن افزایش می یابد. یکی از مسائل برقگیرهای سنتی آن است که در اثر گذشت زمان و پیوی تدریجی ناشی از تنش های الکتریکی وارد شده به آنها، کیفیت قرص ها و عایق هایشان به تدریج تنزل می یابد و به تدریج جریان نشستی بالای پیدامی کنند.

برقگیر بوشینگی برای حفاظت تجهیزات از وسایل حفاظتی محدود کننده ضربه، برای حفاظت تجهیزات سیستمهای قدرت در برابر اضافه ولتاژها استفاده می شود. یک وسیله حفاظتی محدود کننده ضربه باید اضافه ولتاژهای گذرا یا اضافه ولتاژهای که باعث تخریب تجهیزات شبکه می شوند را محدود و به زمین هدایت کند و بتواند این کار را بدون اینکه آسیبی ببیند به دفعات تکرار کند. برقگیر نسبت به سایر وسایل حفاظتی بهترین حفاظت را انجام می دهنده و بیشترین مقدار حذف امواج گذرا را فراهم می کند. برقگیرها به صورت موازی با وسیله تحت حفاظت یا بین فاز و زمین قرار می گیرند و انرژی موج اضافه ولتاژ به وسیله برقگیر به زمین منتقل می شود.

## ۲- مشخصات یک برقگیر مناسب

- در ولتاژ نامی شبکه، به منظور کاهش تلفات دارای امپدانس بینهایت باشد
- در اضافه ولتاژ به منظور محدود سازی سطح ولتاژ دارای امپدانس کم باشد.
- توانایی دفع یا ذخیره انرژی موج اضافه ولتاژ را بدون اینکه خود صدمه ببیند داشته باشد.
- پس از جلوگیری از عبور اضافه ولتاژ بتواند به شرایط مدار (حالت کار عادی) برگردد.





شکل(۱) : مدل آزمایشی که برای تست فرسودگی از آن استفاده شده

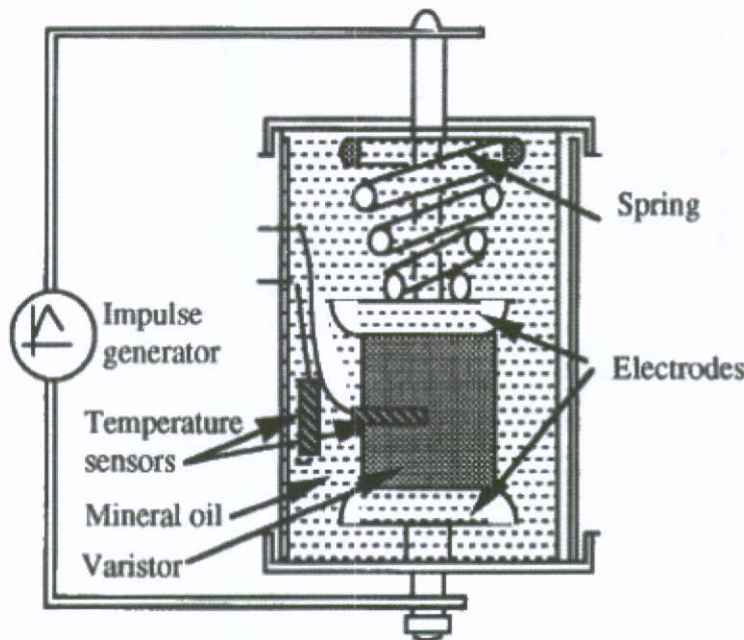
- از خود برقگیر نیز، پس از تخلیه اضافه ولتاژ ها حتی از نوع کلید زنی یا تشدید آهنی<sup>۱</sup> که ممکن است به مدت طولانی روی ترانسفورماتور باقی بمانند، حفاظت بهتری به عمل می آید. علت این امر خنک شدن وریستورها در داخل روغن است. در حالی که برقگیرهای معمولی در مقابل اضافه ولتاژ های ناشی از کلید زنی و تشدید ضعیف بوده و به سرعت خراب می شوند.
- به علت خنک شدن دائمی توسط روغن در حالت کار معمولی تحت ولتاژ فرکانس قدرت، عمر برقگیر بوشینگی نسبت به برق گیرهای معمولی طولانی تر خواهد شد.

بنابر این در حال عادی، وقتی تحت ولتاژ معمولی شبکه قرار دارند، نیز از آنها جریانی متناوب با فرکانس ۵۰ هرتز عبور می کند که باعث گرم شدن آن ها می شود. این گرما روز به روز افزایش می یابد تا در نهایت منجر به فروپاشی و انفجارشان می شود، امادر برقگیرهای بوشینگی ، قرص های وریستور در داخل روغن معدنی عایق قرار دارند، از این رو، طبق آزمایش های انجام شده ۳ برابر بیشتر از هوا خنک می شوند و احتمال فروپاشی حرارتی در آنها از بین می رود. البته می توان به جای ریختن روغن عایق در داخل این وسیله، آن را با هوای خشک یا گاز SF6 نیز پر کرد که در این صورت قابلیت آن از لحاظ خنک شدن مشابه برقگیر های معمولی خواهد بود، ولی سایر ویژگی های ممتاز خود را همچنان حفظ خواهد کرد. درستی موارد فوق الذکر طی آزمایش های متعدد به اثبات رسیده است.

#### ۵-قابلیتهای ویژه برقگیر بوشینگی

- از طریق استفاده از یک وسیله به جای دو وسیله جداگانه (برقگیر و بوشینگ)، صرفه جویی اقتصادی به عمل می آید.
- از ترانسفورماتور حفاظت بهتری در مقابل سوختن در اثر صاعقه صورت می گیرد. زیرا در این طرح فاصله بین برقگیر و عایق ترانسفورماتور، به حداقل ممکن می رسد.





شکل (۲): مدل آزمایشی برای اعمال ضربه به وریستور در روغن

بوشینگ به سر سیم پیچ منتقل می شود. هادی وسط بوشینگ از طریق وریستورها به زمین یعنی پتانسیل صفر نیز متصل می شود. در صورت ورود اضافه ولتاژ های گذرا که تحمل نیست، اضافه ولتاژ از طریق وریستورها به زمین منتقل می شود و از ترانسفورماتور در مقابل امواج اضافه محیط خنک کننده آن یعنی روغن به خارج منتقل می شود. برق گیر بوشینگی در سه طرح مختلف برای سطوح فشار ضعیف، فشار متوسط و فشار قوی قابل ساخت و استفاده خواهد بود. اثر پیوستگی بر روی میدان الکتریکی بوشینگها بسیار مهم است و باید در طراحی در نظر گرفته شود. برای مثال تاثیر متقابل اجزاء مجاور هم بروی توزیع میدان به دقت بررسی شود.

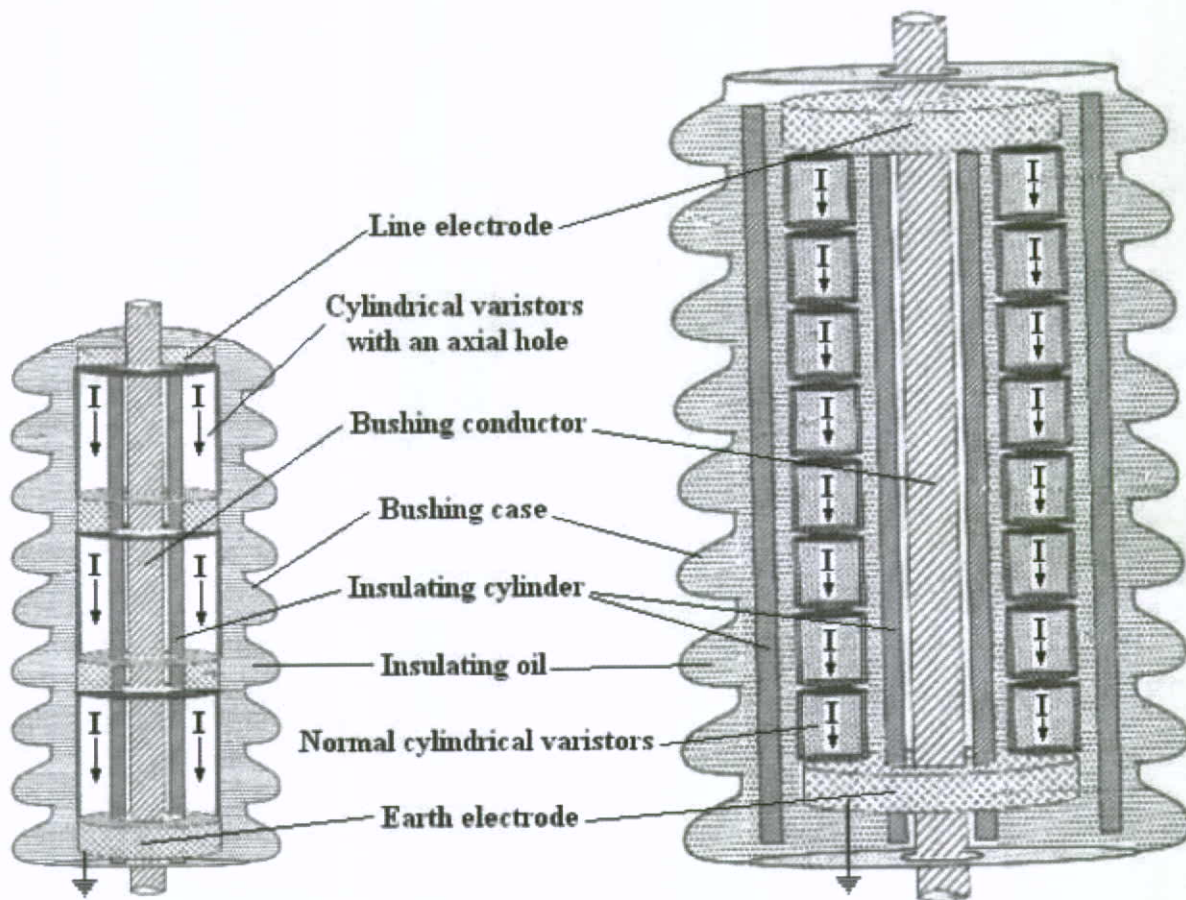
1-Porcelain

2-Silicon

3-Fiber-glass

#### ۶-مشخصات برقگیر بوشینگی

برقگیر بوشینگی از یک مقره تو خالی عایق تشکیل شده که با روغن معدنی ترانسفورماتور پرشده از بالا و پایین آبندی شده است. جنس محفظه از پرسلن<sup>۱</sup> (سفال) و یا مواد کامپوزیتی و پلیمرهای مناسب مانند لاستیک سیلیکونی<sup>۲</sup> است. در بالا و پایین این محفظه دو در پوش فلزی قرار دارند که نقش ترمینالهای های فشار قوی و زمین برق گیر را بازی می کنند. در میان این دو الکترود، تعدادی مناسب از مقاومت های غیر خطی اکسید فلزی (MOV) در داخل استوانه ای از جنس فیبر شیشه<sup>۳</sup> همراه با رزین قرار دارند که قسمت اصلی این وسیله را تشکیل می دهند. در بین و نیز در بالا و پایین ستون وریستورها تعدادی قطعه استوانه ای توپر از جنس آلومینیوم قرارداده می شوند که نقش فضا ساز و نیز خنک کننده را بازی می کنند. این قطعات به وسیله فنر به یکدیگر فشرده می شوند تا اتصال الکتریکی لازم بین آنها همواره برقرار باشد. این وسیله در روی محفظه ترانسفورماتور نصب می شود و هادی ارتباطی که از طرفی به خط متصل است، از طرف دیگر به سر ترمینال بالایی بوشینگ متصل و از طریق هادی وسط

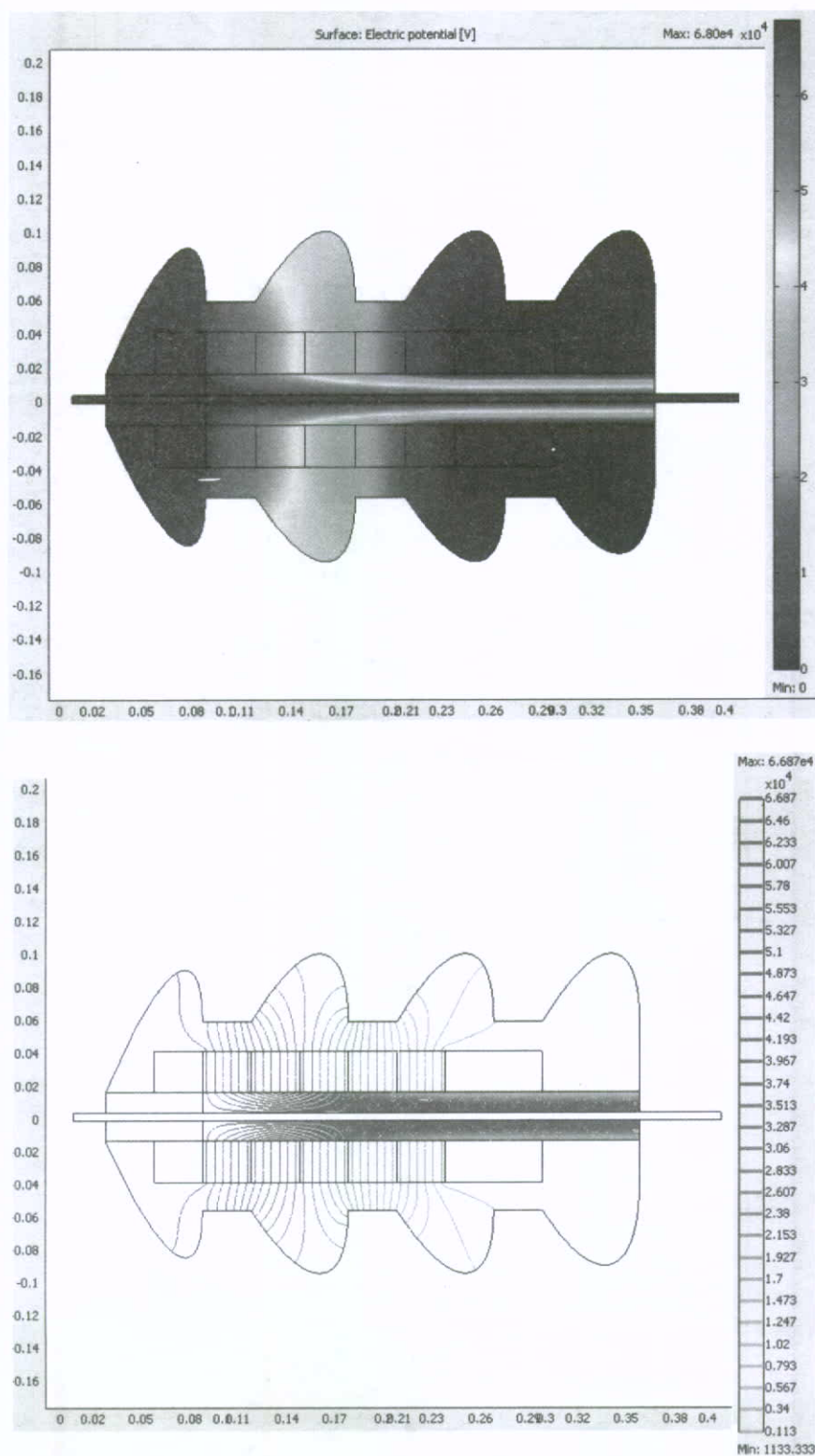


شکل (۳) دو طرح ممکن برای برقگیر بوشینگی

است. احتمال چنین رویدادی با قابلیت جذب انرژی بالاتر بسیار کم میشود ، وقتی وریستور در رونغن غوطه ور باشد بنابراین ما میتوانیم برقگیر کلاس ۲ یا کلاس ۳ استاندارد IEC را جایگزین کلاس ۱ بمانیم. چنین برقگیرهایی خطاهای را به شدت کاهش می دهد و بهترین شکل ممکن را فراهم می کند حتی زمانیکه تراکم رعدوبرق بالا باشد. با این حال برقگیر یکپارچه می تواند آزمایش مقاومت عایقی را تحت تاثیر قرار بدهد.

محاسبات میدان و آزمایشات نشان داده اند که راه حل های جامع و بهینه ای امکان پذیر است. ما میدان الکتریکی در داخل برخی از برقگیر های بوشینگی طراحی شده را بررسی کردیم که یک نمونه آن در شکل (۴) دیده می شود.

ممکن است تصور شود که عیوب عمدۀ تجمع بوشینگ و برقگیر در این است که کارایی بوشینگ منوط به اضافه بار شدن برقگیر



شکل (۴) : خطوط پتانسیل الکتریکی در یک نوع برقگیر بوشینگی ولتاژ متوسط (از نوع برقگیر در شکل ۳ سمت چپ)

## نتیجه گیری

استفاده از برقگیر بوشینگی باعث میشود از ترانس و برقگیر حفاظت بهتری به عمل بباید. علاوه بر آن صرفه جویی اقتصادی بهمراه دارد زیرا از یک وسیله به جای دو وسیله استفاده میشود.

## مراجع

[fa.wikipedia.org](http://fa.wikipedia.org)  
[meshkatoddini@ieee.org](mailto:meshkatoddini@ieee.org)

IEEE Transactions on Power Delivery. Vol. 9. No.2. April

## بیوگرافی

خانم منیره موحدیان دارای مدرک کارشناسی برق قدرت از دانشگاه شهید چمران اهواز با ۱۰ سال سابقه کار بوده و از سال ۱۱ در شرکت قدس نیرو مشغول به کار میباشد. علاقمندی ایشان در زمینه تجهیزات الکتریکی میباشد.

Email:[monireh.movahedian@yahoo.com](mailto:monireh.movahedian@yahoo.com)

نگارنده مقاله از استاد گرامی جناب آقای دکتر قصبه که در تهیه این مقاله راهنمایی های ارزنده ای نمودند مراتب قدردانی خود را ابراز میدارد.



# عوامل موثر در تبدیل شرکت های مهندسین مشاور به شرکت های EPC

سعید رحمانی جو

مدیر پروژه پلیمر کرمانشاه و کارشناس ارشد بازاریابی

## ۱-هدف

- جهتگیری استراتژیک سازمان
- تامین منابع مالی
- بخش مهندسی
- ساخت و نصب
- مدیریت منابع انسانی
- دفتر مدیریت پروژه PMO
- بخش بازارگانی

هدف از تهیه این سند یکپارچه‌سازی و مدون سازی ذهنیت مدیران ارشد در شرکت های مهندسین مشاور در ارتباط با اولویت‌بندی EPC فعالیت‌های کلیدی سازمان برای ورود به فعالیت های EPC می‌باشد، این موضوع بر اساس "پرسشنامه عوامل موثر در تبدیل شرکت های مهندسین مشاور ایرانی به شرکت های EPC بین‌المللی" تدوین شده است.

## ۲-دامنه کاربرد

این تحقیق صرفاً جنبه تحلیل پرسشنامه دارد و سند راهبردی محسوب نمی‌شود. ولی به عنوان یکی از مراجع قابل استفاده برای تهیه اسناد راهبردی نهایی شرکت‌های مهندسین مشاور می‌تواند مورد استفاده قرار گیرد.

## ۳-مقدمه

در تحلیل استراتژیک با توجه به شرایط داخلی و خارجی سازمان جهتگیری‌های کسبوکار تعیین و نسبت به راهکارهای مختلف تصمیم‌گیری می‌شود. این تصمیمات به تصمیمات استراتژیک یا راهبردی معروف هستند. این مهم پس از جمع‌آوری اطلاعات انجام خواهد گرفت. بخشی از اطلاعات متناسب با نوع و ماهیت آنها از نظرسنجی مدیران ارشد و کارشناسان سازمان و خبرگان صنعت حاصل می‌گردد. تدوین اهداف کلان، تعیین ارزش‌ها و تصمیم‌گیری در مورد حوزه‌های کاری از جمله اطلاعاتی است که بایستی از این طریق تعیین شوند. علاوه بر این، کارکرد روش مصاحبه و پرسشنامه میدانی در داخل سازمان یکی از روش‌های مهم ایجاد مشارکت اعضا سازمان در برنامه‌ریزی و سازماندهی است که علاوه بر ماهیت و کارکرد مثبت مشارکت، بستر همگرایی و نقد نظرات را نیز فراهم می‌کند. در این تحقیق پرسشهای مطرح شده در "پرسشنامه عوامل موثر در تبدیل شرکت های مهندسین مشاور ایرانی به شرکت های EPC بین‌المللی" در چند بخش با موضوعات ذیل تدوین شده است:

## ۴-روش و ابزار جمع‌آوری داده‌ها

اطلاعات حاصل از تحقیق میدانی از طریق تکمیل پرسشنامه به دست آمده است. این روش گردآوری رایج‌ترین روش در دانش مدیریت محسوب می‌شود. پرسشنامه طراحی شده شامل سه ستون اصلی است که در ستون دوم آن شرح پرسش آورده شده و در ستون سوم به هر یک از پرسش‌ها امتیازدهی می‌شود. پرسش‌ها با توجه اهمیت آنها از ۱ تا ۵ امتیازدهی می‌شوند.

## ۵-روش محاسبه و تحلیل

پرسشنامه طراحی شده جهت تکمیل در اختیار ۴۰ نفر از مدیران ارشد، کارشناسان و خبرگان سازمان‌های مختلف قرار گرفت. در جداول ذیل به تعداد شرکت کنندگان و میزان تحصیلات آنها اشاره می‌گردد:

## جدول شرکت‌هایی که در پاسخ به پرسشنامه حضور دارند\*

| تعداد شرکت کنندگان | نام شرکتها                          | ردیف |
|--------------------|-------------------------------------|------|
| 4                  | شرکت ساخت و نصب (EPC) با گرید بالا* | ۱    |
| 9                  | شرکت ساخت و نصب (EPC) با گرید بالا  | ۲    |
| 17                 | شرکت مهندسی قدس نیرو                | ۳    |
| 7                  | شرکت مدیریت پروژه های نیروگاهی      | ۴    |



جدول میزان تحصیلات شرکت کنندگان

| تعداد نفرات | مقطع تحصیلی        |
|-------------|--------------------|
| 1           | دانشجوی دکترا      |
| 1           | دکترای تخصصی عمران |
| 22          | فوق لیسانس         |
| 13          | لیسانس             |

جدول رشته های تحصیلی شرکت کنندگان در پرسشنامه

| رشته | DBA | MBA | اقتصاد | برق | الکترونیک | شیمی | عمران | معماری و شهر سازی | مهندس مکانیک | مهندسی الکترونیک | مهندسی برق | مهندسی شیمی | مهندسی عمران | مهندس عمران - زلزله | مهندسي كامپيووتر | مهندسي مكانيك | جمع | 1 | ۲  | ۳ | ۴ | کل | تعداد |    |
|------|-----|-----|--------|-----|-----------|------|-------|-------------------|--------------|------------------|------------|-------------|--------------|---------------------|------------------|---------------|-----|---|----|---|---|----|-------|----|
|      |     |     |        |     |           |      |       |                   |              |                  |            |             |              |                     |                  |               |     |   | 1  |   |   |    | 1     | کل |
|      |     |     |        |     |           |      |       |                   |              |                  |            |             |              |                     |                  |               |     |   | 1  |   |   |    | 1     | کل |
|      |     |     |        |     |           |      |       |                   |              |                  |            |             |              |                     |                  |               |     |   | 1  |   |   |    | 1     | کل |
|      |     |     |        |     |           |      |       |                   |              |                  |            |             |              |                     |                  |               |     |   | 1  |   |   |    | 1     | کل |
|      |     |     |        |     |           |      |       |                   |              |                  |            |             |              |                     |                  |               |     |   | 2  |   |   |    | 2     | کل |
|      |     |     |        |     |           |      |       |                   |              |                  |            |             |              |                     |                  |               |     |   | 1  |   |   |    | 1     | کل |
|      |     |     |        |     |           |      |       |                   |              |                  |            |             |              |                     |                  |               |     |   | 1  |   |   |    | 1     | کل |
|      |     |     |        |     |           |      |       |                   |              |                  |            |             |              |                     |                  |               |     |   | 2  |   |   |    | 2     | کل |
|      |     |     |        |     |           |      |       |                   |              |                  |            |             |              |                     |                  |               |     |   | 1  |   |   |    | 1     | کل |
|      |     |     |        |     |           |      |       |                   |              |                  |            |             |              |                     |                  |               |     |   | 2  |   |   |    | 2     | کل |
|      |     |     |        |     |           |      |       |                   |              |                  |            |             |              |                     |                  |               |     |   | 1  |   |   |    | 1     | کل |
|      |     |     |        |     |           |      |       |                   |              |                  |            |             |              |                     |                  |               |     |   | 1  |   |   |    | 1     | کل |
|      |     |     |        |     |           |      |       |                   |              |                  |            |             |              |                     |                  |               |     |   | 1  |   |   |    | 1     | کل |
|      |     |     |        |     |           |      |       |                   |              |                  |            |             |              |                     |                  |               |     |   | 3  |   |   |    | 4     | کل |
|      |     |     |        |     |           |      |       |                   |              |                  |            |             |              |                     |                  |               |     |   | 2  |   |   |    | 1     | کل |
|      |     |     |        |     |           |      |       |                   |              |                  |            |             |              |                     |                  |               |     |   | 1  |   |   |    | 1     | کل |
|      |     |     |        |     |           |      |       |                   |              |                  |            |             |              |                     |                  |               |     |   | 2  |   |   |    | 2     | کل |
|      |     |     |        |     |           |      |       |                   |              |                  |            |             |              |                     |                  |               |     |   | 1  |   |   |    | 1     | کل |
|      |     |     |        |     |           |      |       |                   |              |                  |            |             |              |                     |                  |               |     |   | 1  |   |   |    | 1     | کل |
|      |     |     |        |     |           |      |       |                   |              |                  |            |             |              |                     |                  |               |     |   | 1  |   |   |    | 1     | کل |
|      |     |     |        |     |           |      |       |                   |              |                  |            |             |              |                     |                  |               |     |   | 3  |   |   |    | 4     | کل |
|      |     |     |        |     |           |      |       |                   |              |                  |            |             |              |                     |                  |               |     |   | 1  |   |   |    | 1     | کل |
|      |     |     |        |     |           |      |       |                   |              |                  |            |             |              |                     |                  |               |     |   | 2  |   |   |    | 2     | کل |
|      |     |     |        |     |           |      |       |                   |              |                  |            |             |              |                     |                  |               |     |   | 1  |   |   |    | 1     | کل |
|      |     |     |        |     |           |      |       |                   |              |                  |            |             |              |                     |                  |               |     |   | 1  |   |   |    | 1     | کل |
|      |     |     |        |     |           |      |       |                   |              |                  |            |             |              |                     |                  |               |     |   | 17 |   |   |    | 17    | کل |
|      |     |     |        |     |           |      |       |                   |              |                  |            |             |              |                     |                  |               |     |   | 9  |   |   |    | 9     | کل |
|      |     |     |        |     |           |      |       |                   |              |                  |            |             |              |                     |                  |               |     |   | 4  |   |   |    | 4     | کل |
|      |     |     |        |     |           |      |       |                   |              |                  |            |             |              |                     |                  |               |     |   | 7  |   |   |    | 7     | کل |
|      |     |     |        |     |           |      |       |                   |              |                  |            |             |              |                     |                  |               |     |   | 34 |   |   |    | 34    | کل |

\* به علت عدم مجوز از شرکت های مورد پرسش قرار گرفته جهت چاپ نام آنها در نشریه از ذکر نام آنها معذوریم.

#### ۱- تست کرومباخ

برای تست همبستگی سوالات از آزمون کرومباخ استفاده شده است که نتیجه آن ۷۸٪ می باشد که نتیجه خوبیست.

#### ۲- تست فرید من

برای محاسبه میانگین سوالات جهت تحلیل ۵ گروه از سوالات از آزمون فریدمن استفاده شده است که نتایج آن در جداول ذیل آمده است

#### اعتبار سنجی

به منظور اعتبارسنجی پرسشنامه فوق پس از جمع آوری پاسخ و وارد کردن اطلاعات به برنامه SPSS تست های مورد نیاز بر روی تک سوالات انجام می گیرد. تست های انجام شده بر روی پرسشنامه فوق در این تحقیق به شرح ذیل می باشد.



### Friedman Test

| Ranks     |         | شرح سوالات   | ردیف |
|-----------|---------|--|------|
| Mean Rank |         |  |      |
| 17.91     | str.1   | تشکیل واحد مستقل (SBU) با قابلیت های بالا برای اجرای پروژه های EPC   | 1    |
| 16.29     | str.2   | استفاده از منابع مالی خارجی جهت توسعه فعالیت های شرکت  | 2    |
| 23.11     | str.3   | توسعه فعالیت های شرکت از طریق مشارکت با شرکت های معابر داخلی   | 3    |
| 24.51     | str.4   | توسعه فعالیت های شرکت از طریق مشارکت با شرکت های معابر خارجی   | 4    |
| 13.54     | str.5   | استفاده از الگوی استاندارد (الگوی شرکت های موفق بین المللی) برای اجرای فعالیت ها   | 5    |
| 30.79     | str.6   | اخذ گواهی صلاحیت EPC برای پروژه های EPC داخلی از معاونت برنامه ریزی ریاستجمهوری  | 6    |
| 22.86     | str.7   | اخذ گواهی نامه مدیریت پروژه از EU Project Management EPC بین المللی  | 7    |
| 16.33     | fin.1   | تامین منابع مالی طرح ها و پروژه ها از طریق منابع داخلی شرکت  | 8    |
| 23.21     | fin.2   | تامین منابع مالی طرح ها و پروژه ها از طریق سیستم اعتبارات داخلی  | 9    |
| 14.5      | fin.3   | تامین منابع مالی طرح ها و پروژه ها از طریق سیستم اعتبارات خارجی  | 10   |
| 24.49     | eng.1   | جذب نیروی انسانی متخصص دارای تجربه در زمینه طراحی مهندسی پروژه های EPC   | 11   |
| 14.84     | eng.2   | استفاده از نرم افزارهای تخصصی پیشرفته جهت طراحی پروژه های EPC  | 12   |
| 17.12     | eng.3   | دارا بودن دفاتر کار مجهر به تجهیزات مدرن مهندسی برای انجام پروژه های EPC   | 13   |
| 16.83     | eng.4   | تهیه دستورالعمل های مورد نیاز با توجه به استانداردهای مورد استفاده در شرکت های معابر بین المللی Basic Design ( برای طراحی فاز Bench Marking )  | 14   |
| 17.71     | eng.5   | تهیه دستورالعمل های مورد نیاز با توجه به استانداردهای مورد استفاده در شرکت های معابر بین المللی Detail Design ( برای طراحی فاز Bench Marking ) | 15   |
| 20.3      | proc.1  | تدوین دستورالعمل های مورد نیاز با توجه به استانداردهای مورد استفاده در شرکت های معابر داخلی ( Bench Marking ) برای تامین تجهیزات               | 16   |
| 26.57     | proc.2  | تهیه بانک اطلاعاتی تامین کنندگان داخلی   | 17   |
| 24.68     | proc.3  | تهیه بانک اطلاعاتی تامین کنندگان خارجی   | 18   |
| 24.46     | cons.1  | استفاده از پیمانکاران معابر داخلی ( برون سپاری ) در اجرای پروژه ها در فاز اجرا ( Construction )  | 19   |
| 17.09     | cons.2  | تامین ماشین آلات مورد نیاز جهت اجرای پروژه ها در فاز اجرا ( Construction ) - امنیت   | 20   |
| 20.61     | de.ex.1 | رعایت دقیق قوانین و مقررات کشور در ارتباط با پروژه   | 21   |
| 20.12     | de.ex.2 | رعایت پروتکل های اداره کار برای حفظ سلامت کارگران در محیط پروژه  | 22   |
| 22.71     | de.ex.3 | رعایت مجموعه قوانین زیست محیطی کشور در اجرای پروژه ها  | 23   |
| 14.11     | de.ex.4 | توجه مدیریت به مسائل خانواده کارمندان  | 24   |
| 22.18     | hrm.1   | رعایت شایسته سalarی و شایسته گزینی توسط مدیریت های ارشد شرکت   | 25   |
| 22.7      | hrm.2   | حفظ و رعایت ارزش و احترام به نقش کارکنان و ایجاد محیطی دوستانه شفاف و قابل اعتماد  | 26   |
| 22.18     | hrm.3   | سهمیه بودن کارکنان در موقیت و خوشنامی شرکت   | 27   |
| 21.47     | hrm.4   | تامین ثبات، امنیت و رضایت شغلی   | 28   |
| 19.33     | pmo.1   | ایجاد ساختار بخش ( Project management office ) جهت تدوین استانداردهای مدیریت پروژه های EPC   | 29   |
| 20.29     | pmo.2   | تدوین دستورالعمل های مورد نیاز بر اساس استاندارد PMBOK برای مدیریت پروژه   | 30   |
| 22.2      | pmo.3   | تدوین و طراحی ساختار مدیریت پروژه  | 31   |
| 16.64     | pmo.4   | تهیه برنامه های اجرایی مدیریت پروژه ( Project Management Plan )  | 32   |
| 22.13     | pmo.5   | تهیه برنامه کنترل کیفیت - محیط زیست ( QA/QC Plan , HSE Plan )  | 33   |
| 22.61     | pmo.6   | تهیه برنامه های اجرایی پروژه ( Execution Plan )  | 34   |
| 17.72     | comm.1  | شرکت در نمایشگاه های بین المللی تخصصی جهت آشنایی با حوزه فعالیت EPC  | 35   |
| 17.38     | comm.2  | طراحی بسته تبلیغاتی که نشان دهنده ورود شرکت به حوزه EPC می باشد  | 36   |
| 21.21     | comm.3  | جمع آوری اطلاعات مناقصات از سایت ها - جراید - فراخوان ها پروژه های EPC   | 37   |
| 21.7      | comm.4  | تدوین دستورالعمل مورد نیاز جهت شرکت در مناقصات EPC   | 38   |
| 23.09     | comm.5  | تدوین دستورالعمل مورد نیاز جهت برآورد مالی مناقصات Cost Estimate ( EPC ) به منظور پایین آوردن حداقل ریسک                                       | 39   |
| 22.49     | comm.6  | ایجاد تیم مستقل جهت تهیه پیشنهاد فنی - مالی مناقصات EPC  | 40   |

### Friedman Test

| Ranks     |         | شرح سوالات   | ردیف |
|-----------|---------|--|------|
| Mean Rank |         |  |      |
| 30.79     | str.6   | اخذ گواهی صلاحیت EPC برای پروژه های EPC داخلی از معاونت برنامه ریزی ریاست جمهوری   | 6    |
| 26.57     | proc.2  | تهیه بانک اطلاعاتی تامین کنندگان داخلی   | 17   |
| 24.68     | proc.3  | تهیه بانک اطلاعاتی تامین کنندگان خارجی   | 18   |
| 24.51     | str.4   | توسعه فعالیت های شرکت از طریق مشارکت با شرکت های معابر خارجی   | 4    |
| 24.49     | eng.1   | جدب نیروی انسانی متخصص دارای تجربه در زمینه طراحی مهندسی پروژه های EPC   | 11   |
| 24.46     | cons.1  | (Construction) استفاده از پیمانکاران معابر داخلی (برون سپاری) در اجرای پروژه ها در فاز اجرا  | 19   |
| 23.21     | fin.2   | تامین منابع مالی طرح ها و پروژه ها از طریق سیستم اعتبارات داخلی  | 9    |
| 23.11     | str.3   | توسعه فعالیت های شرکت از طریق مشارکت با شرکت های معابر داخلی   | 3    |
| 23.09     | comm.5  | تدوین دستور العمل مورد نیاز جهت برآورد مالی مناقصات Cost Estimate (EPC) به منظور پایین آرودن حداقل ریسک                                      | 39   |
| 22.86     | str.7   | اخذ گواهی نامه مدیریت پروژه از EU Project Management EPC بین المللی  | 7    |
| 22.71     | de.ex.3 | رعایت مجموعه قوانین زیست محیطی کشور در اجرای پروژه ها  | 23   |
| 22.7      | hrm.2   | حفظ و رعایت ارزش و احترام به نقش کارکنان و ایجاد محیطی دوستانه شفاف و قابل اعتماد  | 26   |
| 22.61     | pmo.6   | (Execution Plan) تهیه برنامه های اجرایی پروژه  | 34   |
| 22.49     | comm.6  | ایجاد تیم مستقل جهت تهییه پیشنهاد فنی - مالی مناقصات EPC   | 40   |
| 22.2      | pmo.3   | تدوین و طراحی ساختار مدیریت پروژه  | 31   |
| 22.18     | hrm.1   | رعایت شایسته سالاری و شایسته گزینی توسط مدیریت های اوشد شرکت   | 25   |
| 22.18     | hrm.3   | سهیم بودن کارکنان در موقیت و خوشنامی شرکت  | 27   |
| 22.13     | pmo.5   | (QA/QC Plan, HSE Plan) تهیه برنامه کنترل کیفیت - محیط زیست   | 33   |
| 21.7      | comm.4  | تدوین دستور العمل مورد نیاز جهت شرکت در مناقصات EPC  | 38   |
| 21.47     | hrm.4   | تامین ثبات ، امنیت و رضایت شغلی  | 28   |
| 21.21     | comm.3  | جمع آوری اطلاعات مناقصات از سایت ها - جراید - فرخانوں ہا پروژه های EPC   | 37   |
| 20.61     | de.ex.1 | رعایت دقیق قوانین و مقررات کشور در ارتباط با پروژه   | 21   |
| 20.3      | proc.1  | تدوین دستورالعمل های مورد نیاز با توجه به استانداردهای مورد استفاده در شرکت های معابر داخلی (Marking Bench)                                  | 16   |
| 20.29     | pmo.2   | تدوین دستورالعمل های مورد نیاز اساس استاندارد PMBOK برای مدیریت پروژه  | 30   |
| 20.12     | de.ex.2 | رعایت پروتکل های اداره کار برای حفظ سلامت کارگران در محیط پروژه  | 22   |
| 19.33     | pmo.1   | ایجاد ساختار بخش (Project management office) جهت تدوین استانداردهای مدیریت پروژه های EPC   | 29   |
| 17.91     | str.1   | تشکیل واحد مستقل (SBU) با قابلیت های بالا برای اجرای پروژه های EPC   | 1    |
| 17.72     | comm.1  | شرکت در نمایشگاه های بین المللی تخصصی جهت آشنایی با حوزه فعالیت EPC  | 35   |
| 17.71     | eng.5   | تهیه دستورالعمل های مورد نیاز با توجه به استانداردهای مورد استفاده در شرکت های معابر بین المللی Detail Design (Bench Marking) برای طراحی فاز | 15   |
| 17.38     | comm.2  | طراحی بسته تبلیغاتی که نشان دهنده ورود شرکت به حوزه EPC می باشد  | 36   |
| 17.12     | eng.3   | دارا بودن دفاتر کار مجهز به تجهیزات مدرن مهندسی برای انجام پروژه های EPC   | 13   |
| 17.09     | cons.2  | تامین ماشین آلات مورد نیاز جهت اجرای پروژه ها در فاز اجرا (Construction) - امانی   | 20   |
| 16.83     | eng.4   | تهیه دستورالعمل های مورد نیاز با توجه به استانداردهای مورد استفاده در شرکت های معابر بین المللی Basic Design (Bench Marking) برای طراحی فاز  | 14   |
| 16.64     | pmo.4   | تهیه برنامه های اجرایی مدیریت پروژه (Project Management Plan)  | 32   |
| 16.33     | fin.1   | تامین منابع مالی طرح ها و پروژه ها از طریق منابع داخلی شرکت  | 8    |
| 16.29     | str.2   | استفاده از منابع مالی خارجی جهت توسعه فعالیت های شرکت  | 2    |
| 14.84     | eng.2   | استفاده از نرم افزارهای تخصصی پیشرفته جهت طراحی پروژه های EPC  | 12   |
| 14.5      | fin.3   | تامین منابع مالی طرح ها و پروژه ها از طریق سیستم اعتبارات خارجی  | 10   |
| 14.11     | de.ex.4 | توجه مدیریت به مسائل خانواده کارمندان  | 24   |
| 13.54     | str.5   | استفاده از الگوی استاندارد (الگوهای شرکت های موفق بین المللی) برای اجرای فعالیت ها   | 5    |





### تحلیل نتایج به دست آمده از پاسخ به سوالات پرسشنامه

#### میانگین نمرات بخش مربوط به سوالات استراتژیک با استفاده از برنامه SPSS

|          |       |   |   |
|----------|-------|---|---|
| 3.95     | str.1 | تشکیل واحد مستقل (SBU) با قابلیت های بالا برای اجرای پروژه های EPC                  | ۱ |
| 3.825    | str.2 | استفاده از منابع مالی خارجی جهت توسعه فعالیت های شرکت                               | ۲ |
| 4.375    | str.3 | توسعه فعالیت های شرکت از طریق مشارکت با شرکت های معتبر داخلی                        | ۳ |
| 4.425    | str.4 | توسعه فعالیت های شرکت از طریق مشارکت با شرکت های معتبر خارچی                        | ۴ |
| 3.6      | str.5 | استفاده از الگوی استاندارد (الگو های شرکت های موفق بین المللی) برای اجرای فعالیت ها | ۵ |
| 4.825    | str.6 | اخذ گواهی صلاحیت EPC برای پروژه های EPC داخلی از معاونت برنامه ریزی ریاست جمهوری    | ۶ |
| 4.282051 | str.7 | اخذ گواهی نامه مدیریت پروژه از EU Project Management بین المللی                     | ۷ |

|       |                | str.1    | str.2   | str.3    | str.4    | str.5  | str.6    | str.7    |
|-------|----------------|----------|---------|----------|----------|--------|----------|----------|
| Total | N              | 40       | 40      | 40       | 40       | 40     | 40       | 39       |
|       | Mean           | 3.95     | 3.825   | 4.375    | 4.425    | 3.6    | 4.825    | 4.282051 |
|       | Std. Deviation | 0.932325 | 0.98417 | 0.627878 | 0.635993 | 0.7779 | 0.500641 | 0.686284 |

#### تحلیل سوالات بخش Strategy

نماید. اخذ گواهی صلاحیت EPC نیز برای مناقصات داخلی جزء الزامات قانونی بوده و با توجه به فرآیند طولانی کسب این مجوز شرکتهای مهندسین مشاور پس از تصمیم‌گیری برای ورود به حوزه EPC لازم است اقدامات لازم را در این خصوص انجام‌دهند که این موضوع با اهمیت ترین سوال بین پاسخ دهنده‌گان بوده است.

#### تحلیل سوالات بخش Finance

با توجه به جهت گیری دولت برای جذب سرمایه‌گذار خارجی در طرحهای خود و لزوم شناسایی و ارزیابی سرمایه‌گذار خارجی و داخلی شرکت‌های مهندسین مشاور می‌توانند این موضوع را به عنوان یک برنامه استراتژیک مدنظر قرار داده تا ضمن بهره‌مندی از منابع داخلی بتوانند با استفاده از منابع خارجی نیز کسب سود بیشتری داشته باشد.

به طور کلی در شرکت‌های مهندسین مشاور با توجه به اینکه عمدها فعالیت‌ها از نوع خدمات مشاوره، مهندسی، نظارت و طرح‌ها بوده است که با فعالیت در پروژه‌های EPC بسیار متفاوت است و تجربه نشان داده، ایجاد واحد EPC استراتژیک مستقل SBU کمک شایانی خواهد نمود که فارغ از فعالیت‌های عمومی شرکت به صورت متمرکز و با استفاده از نیروهای متخصص و با تجربه در این حوزه فعالیت نمایند و این موضوع با توجه به امتیاز میانگین به دست آمده نشان می‌دهد که مورد تایید پاسخ دهنده‌گان بوده است. با توجه به هزینه‌های بالای پروژه‌های EPC استفاده از منابع داخلی و خارجی می‌تواند کمک زیادی به شرکت‌های مهندسین مشاور کند که می‌خواهند وارد این حوزه شوند، همچنین استفاده از شرکت‌های بزرگ و با تجربه در این حوزه نیز می‌تواند بنیه مالی و فنی شرکت‌های مهندسین مشاور را بالا برد و موجب پایین آوردن ریسک پروژه‌ها شود و همچنین امتیازات فنی مورد نیاز در مناقصات داخلی و خارجی را بهبود

## میانگین نمرات بخش مربوط به سوالات فاینанс با استفاده از برنامه SPSS

|       |       |   |   |
|-------|-------|---|---|
| 3.85  | fin.1 | تامین منابع مالی طرح ها و پروژه ها از طریق منابع داخلی شرکت     | ۱ |
| 4.4   | fin.2 | تامین منابع مالی طرح ها و پروژه ها از طریق سیستم اعتبارات داخلی | ۲ |
| 3.775 | fin.3 | تامین منابع مالی طرح ها و پروژه ها از طریق سیستم اعتبارات خارجی | ۳ |

|                | fin.1   | fin.2    | fin.3    |
|----------------|---------|----------|----------|
| N              | 40      | 40       | 40       |
| Mean           | 3.85    | 4.4      | 3.775    |
| Std. Deviation | 0.80224 | 0.671775 | 0.733362 |

برای بخش مهندسی و همچنین تجهیز امکانات و دفاتر متناسب با نیازمندی های بخش طراحی با الگوگیری از شرکتهایی که در این زمینه تجربه کافی دارند(Bench Marking) بسیار مفید می باشد. استفاده از نرم افزار پیشرفته در طراحی نیز می تواند قابلیت این بخش را افزایش دهد. بیشترین امتیاز را در این بخش پاسخ دهنده اکان به سوالات مربوط به جذب نیروی انسانی و تجهیز دفاتر داده اند.

## تحلیل سوالات بخش Engineering

جذب نیروی انسانی متخصص و دارای تجربه در زمینه طراحی مهندسی پروژه های EPC می تواند باعث توأمnd شدن بخش مهندسی (E) شرکتهای مشاور شده و قابلیت ها در این بخش افزایش دهد ، "عمدتا" شرکتهای مشاور کار Design Review انجام می دهند و با فرآیندهای طراحی پروژه های EPC آشنایی کافی ندارند در همین ارتباط تدوین دستورالعمل های مورد نیاز

## میانگین نمرات بخش مربوط به سوالات مهندسی با استفاده از برنامه SPSS

|          |       |                               |  |   |
|----------|-------|-------------------------------|--|---|
| 4.45     | eng.1 | EPC                           | جذب نیروی انسانی متخصص دارای تجربه در زمینه طراحی مهندسی پروژه های EPC   | ۱ |
| 3.692308 | eng.2 | EPC                           | استفاده از نرم افزارهای تخصصی پیشرفته جهت طراحی پروژه های EPC  | ۲ |
| 3.923077 | eng.3 | EPC                           | دارا بودن دفاتر کار مجهز به تجهیزات مدرن مهندسی برای انجام پروژه های EPC   | ۳ |
| 3.775    | eng.4 | Basic Design (Bench Marking)  | تهیه دستورالعمل های مورد نیاز با توجه به استانداردهای مورد استفاده در شرکت های معابر بین المللی Basic Design (Bench Marking) برای طراحی فاز  | ۴ |
| 3.9      | eng.5 | Detail Design (Bench Marking) | تهیه دستورالعمل های مورد نیاز با توجه به استانداردهای مورد استفاده در شرکت های معابر بین المللی Detail Design (Bench Marking) برای طراحی فاز | ۵ |

|                | eng.1    | eng.2    | eng.3    | eng.4    | eng.5    |
|----------------|----------|----------|----------|----------|----------|
| N              | 40       | 39       | 39       | 40       | 40       |
| Mean           | 4.45     | 3.692308 | 3.923077 | 3.775    | 3.9      |
| Std. Deviation | 0.503831 | 0.977479 | 0.774074 | 1.049725 | 0.900142 |



## تحلیل سوالات بخش Procurement

می باشد .

### تحلیل سوالات بخش Construction

نظر به اینکه شرکت های مهندسین مشاور برای اجرای پروژه ها به صورت EPC نیاز به تأمین ماشین آلات و تجهیزات برای نصب و ساخت تجهیزات پروژه ها را دارند اصولاً "دو سناریو وجود دارد : اولاً" می توانند با جوینت شدن با شرکتهای معتبر ساخت و نصب نیاز خود را مرتفع سازند. و سناریو دوم در صورت داشتن منابع کافی مالی یک شرکت ساخت و نصب ایجاد کرده و به صورت مستقل در پروژه های EPC شرکت نمایند. پاسخ دهنده‌گان به طور میانگین اهمیت استفاده از استفاده از پیمانکاران معتبر داخلی (برون سپاری) را در اجرای پروژه ها در فاز اجرا (Construction) سناریوی بهتری دانسته‌اند.

با توجه به اینکه در حدود ۶۵ تا ۷۵ درصد حجم ریالی پروژه ها در بخش تأمین تجهیزات داخلی و خارجی می باشد ، لذا لزوم تهیه بانک اطلاعات تهیه و تأمین تجهیزات از اهمیت بالایی برخوردار است. در این ارتباط استفاده از نرم افزارهای بانکهای اطلاعاتی بسیار مفید می باشد این کار علاوه بر بالا رفتن بهره و ری می توان رسک پروژه و برآورد بخش تهیه و تأمین تجهیزات را (P) در زمان ارائه پیشنهاد مناقصات داخلی و بین‌المللی پایین بیاورد و در تصمیم‌سازی و تصمیم‌گیری مدیران نقش مهمی را ایفا خواهد کرد. تدوین دستورالعمل های مورد نیاز با توجه به استانداردهای موجود نیز می تواند قابلیت این بخش را بالا برد و افزایش دهد. همانطور که در جدول زیر هم مشاهده می‌کنید ارزش میانگین پاسخ با سوالات این بخش بالا بوده که نشانه اهمیت این موضوع

### میانگین نمرات بخش مربوط به سوالات خرید با استفاده از برنامه SPSS

|       |        |  |   |
|-------|--------|--|---|
| 4.25  | proc.1 | تدوین دستورالعمل های مورد نیاز با توجه به استانداردهای مورد استفاده در شرکت های معتبر داخلی (Bench Marking) برای تأمین تجهیزات | ۱ |
| 4.575 | proc.2 | تهیه بانک اطلاعاتی تأمین کنندگان داخلی   | ۲ |
| 4.575 | proc.3 | تهیه بانک اطلاعاتی تأمین کنندگان خارجی   | ۳ |

|                | proc.1   | proc.2   | proc.3   |
|----------------|----------|----------|----------|
| N              | 40       | 40       | 40       |
| Mean           | 4.25     | 4.575    | 4.575    |
| Std. Deviation | 0.493548 | 0.549475 | 0.598609 |

### میانگین نمرات بخش مربوط به سوالات ساخت و نصب با استفاده از برنامه SPSS

|       |        |   |   |
|-------|--------|---|---|
| 4.325 | cons.1 | استفاده از پیمانکاران معتبر داخلی (برون سپاری) در اجرای پروژه ها در فاز اجرا (Construction) | ۱ |
| 3.825 | cons.2 | تأمین ماشین آلات مورد نیاز جهت اجرای پروژه ها در فاز اجرا (Construction) - امنی             | ۲ |

|                | cons.1   | cons.2   |
|----------------|----------|----------|
| N              | 40       | 40       |
| Mean           | 4.325    | 3.825    |
| Std. Deviation | 1.022503 | 0.902631 |



## تحلیل سوالات بخش H.R.M

توجه مدیریت به مسائل کارمندان به عنوان سرمایه‌های انسانی و همچنین رعایت شایسته سalarی و شایسته گزینی در پروژه‌های EPC می‌تواند نقش بسیار تعیین کننده‌ای داشته باشد. همچنین حفظ رعایت ارزش و احترام و سهیم بودن کارکنان در موفقیت و خوشنامی شرکت می‌تواند باعث توسعه و ارتباط نزدیک و دوستانه بین مدیران ارشد و کارکنان را در پروژه‌ها گردد. همینطور که از جدول ذیل مشاهده می‌کنید تامین ثبات، امنیت و رضایت شغلی به طور میانگین از اهمیت بالایی برخوردار است.

## تحلیل سوالات بخش Development & Excellence

### :Dept.

آشنایی و رعایت دقیق قوانین و مقررات کشور در ارتباط با اجرای پروژه‌های EPC و الزامات قانونی در این خصوص می‌تواند از بروز مشکلات در زمان اجرای این گونه پروژه‌ها جلوگیری نماید. همچنین رعایت پروتکل‌های اداره کار و قوانین و مقرراتی و حفظ محیط زیست و بهطور کلی HSE به خصوص در پروژه‌های نفت و گاز و پتروشیمی بسیار اهمیت داشته و لازم است شرکت‌های مهندسین مشاور قبل از ورود به چنین پروژه‌هایی، آشنایی کاملی با این موارد داشته باشند.

### میانگین نمرات بخش مربوط به سوالات طرح و توسعه با استفاده از برنامه SPSS

|       |         |   |   |
|-------|---------|---|---|
| 4.275 | de.ex.2 | رعایت دقیق قوانین و مقررات کشور در ارتباط با پروژه              | ۱ |
| 4.2   | de.ex.3 | رعایت پروتکل‌های اداره کار برای حفظ سلامت کارگران در محیط پروژه | ۲ |
| 4.225 | de.ex.4 | رعایت مجموعه قوانین زیست محیطی کشور در اجرای پروژه‌ها           | ۳ |

|                | de.ex.1  | de.ex.2  | de.ex.3  |
|----------------|----------|----------|----------|
| N              | 40       | 40       | 40       |
| Mean           | 4.275    | 4.2      | 4.225    |
| Std. Deviation | 0.505736 | 0.563869 | 1.073874 |

### میانگین نمرات بخش مربوط به سوالات منابع انسانی با استفاده از برنامه SPSS

|       |       |   |   |
|-------|-------|---|---|
| 4.25  | hrm.1 | توجه مدیریت به مسائل خانواده کارمندان   | ۱ |
| 4.375 | hrm.2 | رعایت شایسته سalarی و شایسته گزینی توسط مدیریت‌های ارشد شرکت                      | ۲ |
| 4.175 | hrm.3 | حفظ و رعایت ارزش و احترام به نقش کارکنان و ایجاد محیطی دوستانه شفاف و قابل اعتماد | ۳ |
| 4.25  | hrm.4 | سهیم بودن کارکنان در موفقیت و خوشنامی شرکت  | ۴ |
| 4.25  | hrm.5 | تامین ثبات، امنیت و رضایت شغلی  | ۵ |

|                | hrm.1    | hrm.2   | hrm.3    | hrm.4    | hrm.5    |
|----------------|----------|---------|----------|----------|----------|
| N              | 40       | 40      | 40       | 40       | 40       |
| Mean           | 4.25     | 4.375   | 4.175    | 4.25     | 4.25     |
| Std. Deviation | 0.926809 | 0.49029 | 1.034966 | 0.630425 | 0.630425 |





### تحلیل سوالات بخش Commercial Dept

"اصولاً" در شرکتهای مهندسین مشاور تهیه استاد مناقصه و شرکت در مناقصات با توجه به ماهیت فعالیت و خدمات ارائه شده بسیار مختصر و ریسک پائین تری نسبت به پروژه‌های EPC دارد. لذا لزوم واحدی مستقل متشكل از نفرات متخصص و مجبوب در برآورد مناقصات پروژه EPC ضروری می‌باشد. در همین راستا تهیه دستورالعمل‌های مورد نیاز و آشنایی کامل تیم تهیه پیشنهادات می‌تواند در برنده شدن و برآورد درست پروژه‌های EPC کمک شایانی نماید در ضمن شرکت در نمایشگاه‌های تخصصی می‌تواند در آشنایی شرکت‌های مهندسین مشاور با طرح‌هایی که به صورت EPC برگزار می‌شود کمک زیادی نماید. استفاده از برنامه‌های نرم افزاری در برآورد مناقصات نیز یکی دیگر از راهکارهایی است که در پایین آوردن ریسک اینگونه پروژه‌ها تأثیر دارد. همانگونه که از جدول ذیل مشاهده می‌نمایید کلیه پاسخ دهنده‌گان نیز با امتیاز میانگین بالایی به این گونه تغییرات پاسخ داده‌اند.

### Project Management Office

یکی از مهمترین کارهایی که شرکت‌های مهندسین مشاور برای اجرای پروژه‌های EPC باید انجام دهند آشنایی با استانداردهای مورد استفاده در اجرای اینگونه پروژه‌ها می‌باشد. براساس استاندارد PMBOK<sup>۱</sup> دفتری با عنوان PMO تأسیس شده و اهم وظایف این دفتر شامل موارد ذیل می‌باشد:

- ۱- تدوین دستورالعمل‌های مورد نیاز مدیریت پروژه
- ۲- ارزیابی و تهیه شرح وظایف مدیران پروژه
- ۳- تهیه WBS و برنامه‌های مدیریت پروژه Management Plan)
- ۴- تهیه برنامه‌های اجرایی پروژه (Execution Plan)
- ۵- مونیتورینگ پروژه‌ها و تهیه گزارشات و دلایل تأخیر پروژه‌ها به مدیریت ارشد سازمان

همانطوری که از جدول ذیل ملاحظه می‌نمایید میانگین اهمیت موضوع فوق از نظر پاسخ دهنده‌گان بالا می‌باشد

### میانگین نمرات بخش مربوط به سوالات PMO با استفاده از برنامه SPSS

|       |       |  |   |
|-------|-------|--|---|
| 4.125 | pmo.1 | ایجاد ساختار بخش (Project management office) جهت تدوین استانداردهای EPC مدیریت پروژه‌های | ۱ |
| 4.2   | pmo.2 | تدوین دستورالعمل‌های مورد نیازبر اساس استاندارد PMBOK برای مدیریت پروژه                  | ۲ |
| 4.325 | pmo.3 | تدوین و طراحی ساختار مدیریت پروژه  | ۳ |
| 4.025 | pmo.4 | تهیه برنامه‌های اجرایی مدیریت پروژه (Project Management Plan)                            | ۴ |
| 4.225 | pmo.5 | تهیه برنامه کنترل کیفیت - محیط زیست (QA /QC Plan ,HSE Plan)                              | ۵ |
| 4.325 | pmo.6 | تهیه برنامه‌های اجرایی پروژه (Execution Plan)  | ۶ |

|                | pmo.1    | pmo.2    | pmo.3    | pmo.4    | pmo.5    | pmo.6    |
|----------------|----------|----------|----------|----------|----------|----------|
| N              | 40       | 40       | 40       | 40       | 40       | 40       |
| Mean           | 4.125    | 4.2      | 4.325    | 4.025    | 4.225    | 4.325    |
| Std. Deviation | 0.563301 | 0.405096 | 0.474342 | 0.422902 | 0.697523 | 0.693837 |

## میانگین نمرات بخش مربوط به سوالات دپارتمان بازارگانی با استفاده از برنامه SPSS

|       |        |   |   |
|-------|--------|---|---|
| 3.925 | comm.1 | شرکت در نمایشگاه های بین المللی تخصصی جهت آشنایی با حوزه فعالیت EPC                                     | ۱ |
| 3.95  | comm.2 | طراحی بسته تبلیغاتی که نشان دهنده ورود شرکت به حوزه EPC می باشد   | ۲ |
| 4.3   | comm.3 | جمع آوری اطلاعات مناقصات از سایت ها - جراید - فراخوان ها پژوهش های EPC                                  | ۳ |
| 4.175 | comm.4 | تدوین دستور العمل مورد نیاز جهت شرکت در مناقصات EPC   | ۴ |
| 4.3   | comm.5 | تدوین دستور العمل مورد نیاز جهت برآورد مالی مناقصات Cost Estimate (EPC) به منظور پایین آوردن حداقل ریسک | ۵ |
| 4.3   | comm.6 | ایجاد تیم مستقل جهت تهییه پیشنهاد فنی - مالی مناقصات EPC  | ۶ |

|                | comm.1   | comm.2   | comm.3   | comm.4   | comm.5   | comm.6 |
|----------------|----------|----------|----------|----------|----------|--------|
| N              | 40       | 40       | 40       | 40       | 40       | 40     |
| Mean           | 3.925    | 3.95     | 4.3      | 4.175    | 4.3      | 4.3    |
| Std. Deviation | 0.764182 | 0.845804 | 0.464095 | 0.812956 | 0.939176 |        |

مقایسه میانگین سوالات بخش های مختلف پرسش نامه به ترتیب بیشترین اهمیت :

|               |      |
|---------------|------|
| Mean Proc     | 4.43 |
| Mean HRM      | 4.26 |
| Mean Pmo      | 4.2  |
| Mean Strategy | 4.18 |
| Mean Comm     | 4.16 |
| Mean De. Ex   | 4.09 |
| Mean Cons     | 4.08 |
| Mean Fin      | 4.01 |
| Mean Eng      | 3.93 |

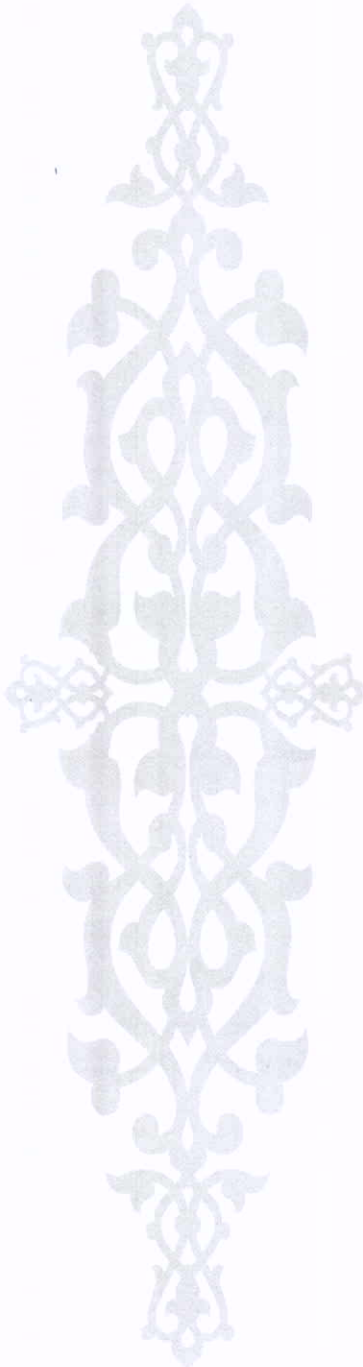


### بیوگرافی:

آقای سعید رحمانی جو دارای کارشناسی برق- الکتریک از دانشگاه تبریز و کارشناسی ارشد MBA از سازمان مدیریت صنعتی بوده و جمعاً دارای سال تجربه کاری می باشد که سال آن را در قدس نیرو است. ایشان در حال حاضر مدیر پروژه پلیمر کرمانشاه و در عین حال کارشناس ارشد واحد بازرگانی می باشند.

زمینه علاقمندی آقای مهندس رحمانی جو برنامه ریزی استراتژیک و مدیریت تغییر استفاده از استاندارد PMBOK برای توسعه مدل مدیریت پروژه، تهیه مدل کسب و کار عارضه یابی پروژه ها بر اساس مدل Business Plan System Dynamic مدل سازی ریسک طرحها، مطالعه تطبیقی نظریه های فلسفی با گفتمان های مهندسی می باشد

Email:srahmanjoo@gmail.com



# شرکت مهندسی قدس نیرو

## شرکت مهندسی قدس نیرو

با پیش از ۳۵ سال سابقه در خشان

خدمات مشاوره، مهندسی و طراحی جزئیات، تهیه مشخصات فنی، نظارت عالی، نظارت بر اجرا و راه اندازی پروژهها و مدیریت اجرایی را در زمینه های زیر ارائه می نماید:

- نیروگاههای حرارتی (بخاری، گازی و سیکل تر کیبی)
- انرژیهای تجدیدپذیر (بادی، خورشیدی.....) و بهینه سازی انرژی
- پست های فشار قوی
- خطوط انتقال نیرو، شبکه های توزیع نیروی برق و مطالعات سیستم
- سدها و نیروگاههای برق آبی، شبکه های آبیاری و زهکشی
- مطالعات زیست محیطی
- خطوط انتقال نفت و گاز
- همکاری با کارفرمایان به صورت مدیریت پیمان "MC"
- اجرا و یا همکاری در پروژه های بزرگ به صورت "EPC"

### GHODS NIROO ENGINEERING COMPANY(GNEC)

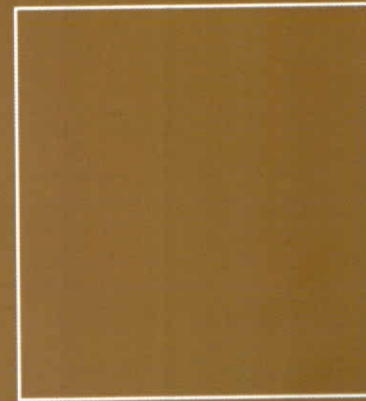
GNEC provides engineering & consultancy services, detail design, rendering technical specifications, project management and site & technical supervisory services in the following fields:

- Power plants (Steam, Gas Turbine & Combined Cycle)
- Renewable Energies( Wind, Solar,.....) Energy Reclamation
- Substations & SwitchYards
- Transmission Lines, Distribution Networks & System Studies
- Dams & Hydropower Plants, Water Transmission Lines, Irrigation & Drainage Networks.
- Environmental Studies
- Oil & Gas Transmission Lines
- Cooperation with Clients in Management of Contract "MC"
- Execution or Participation in major "EPC" Contracts



No, 82 Ostad Motahari Ave  
Tehran 1566775353/IRAN  
Tel: (+9821) 88403613-82404000  
Fax: (+9821) 88411704  
[www.ghods-niroo.com](http://www.ghods-niroo.com)

آدرس: تهران . خیابان استاد مطهری.  
بعد از چهارراه شهروری. شماره ۸۲  
کد پستی: ۱۵۶۶۷۷۵۳۵۳  
تلفن : ۸۲۴۰۴۰۰۰-۸۸۴۰۳۶۱۳  
فaks: ۸۸۴۱۱۷۰۴



تهران، خیابان استاد مطهری، چهارراه شهروردي ، شماره ۸۲  
کدپستی: ۱۵۶۷۷۵۳۵۳  
تلفن: ۰۲۶۱۳ - ۰۲۴۰۴۵۴ - ۰۲۴۲۰۴۵۴  
فکس: ۰۲۴۱۱۷۰۴

No.82 , Ostad Motahari Ave.  
Tehran 1566775353 - IRAN  
Tel: 88403613 - 88430454  
Fax: 88411704  
[info@ghods-niroo.com](mailto:info@ghods-niroo.com)  
[www.ghods-niroo.com](http://www.ghods-niroo.com)

